

# **Besondere Lernleistung**

**Auswertung von Messungen des Myonenflusses im Dresdner Felsenkeller**

Maximilian Kotz

12. Dezember 2016

## Inhaltsverzeichnis

<b>1. Einleitung und Motivation</b>	<b>4</b>
<b>2. Myonen</b>	<b>5</b>
2.1. Eigenschaften . . . . .	5
2.2. Zerfall . . . . .	5
2.3. Entstehung . . . . .	6
2.4. Wechselwirkungen mit Materie . . . . .	7
2.4.1. Energieverlust durch Kollisionen . . . . .	8
2.4.2. Energieverlust durch Bremsstrahlung . . . . .	9
2.4.3. Tscherenkov-Strahlung . . . . .	9
2.5. Detektion . . . . .	10
<b>3. Das Myonenteleskop</b>	<b>12</b>
3.1. Aufbau und Funktionsweise . . . . .	12
3.1.1. Close-Cathode-Chamber . . . . .	12
3.1.2. Triggersystem . . . . .	14
3.1.3. Messsystem . . . . .	14
3.1.4. Interface . . . . .	15
3.2. Offlineanalyse . . . . .	16
3.2.1. Pre- und Hauptanalyse . . . . .	16
3.2.2. Polargauß . . . . .	19
3.2.3. Histogrammaddition . . . . .	22
3.2.4. GUI . . . . .	23
3.2.5. Dokumentation . . . . .	23
<b>4. Messungen</b>	<b>24</b>
4.1. Grundsätzliche Vorgehensweise . . . . .	24
4.2. Oberirdische Messungen . . . . .	24
4.3. Messungen im Felsenkeller . . . . .	24
4.4. Auswertung . . . . .	25
4.4.1. Channelhits . . . . .	25
4.4.2. Akzeptanz . . . . .	26
4.4.3. Flux . . . . .	28
<b>5. Fazit</b>	<b>32</b>
<b>6. Danksagung</b>	<b>32</b>
<b>A. Übersicht der Runs</b>	<b>33</b>
<b>B. Ausgewählte Messwerte</b>	<b>35</b>
B.1. Runs . . . . .	35
B.1.1. Location 1 . . . . .	35
B.1.2. Location 2 . . . . .	37
B.1.3. Location 3 . . . . .	39
B.1.4. Location 4 . . . . .	41
B.1.5. VKTA storage room . . . . .	43
B.1.6. VKTA mk2 . . . . .	45

## *Inhaltsverzeichnis*

B.1.7. VKTA mk1 . . . . .	47
B.1.8. VKTA Werkstatt . . . . .	49
B.1.9. Raum 008/620 . . . . .	51
B.1.10. Raum 301/620 . . . . .	53
B.2. Locations . . . . .	55
B.2.1. Location 1 . . . . .	55
B.2.2. Location 2 . . . . .	56
B.2.3. Location 3 . . . . .	57
B.2.4. Location 4 . . . . .	58
B.2.5. VKTA storage room . . . . .	59
B.2.6. VKTA mk2 . . . . .	60
B.2.7. VKTA mk1 . . . . .	61
B.2.8. VKTA Werkstatt . . . . .	62
B.2.9. Raum 008/620 . . . . .	63
B.2.10. Raum 301/620 . . . . .	64
<b>C. Quellcode</b>	<b>65</b>
C.1. mtparameters_5ch.h . . . . .	65
C.2. coord.h . . . . .	66
C.3. coord.cpp . . . . .	67
C.4. line.h . . . . .	69
C.5. line.cpp . . . . .	70
C.6. chamber.h . . . . .	76
C.7. chamber.cpp . . . . .	77
C.8. analysis.cpp . . . . .	80
C.9. GUI.h . . . . .	92
C.10. GUI.cpp . . . . .	96

## 1. Einleitung und Motivation

### 1. Einleitung und Motivation

In der Physik sind Experimente von entscheidender Bedeutung, um neue Erkenntnisse zu erlangen.

Dabei werden die Experimente immer komplizierter, um immer genauere Messwerte zu erhalten. Bei der Low Background Physik untersucht man Ereignisse, welche nur sehr selten eintreten. Dies erfordert einen sehr geringen „Störuntergrund“, der durch radioaktive und kosmische Strahlung hervorgerufen wird, weshalb man bestimmte Experimente in Untergrundlabore durchführt. [1]

Ein solches Niederniveaumesslabor befindet sich in den Stollen des Eiswurmlagers auf dem Gelände der ehemaligen Brauerei Felsenkeller, welches vom VKTA Rossendorf e.V.<sup>1</sup> betrieben wird. [2] In Abbildung 1 kann man es in Stollen IV eingezzeichnet erkennen.

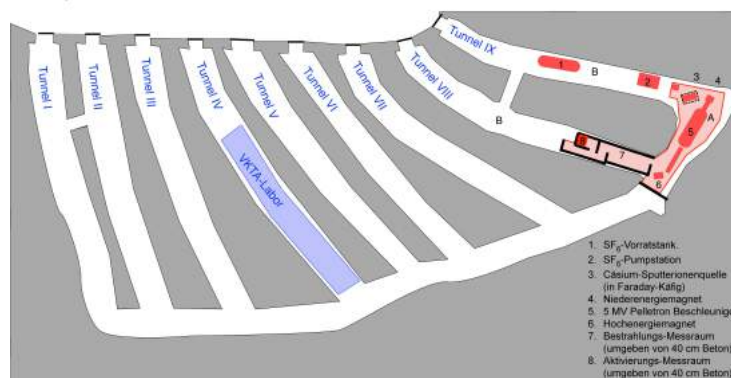


Abbildung 1: Lageplan des Felsenkellers

Diese Stollen dienten früher zur Lagerung von Eis, welches für die Bierproduktion benötigt wurde. Sie besitzen eine senkrechte Felsüberdeckung von ungefähr 50 m. Diese Stollen will die TU Dresden nutzen um dort einen Teilchenbeschleuniger aufzustellen und entsprechende Experimente, die eine geringe Hintergrundstrahlung benötigen, durchzuführen. Die geplanten Standorte sind die Stollen VIII und IX.

Da sich der Felsenkeller in der Nähe ehemaliger Uranabbaugebiete befindet, sind die Alpha-Strahler <sup>218</sup>Rn und <sup>219</sup>Rn, die bei der Uran-Radium- bzw. Uran-Actinium-Zerfallsreihe entstehen, ein wesentlicher Bestandteil der Hintergrundstrahlung. Um eine Ansammlung dieses Gases zu verhindern und so die Strahlung zu reduzieren, werden die Laborräume aktiv belüftet. [2]

Die meiste Strahlung ist somit auf kosmische Myonen zurückzuführen. Sie besitzen eine hohe Durchdringungsfähigkeit, sodass trotz der 50 m Gesteinsschicht über den Messgeräten noch viele in den Tunnels nachweisbar sind. Eine weitere Abschirmung durch Blei und Beton würde dies kaum ändern. Um die Hintergrundereignisse weiter zu reduzieren gibt es die Möglichkeit einer sogenannten aktiven Abschirmung. Dabei wird der Versuchsaufbau von Strahlungsdetektoren umgeben, die durchquerende Myonen registrieren und so Ereignisse von außen von denen im Experiment unterscheiden können. Für diese Detektoren verwendet man zumeist Szintillatoren.

Da großflächige Szintillatoren teuer sind, ist es wünschenswert die Richtung zu kennen,

<sup>1</sup>Strahlenschutz, Analytik und Entsorgung Rossendorf e. V.

## 2. Myonen

aus der die meisten Myonen kommen, um die aktive Abschirmung auf diese Bereiche zu beschränken. Daraus ergab sich für diese Arbeit die Hauptmotivation: die Untersuchung der Winkelabhängigkeit des Myonenflusses im Felsenkeller Dresden.

Die Messungen, die im Rahmen dieser Arbeit durchgeführt wurden, konzentrierten sich somit auf die Bestimmung der Winkelabhängigkeit des Myonenflusses im Bereich des späteren Detektors. Zusätzlich wurden bei dieser Gelegenheit Messungen im benachbarten VKTA Labor durchgeführt.

## 2. Myonen

In den folgenden Abschnitten soll ein Überblick über das Myon ( $\mu$ ) gegeben werden.

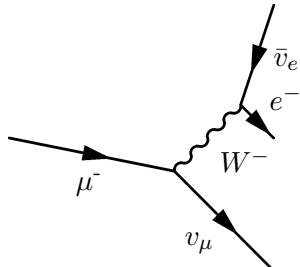
### 2.1. Eigenschaften

Bei einem Myon handelt es sich um das geladene Lepton der 2. Familie; es entspricht somit dem Elektron aus der 1. Familie. Es besitzt eine einfache negative elektrische Ladung, einen Spin von  $1/2$  und eine schwache Ladung von  $-1/2$ . Im Gegensatz zum Elektron ist ein Myon um ein Vielfaches schwerer, außerdem zerfällt es rasch. Natürlich besitzt es auch ein dazugehöriges Neutrino, sowie entsprechende Antiteilchen.

### 2.2. Zerfall

Myonen sind instabil und zerfallen über die schwache Wechselwirkung in zwei Neutrinos und ein Elektron, beziehungsweise Positron.

Feynman-Diagramm des  $\mu^-$  Zerfalls:



Der Zerfallsprozess ist exponentiell mit der Halbwertszeit  $T=1,523 \mu\text{s}$ , daraus folgt eine mittlere Lebensdauer von  $2,197 \mu\text{s}$  (ohne Einfluss sonstiger Materie). Zusätzlich können langsame  $\mu^-$  vom elektromagnetischen Feld eines Atomkerns eingefangen und absorbiert werden, deshalb ist die mittlere Lebensdauer für  $\mu^-$  etwas geringer als für  $\mu^+$ .

$$\mu^- + p \rightarrow n + v_\mu \quad (1)$$

## 2. Myonen

Dadurch verkürzt sich bei negativ geladenen Myonen die Lebensdauer abhängig vom umgebenden Stoff, dies ist u.a. der Grund dafür, dass Gestein den Myonenfluss mindert.

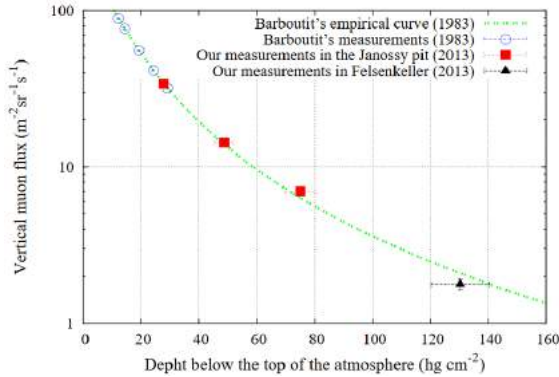


Abbildung 2: Abschirmung des Myonenfluxes [3]

Man sieht, wie der Myonenflux mit zunehmender Mächtigkeit der Gesteinsschicht abnimmt. So ist er im Felsenkeller bereits um fast 2 Größenordnungen kleiner, als oberirdisch, deshalb liegen einige Teilchenbeschleuniger unterirdisch.

### 2.3. Entstehung

Myonen entstehen aufgrund der Wechselwirkung der kosmischen Strahlung mit der Atmosphäre. Diese, hauptsächlich aus Protonen (87%) und  $\alpha$ -Teilchen (12%) bestehende Strahlung aus dem Weltall, kollidiert in der Atmosphäre mit Atomkernen, dabei entstehen extrem kurzlebige Teilchen, die Sekundärstrahlung.

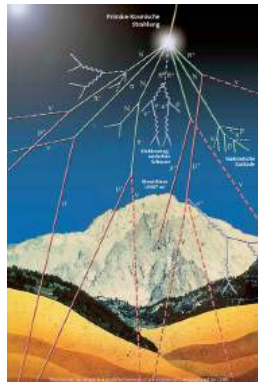


Abbildung 3: Teilchenschauer [4]

Pionen ( $\pi$ ) sind die Hauptprodukte dieser Reaktionen.



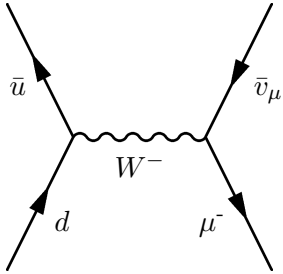
Mesonen<sup>2</sup> besitzen Lebensdauern von teilweise weniger als  $10^{-8}$  s, bei ihrem Zerfall werden Myonen frei.

---

<sup>2</sup>Pionen sind eine Art der Mesonen

## 2. Myonen

Feynman-Diagramm des  $\pi^-$  Zerfalls:



Diese Myonen entstehen typischerweise in einer Höhe von 10 bis 20 km und bewegen sich mit rund 99,8% der Lichtgeschwindigkeit (in Bezug zur Erde). Dadurch erhöht sich die mittlere Lebensdauer der Myonen für einen Beobachter um ca. den Faktor 16, sodass ihre mittlere zurückgelegte Wegstrecke ungefähr 9,6 km beträgt und viele von ihnen auf der Erdoberfläche nachgewiesen werden können. [5, 6]

Typischerweise treffen 200 Myonen pro Quadratmeter und Sekunde auf Meereshöhe auf [6], wobei der Myonenfluss winkelabhängig ist. Es gilt dafür näherungsweise für  $-90^\circ < \alpha < 90^\circ$ :

$$I(\alpha) = I_0 * \cos(\alpha)^n \quad (4)$$

Hierbei ist der Exponent  $n$  von der Energie der Myonen abhängig. Dieser Zusammenhang wird in Abbildung 4 dargestellt.

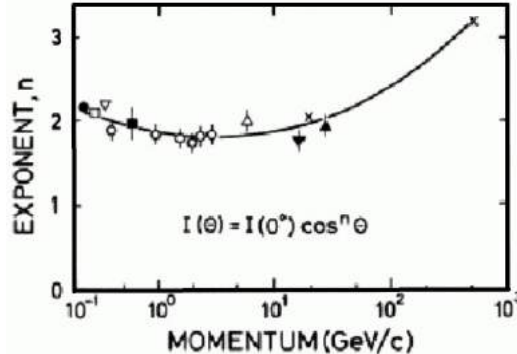


Abbildung 4: Abhängigkeit des Exponenten vom Impuls der Myonen [7]

Unser Teleskop misst im Durchschnitt eine Verteilung für  $n = 2,1$ . Diese Verteilung gilt allerdings nur unter freiem Himmel, da Myonen von Gestein teilweise abgeschirmt werden.

### 2.4. Wechselwirkungen mit Materie

Myonen wechselwirken auf unterschiedliche Weise mit umgebender Materie, wobei bei verschiedenen Energien entsprechend andere Komponenten wirken. So dominieren bei geringen Energien der Energieverlust durch unelastische Stöße mit der Elektronenhülle der Atome des Stoffes, während bei hohen Energien die Bremsstrahlung einen erheblichen Effekt besitzt. [8]

## 2. Myonen

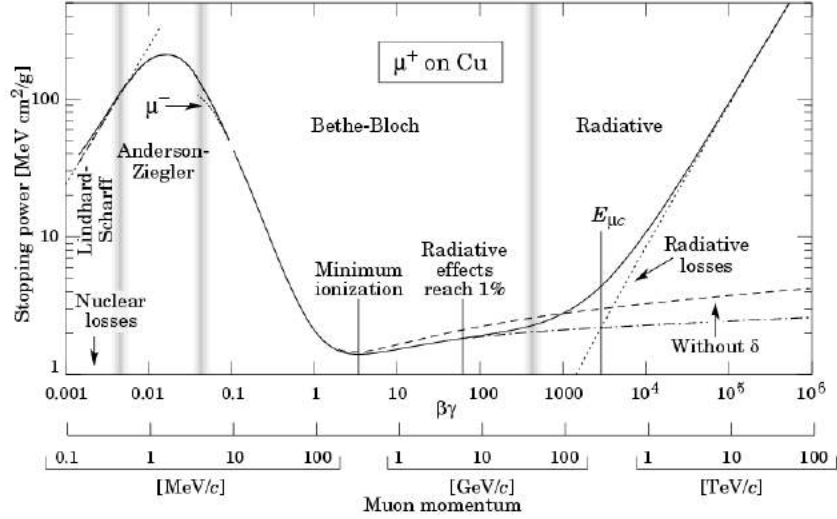


Abbildung 5: Energieverlust eines  $\mu^+$  [9]

Die in der Abbildung 5 angedeuteten Energieverluste bei niedrigen Energien spielen bei kosmischen Myonen zunächst keine Rolle. Diese kommen durch elastische Stöße mit dem Target<sup>3</sup> zustande.

### 2.4.1. Energieverlust durch Kollisionen

Wenn ein geladenes Teilchen einen Stoff durchquert, so wirkt zwischen ihm und den Elektronen der Atomhülle die Coulombkraft. Diese Kraft sorgt für eine Impulsänderung, welche eine Energieabgabe des Teilchens nach sich zieht. Die Atome des Target werden dabei angeregt bzw. ionisiert. Berechnet werden kann dieser Verlust durch die Bethe-Bloch-Formel: [11, 12]

$$-\frac{dE}{dx} = \frac{4\pi n z^2}{m_e v^2} \cdot \left( \frac{e^2}{4\pi \epsilon_0} \right)^2 \cdot \left[ \ln \left( \frac{2m_e v^2}{I \cdot \left( 1 - \frac{v^2}{c^2} \right)} \right) - \frac{v^2}{c^2} \right] \quad (5)$$

Dabei ist  $z$  die Ladungszahl des Teilchens,  $v$  seine Geschwindigkeit und  $n$  die Elektronendichte, für die gilt:

$$n = \frac{Z\rho}{A u} \quad (6)$$

$Z$  ist die Ordnungszahl,  $A$  die Massenzahl,  $\rho$  die Dichte und  $u$  die atomare Masseneinheit. [11]  $I$  ist das mittlere Anregungspotenzial und ist stoffspezifisch, für die etwa gilt:  $I = 10 \text{ eV} \cdot Z$

In Formel 5 ist zu erkennen, dass bei geringen Energien der Energieverlust indirekt proportional zu  $v^2$  ist, während er bei großen Energien, aufgrund der relativistischen Massezunahme, logarithmisch steigt. Daraus ergibt sich, dass Teilchen, kurz bevor sie ihre gesamte Energie verloren haben, am meisten Energie verlieren, diesen Punkt nennt man Bragg-Peak. Dies nutzt man unter anderem in der Medizin zur Tumorbehandlung

---

<sup>3</sup>engl. Zielscheibe, Probenmaterial, das beim Beschuss mit Strahlung mit ihr wechselwirkt [10]

## 2. Myonen

durch Protonenbestrahlung. Bei diesem Verfahren wird der größte Teil der Strahlung an den Tumor abgegeben und nicht an das umliegende Gewebe.

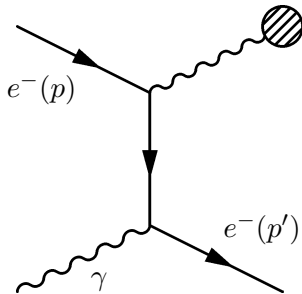
Die Bethe-Bloch-Formel verliert bei sehr hohen Energien ihre Aussagekraft, deshalb wurde eine sogenannte kritische Energie  $E_c$  eingeführt. Bis zum Erreichen dieses Wertes von  $E_c$  ist der Energieverlust durch Ionisation größer, als der durch Bremsstrahlung. Diese kritische Energie ist materialabhängig. Bei geringen Energien, also geringen Geschwindigkeiten verliert sie ebenfalls ihre Gültigkeit, wenn die durchquerenden Teilchen beginnen Hüllelektronen mit sich zu führen, da sich so ihre effektive Ladung reduziert.

### 2.4.2. Energieverlust durch Bremsstrahlung

Bei sehr hochenergetischen Myonen gewinnt der Energieverlust durch Bremsstrahlung immer mehr an Bedeutung, da dieser Verlust direkt proportional zur Energie des Teilchens ist.

Zu Bremsstrahlung kommt es, wenn ein Teilchen im Target durch Coulombkräfte abgelenkt wird, dabei ändert sich der Geschwindigkeitsvektor des Teilchens und es erfolgt die Emission eines Photons, da es sich um ein geladenes Teilchen handelt.

Beispiel eines Feynman-Diagramm für die Entstehung von Bremsstrahlung:[12]



Bremsstrahlung wird in Röntgenröhren zur Erzeugung von Röntgenstrahlung genutzt, dazu reichen bei Elektronen bereits Energien von 25 keV, während bei Myonen die Bremsstrahlung erst bei höheren Energien entscheidend wird. Dies hängt natürlich vom umgebenden Material ab, befindet sich bei Myonen aber in Größenordnungen von einigen 100 GeV. [12]

### 2.4.3. Tscherenkow-Strahlung

Grundsätzlich ist der Energieverlust durch diesen Effekt untergeordnet, doch auf ihm fußen bestimmte Detektionsverfahren, die dieses Licht detektieren können, deshalb soll es nicht unerwähnt bleiben.

Zu dieser Abstrahlung kommt es, wenn sich ein geladenes Teilchen mit einer größeren Geschwindigkeit bewegt als die Lichtgeschwindigkeit im Target. Grund dafür ist, dass durch das elektrische Feld des Teilchens die Atome im Target ionisiert werden und die so entstandenen elektromagnetischen Dipole Photonen aussenden. Bei Unterlichtgeschwindigkeit interferieren die Dipole, sodass kein Licht sichtbar wird; bei Überlichtgeschwindigkeit geschieht dies nicht und es kommt zur Tscherenkow-Strahlung.

Diese Strahlung kann von sehr empfindlichen Photomultiplern wahrgenommen werden. Diese nutzen den photoelektrischen Effekt, um selbst geringste Mengen Licht zu

## 2. Myonen

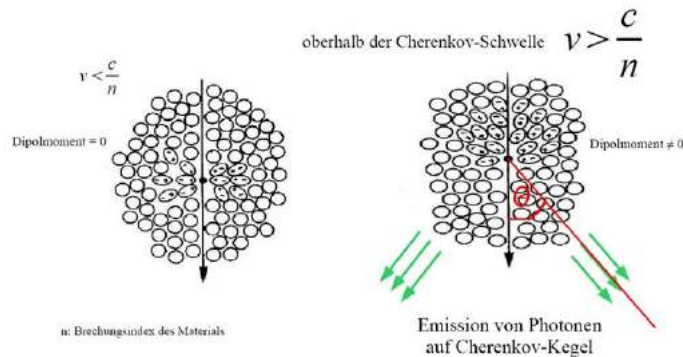


Abbildung 6: Durchgang eines geladenen Teilchens bei verschiedenen Geschwindigkeiten [13]

messen. Durch die Detektion eines solchen Lichts kann ein Myon nachgewiesen werden. Mit bloßem Auge kann man dieses Licht in Kernreaktoren beobachten. Es ist der Grund dafür, dass das Kühlwasser, welches die Brennstäbe umgibt, blau leuchtet. Dieses Licht wird dabei von der entstehenden radioaktiven Strahlung erzeugt.

### 2.5. Detektion

Beim Nachweis von Myonen bedient man sich der Wechselwirkung dieses Teilchens mit der umgebenden Materie.

Eine Variante besteht in der Detektion des Tscherenkov-Lichtes. Bei diesem Verfahren ist eine Winkelauflösung allerdings nur schwer möglich. Außerdem sind diese Detektoren groß und schwer, aufgrund des benötigten Mediums (meist Wasser) in dem das Licht entsteht.

Ein anderes Verfahren ist die Verwendung von Szintillatoren. Dabei bedient man sich der Fähigkeit von Myonen Stoffe zu ionisieren. Der Szintillator besteht aus einem besonderen Material, welches sichtbares Licht bei Ionisation aussendet, das anschließend detektiert werden kann. Aber auch bei diesem Verfahren ist eine Winkelauflösung sehr aufwendig.

Bei dem verwendeten Myonenteleskop handelt es sich um einen Gasdetektor. In solchen Detektoren werden Elektroden, zwischen welchen eine Hochspannung anliegt, durch ein Gas getrennt. In Abbildung 7 ist der Aufbau, sowie des elektrischen Felds in einem Gasdetektor zu sehen. Das Myon ionisiert die Gaskammer und ein Stromfluss kann gemessen werden. Durch die Verwendung mehrerer Kanäle und Kammern ist auch eine Winkelauflösung möglich.

Bei allen genannten Detektionsverfahren muss man Myonen von anderer ionisierender Strahlung unterscheiden. Dafür nutzt man die, im Gegensatz zu anderen Teilchen, lange Reichweite von Myonen aus. Man stellt also zwei oder mehr Detektorschichten hintereinander und wenn beide kurz hintereinander ein ionisierendes Teilchen detektieren, handelt es sich mit hoher Wahrscheinlichkeit um ein Myon.

## 2. Myonen

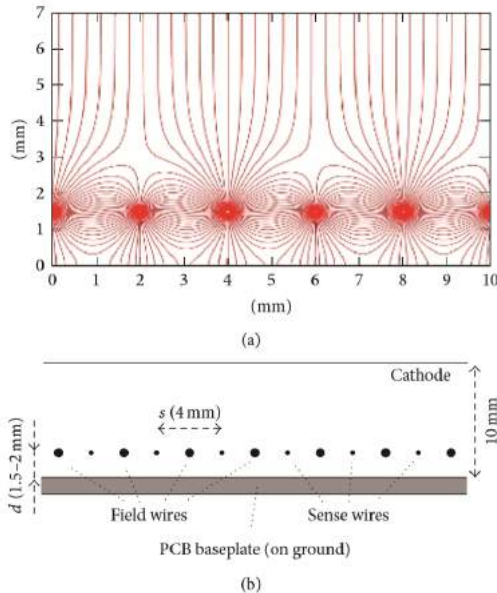


Abbildung 7: a) Simulation des elektrischen Feldes in einem Gasdetektor  
b) Schematischer Aufbau einer Gasdetektorkammer [14]



Abbildung 8: Tscherenkov-Detektor für Myonen [15]

Ein Beispiel für eine solche Anordnung sieht man in Abbildung 8. Es wurden zwei Tscherenkov-Detektoren hintereinander angeordnet. Wenn nun ein geladenes Teilchen beide durchquert, dann wird es als Myon registriert, wenn nur ein Detektor einen Lichtblitz wahrnimmt, dann wird es ignoriert. An diesem Versuchsausbau sieht man, dass nur ein kleiner Raumwinkel von Myonen überhaupt beide Detektoren durchqueren kann. Dies sorgt für lange Messzeiten, außerdem wird deutlich, dass man für eine Winkelauflösung extrem viele dieser Detektoren zusammenschließen müsste.

### 3. Das Myonenteleskop

Das Myonenteleskop wurde in Budapest gebaut und entwickelt vom Wigner Forschungszentrum für Physik und wurde vom HZDR<sup>4</sup> angeschafft, um den kosmischen Myonenfluss im Felsenkeller zu untersuchen. Zusätzlich zum Teleskop existiert auch ein Programm inklusive Quellcode.

#### 3.1. Aufbau und Funktionsweise

Bei dem verwendeten Myonenteleskop handelt es sich um einen Gasdetektor. Es befindet sich in Abbildung 9 rechts auf einem Stativ, welches eine Neigung des Teleskops im Winkel von 0°, 45° und 90° zur Horizontalen ermöglicht.

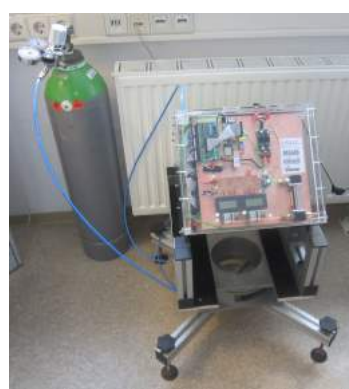


Abbildung 9: Aufgebautes Myonenteleskop mit Gasflasche

Im Wesentlichen besteht es aus sechs Close-Cathode-Chambers (CCC), die übereinander angeordnet sind und sensibel auf Myonen reagieren. Diese müssen ständig von Gas durchflossen werden; es wird eine Argon-Kohlenstoffdioxidmischung (82%-18%) verwendet, bei einem Gasfluss von ungefähr 0,5 l/h.[16]

##### 3.1.1. Close-Cathode-Chamber

Die einzelnen Close-Cathode-Chamber sind wie in Abbildung 7 aufgebaut; es handelt sich dabei um eine asymmetrische Anordnung der Drähte, bei der sich die untere Kathode (0 V) deutlich näher an den Drähten befindet als die obere (-550 V). Es gibt dabei zwei Arten von Drähten, die Senswires und die Fieldwires. Diese sind abwechselnd, mit einem Abstand von 2 mm, angeordnet. Die Sw<sup>5</sup> (+1060 V) stellen die Anode dar, während die Fieldwires (-600 V) zur Detektion dienen. Die untere Kathode ist in 4 mm breite Streifen geteilt, die Pads, welche senkrecht zu den Fw<sup>6</sup> angeordnet sind und zur Detektion in der anderen Koordinatenachse dienen. Insgesamt gibt es jeweils 64 Fw und Pad pro CCC. [16, 17]

<sup>4</sup>Helmholtz-Zentrum Dresden-Rossendorf

<sup>5</sup>im folgenden als Abkürzung für Senswires

<sup>6</sup>im folgenden als Abkürzung für Fieldwires

### 3. Das Myonenteleskop

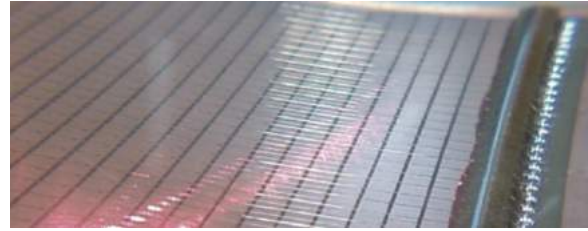


Abbildung 10: Wires und Pads eines Layers [17]

Durchquert nun ein Myon den CCC, so ionisiert es das darin befindliche Gas (Primärisierung), dadurch entstehen freie Elektronen. Diese freien Elektronen werden nun durch das elektrische Feld im oberen Bereich des CCC zu den Sw gezogen. Auf Höhe des Sw erhöht sich die elektrische Feldstärke nun durch die, abwechselnd mit den Sw verbauten, Fw. Dadurch werden die sich zu den Sw bewegenden Elektronen stark beschleunigt und lösen so durch weitere Ionisationsstöße eine Ladungslawine aus. Dieser Effekt bewirkt eine Vergrößerung des zu messenden Stromimpulses bei den Fw. Zu beachten ist, dass die Pads ähnlich weit von den Sw gelegen sind, wie die Fw, sodass auch auf sie Ionen gelangen und diese auch einen Stromfluss registrieren.

Auf Grund von baulichen Ungenauigkeiten und physikalischen Einflüssen auf das Teleskop kann sich der Abstand der Drähte zur unteren Kathode ändern. Dies würde zu einer unterschiedlich starken Verstärkung von Myonen führen, welche die CCC an unterschiedlichen Positionen durchqueren. Um dies zu verhindern, wurde im Vorfeld, beim Bau eines Prototyps der CCC, untersucht, wie sich dieser unterschiedliche Abstand bei verschiedenen Spannungen auf die Verstärkung auswirkt.

Bei diesem Prototyp wurden die Fw und Sw schräg zur Horizontalen gespannt. Sie befanden sich in einem Abstand von rund 10 mm von der oberen Kathode und zwischen 1,5 bis 2 mm entfernt von den Pads, wie in Abbildung 11 schematisch dargestellt ist.

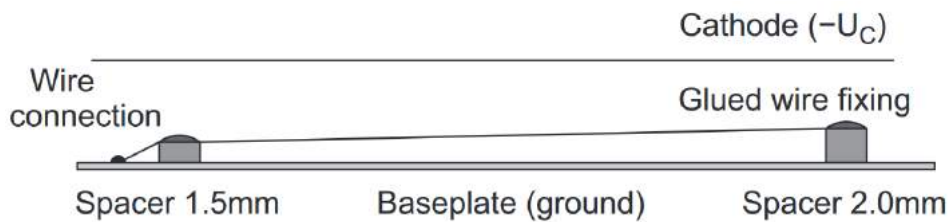


Abbildung 11: Abstand der Wires von den Kathoden [17]

Um nun die Verstärkung in Abhängigkeit vom Abstand der Wires zur unteren Kathode zu erhalten, wurde eine Betaquelle an verschiedene Positionen des CCC gebracht und die Verstärkung gemessen. Dies wurde für verschiedene Spannungsquotienten  $Fw\text{-Spannung}/Sw\text{-Spannung}$  wiederholt. Das Ergebnis sieht man in Abbildung 12.

Um nun eine möglichst abstandsunabhängige Verstärkung zu erhalten, wurde für unser Teleskop ein Spannungsquotient von ungefähr -0,6 gewählt. Dies gewährleistet eine konstante Verstärkung, auch wenn der Abstand der Drähte von 2 mm zur unteren Kathode abweichen sollte.

### 3. Das Myonenteleskop

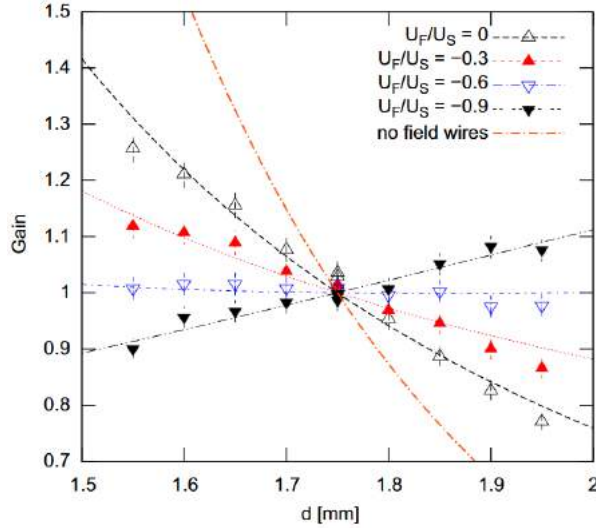


Abbildung 12: Verstärkung (Gain) in Abhängigkeit des Abstandes (d) zur unteren Cathode bei verschiedenen Spannungen [17]

#### 3.1.2. Triggersystem

Das Messsystem benötigt ein sogenanntes Triggersystem, welches Alarm gibt, wenn es zu einem möglichen Myonendurchgang gekommen ist. Dazu dienen die vorhandenen CCC, da so Material, Gewicht und Stromverbrauch gespart werden kann. Alle Sw einer Schicht werden dazu genutzt, sodass es zu einem Signal kommt, wenn ein Myon irgendwo diesen Layer durchquert. Dieses Signal wird durch eine Trigger-FE-<sup>7</sup>Card verstärkt und diskriminiert. Dadurch erhält man ein Triggersignal, welches weiter gegeben werden kann. Diese Triggersignale der einzelnen Layer werden zusammengefasst. Wenn dabei mindestens 2 Layer getriggert wurden, so kommt es zum Triggersignal und ein Event wird ausgelöst.

Die Triggereffizienz ist ein wichtiger Parameter, da alle nicht getriggerten Myonen auch nicht weiter in der Offlineanalyse untersucht werden können. Dieser muss daher experimentell bestimmt werden. Dazu wurde das Triggersystem mit allen Layern und mit dem Verzicht auf einzelne Layer getestet, daraus wurde die Effizienz jeden Layers errechnet. Es zeigte sich, dass die Triggereffizienz proportional zur Trackingeffizienz ist. Dazu wird ein Track ohne den entsprechenden Layer gefittet und überprüft, ob der auf dem Layer extrapolierte Punkt dort den getroffenen Punkt treffen würde. Als getroffen gilt dabei, wenn der Punkt einen maximalen Abstand von 2 Wires hat. [18]

#### 3.1.3. Messsystem

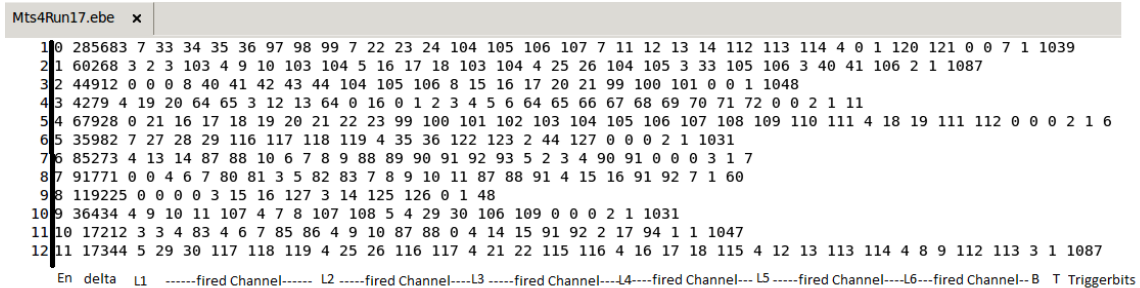
Die einzelnen Fw und Pad sind an FE-Karten angeschlossen, welche die Signale verstärken und diskriminieren. Wenn die FE-Karten das Triggersignal erhalten, so speichern sie das Signal in ihren Schieberegistern. Anschließend werden die Signale über SPI ausgelernt und schließlich gespeichert. Dazu dient das sogenannte DAQ<sup>8</sup>, welches aus einem Raspberry Pi und dem DAQ-Board besteht. Dabei werden die Messdaten eines Runs in Textdatei auf einer SD-Card aufgezeichnet. Die Textdatei trägt den Namen Mts4, gefolgt

<sup>7</sup>Abkürzung für Front-End Elektronik

<sup>8</sup>Abkürzung für Data AcQuisition

### 3. Das Myonenteleskop

von der Runnumber und der Endung .ebe (Event-by-Event). Jede Zeile der Datei repräsentiert dabei ein getriggertes Event. Die Datenstruktur ist beispielhaft in Abbildung 13 dargestellt.



```
Mts4Run17.ebe x
1 0 285683 7 33 34 35 36 97 98 99 7 22 23 24 104 105 106 107 7 11 12 13 14 112 113 114 4 0 1 120 121 0 0 7 1 1039
2 1 60268 3 2 3 103 4 9 10 103 104 5 16 17 18 103 104 4 25 26 104 105 3 33 105 106 3 40 41 106 2 1 1087
3 2 44912 0 0 8 40 41 42 43 44 104 105 106 8 15 16 17 20 21 99 100 101 0 0 1 1048
4 3 4279 4 19 20 64 65 3 12 13 64 0 16 0 1 2 3 4 5 6 64 65 66 67 68 69 70 71 72 0 0 2 1 11
5 4 67928 0 21 16 17 18 19 20 21 22 23 99 100 101 102 103 104 105 106 107 108 109 110 111 4 18 19 111 112 0 0 0 2 1 6
6 5 35982 7 27 28 29 116 117 118 119 4 35 36 122 123 2 44 127 0 0 0 2 1 1931
7 6 85273 4 13 14 87 88 10 6 7 8 9 88 89 90 91 92 93 5 2 3 4 90 91 0 0 0 3 1 7
8 7 91771 0 0 4 6 7 80 81 3 5 82 83 7 8 9 10 11 87 88 91 4 15 16 91 92 7 1 60
9 8 119225 0 0 0 0 3 15 16 127 3 14 125 126 0 1 48
10 9 36434 4 9 10 11 107 4 7 8 107 108 5 4 29 30 106 109 0 0 0 2 1 1031
11 10 17212 3 3 4 83 4 6 7 85 86 4 9 10 87 88 0 4 14 15 91 92 2 17 94 1 1 1047
12 11 17344 5 29 30 117 118 119 4 25 26 116 117 4 21 22 115 116 4 16 17 18 115 4 12 13 113 114 4 8 9 112 113 3 1 1087
En delta L1 -----fired Channel----- L2 -----fired Channel-----L3 -----fired Channel----L4-----fired Channel--- L5 -----fired Channel----L6-----fired Channel--B T Triggerbits
```

Abbildung 13: Beispiel aus Mts4Run17.ebe für Datenformat

Zunächst wird die Eventnumber (En) angegeben, gefolgt von der Zeit, die seit dem letzten Event vergangen ist (delta t). Nun kommen die Informationen über die Layer: die erste Zahl gibt dabei immer an, wie viele Channel in einem Layer getroffen wurden (L), die folgenden Zahlen geben den Zahlencode der getroffenen Channel wieder, dabei stehen Zahlen von 0 bis 63 für getroffene Fw und Zahlen von 64 bis 127 für Pad. Nun kommen drei Zahlen, die keine weitere Bedeutung für die Analyse haben, die Anzahl der verpassten Events während des Auslesevorgangs (B), sowie Informationen über das Triggering.

#### 3.1.4. Interface

Der RasPi besitzt einen WiFi Stick. Nachdem er hochgefahren ist, kann er somit als Hotspot arbeiten und man kann sich mit ihm verbinden und anschließend über ssh<sup>9</sup> auf ihn zugreifen, dabei werden die üblichen Kommandozeilenbefehle verwendet. In Tabelle 1 sind die wichtigsten Befehle dazu aufgelistet. Diese benutzt auch das Programm.

<sup>9</sup>Secure Shell (SSH) ist ein Netzwerkprotokoll zur verschlüsselten Netzwerkverbindung mit einem entfernten Gerät [11]

### 3. Das Myonenteleskop

Befehl	Beschreibung
ssh pi@IPAdresse	Verbindung mit Teleskop
ssh pi@IPAdresse 'head -n 1 FileName RunNumber.ebe & > /dev/null'	prüft ob Runnumber vergeben ist
scp ini/*.ini pi@IPAdresse:MtRpidaq/. > /dev/null; ssh pi@IPAdresse 'cd MtRpidaq; nohup sudo ./MtRpidaq.run -f &> StdDump &'	startet Messung
ssh pi@IPAdresse 'sudo rm -f MtRpidaq/Running 2> /dev/null; sudo killall MtRpidaq.run 2> /dev/null'	beendet Messung
ssh pi@IPAdresse 'cat MtRpidaq/Running & > /dev/null'	prüft ob Messung läuft
scp pi@IPAdresse:Verzeichniss* Measurements/	Kopieren von Messungen aus dem Verzeichniss auf Rechner
ssh pi@IPAdresse 'rm -f Verzeichniss*',	löscht Daten vom Paspberry Pi

Tabelle 1: Übersicht wichtiger Befehle für das Teleskop

Informationen zur Hochspannung, Anodenstrom und Gasfluss müssen direkt am Detektor abgelesen und eingestellt werden, da der Raspberry Pi nicht darauf zugreift.

## 3.2. Offlineanalyse

Die Rohdaten müssen nach ihrer Messung analysiert werden, um aus ihnen den richtungsabhängigen Myonenfluss sowie einige Statistiken zur Messung zu erhalten. Ein solches Analyseprogramm war bereits vorhanden, musste aber aus mehreren Gründen überarbeitet werden:

1. Der Myonenfluss konnte nur aus einer einzigen Messung bestimmt werden, was eine umfassende Winkelabdeckung nicht erreichen konnte.
2. Der Myonenfluss wurde in Anstiegen dargestellt, was sich als höchst unintuitiv erwies.
3. Wie sich zeigte, konnte der Code an einigen Stellen erheblich vereinfacht werden.
4. Das existierende Programm nutzte nur Tracks, die in allen 6 Chambren getroffen wurden.
5. Außerdem konnte die Programmlaufzeit halbiert werden.

Wir entschieden uns für Root als Programmiersprache, diese Sprache ist an C++ angelehnt und auf die Analyse großer Datenmengen optimiert. Außerdem können mit ihr einfach GUI<sup>10</sup> realisiert werden.

Im Folgenden sind die wichtigsten Programmteile dargestellt.

### 3.2.1. Pre- und Hauptanalyse

Im Wesentlichen habe ich an diesem Programmabschnitt gearbeitet. Der Funktionsumfang entspricht zu großen Teilen dem existierenden Programm, allerdings wurden einige

---

<sup>10</sup>Graphical User Interface (GUI)

### 3. Das Myonenteleskop

Funktionen verbessert und die Programmiersprache von C++ zu Root verändert. Das Ziel dieses Teils ist es, aus den Rohdaten die Myonentracks zu extrahieren.

Zunächst werden die Rohdaten aus einer Textdatei in einen TTree geschrieben, dabei handelt es sich um eine Klasse von Root, die zur Verwaltung großer Daten gedacht ist. Einen solchen TTree kann man sich als 2D-Array vorstellen. In der einen Dimension ist er offen, sodass beliebig viele Events untereinander angeordnet werden können. In der anderen Dimension ist der TTree in TBranches geordnet, welche den Zugriff auf Variablen, Strukturen und Objekte ermöglichen.

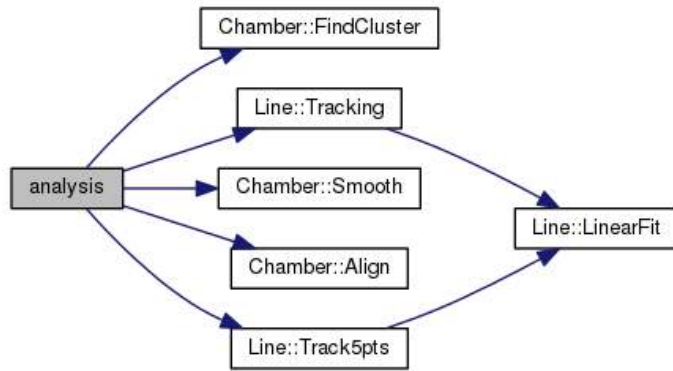


Abbildung 14: Funktionen der Analyse

Grundsätzlich werden nun die Myonen-Tracks gesucht und ihre Richtung bestimmt. In Abbildung 14 sind schematisch die einzelnen Funktionen der Analyse dargestellt. Zunächst werden durch die Funktion „FindCluster“ die Koordinaten der Punkte bestimmt, die durch den Myonen-Durchgang in jedem Chamber erzeugt wurden. Die Koordinate entspricht dem Schwerpunkt der getroffenen Channels, welcher allerdings durch das Smoothing und Alignment noch entsprechend korrigiert wird. Des Weiteren wird dieser Punkt noch durch einen zufälligen Wert verschmiert, da sonst auf Grund des Aufbaus nur bestimmte Positionen gemessen werden, obwohl eine kontinuierliche Verteilung vorliegt.

Diese Punkte werden nun im Tracking zu einer Linie gefittet, dabei wird nur die jeweils beste Linie verwendet (mehrere Möglichkeiten, wenn mehrere Cluster pro Chamber). Für einen Track müssen mindestens 5 Chamber getroffen werden und das mittlere Abweichungsquadrat darf nicht größer als  $2^{11}$  sein.

Dies wird in 2 Schritten getan, zunächst werden in einer Preanalyse 2000 Tracks untersucht um statistische Aussagen über den Aufbau des Teleskops treffen zu können und anschließend kann in der Hauptanalyse die eigentliche Auswertung erfolgen.

Um einfach Statistiken zu verwalten, hilft erneut ein Root Objekt: THist. Dabei handelt es sich um ein Objekt, das als Histogramm dient und viele Funktionen, unter anderem auch eine grafische Ausgabe, unterstützt, die für diese Zwecke sehr hilfreich sind.

Es treten im Wesentlichen zwei, durch den Aufbau bedingte Fehler auf, die statistisch erfasst werden müssen. Zum einen weisen die einzelnen Wires aus baulichen Gründen eine

<sup>11</sup>dieser Wert nennt sich CHI\_2\_THRESHOLD

### 3. Das Myonenteleskop

unterschiedliche Akzeptanz auf, was zu einer scheinbaren Verschiebung der Koordinaten hin zu diesen Wires führt. Dieser Fehler tritt mit einer Periodizität von vier Wires auf, wie man auch in Abbildung 15 sieht. Um diesen Fehler zu bestimmen geht man davon aus, dass jede der 4 Wires grundsätzlich mit derselben Wahrscheinlichkeit getroffen werden müsste, durch statistische Überprüfung kann die abweichende Affinität für Myonen ausgeglichen werden, dieser Wert wird Smoothingprobability genannt.

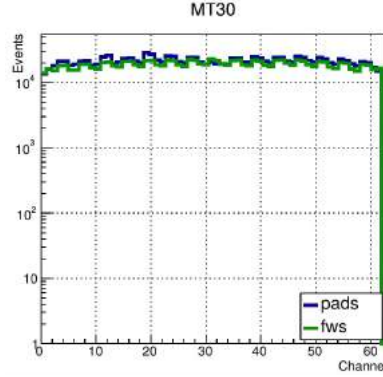


Abbildung 15: Hits der einzelnen Channels der MT30 Chamber bei Run 39

Der zweite Fehler, der korrigiert werden soll, entsteht durch die baulich bedingte Verschiebung der Chamber relativ zueinander (Abbildung 16). Durch die Differenz der Messwerte von der extrapolierten Position des Treffers kann eingeschätzt werden, wie die Chamber zueinander verschoben sind, dieser Effekt wird „Alignment“<sup>12</sup> genannt. Die durchschnittliche Abweichung der Messwerte entspricht dabei dem Alignment des Chambers.

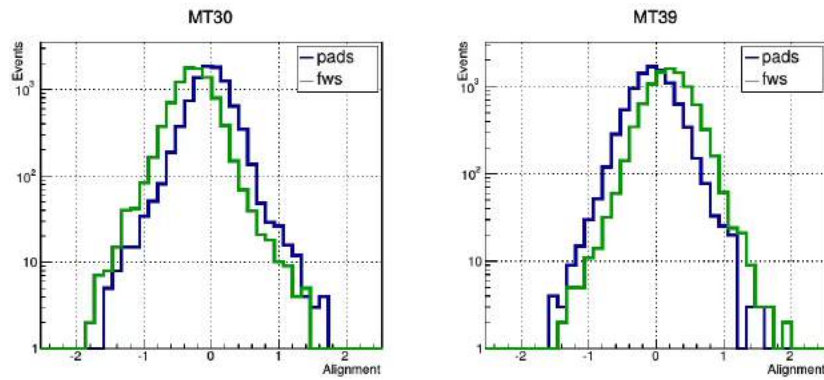


Abbildung 16: Abweichung der Punkte vom Linearfit des MT30 und MT39 Chambers bei Run 39

In der Hauptanalyse werden nun die Myonen-Tracks gesucht und ihre Richtung bestimmt. Die Tracks werden anschließend in ein Histogramm abhängig von ihrer Richtung gefüllt. Um später den tatsächlichen Myonenfluss zu erhalten, muss allerdings noch die

<sup>12</sup>engl.: Ausrichtung, Flucht

### 3. Das Myonenteleskop

Akzeptanz und Effizienz berücksichtigt werden. Um diese Effizienz der Chamber zu berechnen, werden nun zu jedem Track zusätzlich Linien mit nur fünf Punkten gefittet. Wenn der sechste Punkt getroffen wurde gilt diese Linie als getrackt.

Die Ergebnisse werden in einem weiteren TTree für die nächsten Programmschritte gespeichert und einige Statistiken werden ausgegeben. Das Abspeichern dieser Zwischenergebnisse hat den Vorteil, dass man die Analyse, die sehr zeitintensiv ist, nicht bei jeder veränderten Einstellung in den nachfolgenden Programmabschnitten erneut durchführen muss.

Im Vergleich zu dem bereits existierenden Programm verwendet unser Programm auch Myonentracks, die nur von fünf Chambren registriert wurden. Dies erhöht bei gleicher Messzeit die Anzahl der Tracks, sodass man in kürzerer Zeit mehr Statistik erreicht. Außerdem läuft dieses Programm etwa nur halb so lange, was sich gerade bei großen Messdaten bemerkbar macht.

#### 3.2.2. Polargauß

Dieser Teil wandelt die Ergebnisse der Analyse in Polarkoordinaten um und berechnet den Fehler. Der Myonenfluss und dessen Fehler werden als Histogramme dargestellt. Dies bedeutet, dass sie eine bestimmte Bingröße aufweisen müssen. Diese Größe ist variabel und wichtig sinnvoll zu wählen; natürlich bieten mehr Bins<sup>13</sup> eine höhere Auflösung, jedoch steigt der relative statistische Fehler, da es so weniger Treffer pro Bin gibt. Dazu muss man die Rotation des Runs angeben. Das Teleskop kann dabei entlang der drei Raumachsen gedreht werden. Das Programm unterstützt lediglich eine Rotation um zwei von ihnen, da eine gleichzeitige Rotation um drei Achsen einerseits unnötig und andererseits unpraktisch ist. In Abbildung 17 ist ein Beispiel zu sehen.

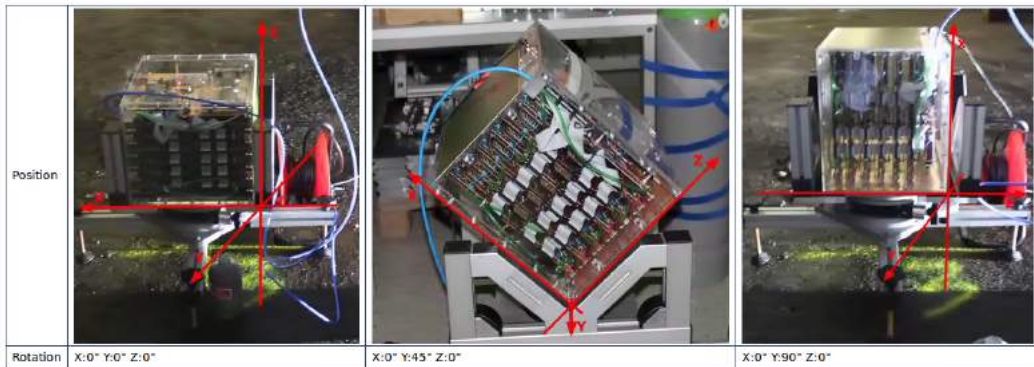


Abbildung 17: Beispiele für Rotationen des Myonenteleskop

Das Programm greift nun auf die Ergebnisse der Hauptanalyse zu und rotiert zunächst die Anstiege der Myonentracks um den entsprechenden Winkel. Da diese Anstiege sehr unintuitiv sind, werden nun daraus Polarkoordinaten berechnet. Es gilt folgender Zusammenhang:

<sup>13</sup>engl. Behälter; Unterteilung der Werteskala eines Histogramms Bereich einer Breite, die Bingröße genannt wird

### 3. Das Myonenteleskop

$$mPad = \cos(\phi) \cdot \tan(\theta) \quad (7)$$

$$mFw = \sin(\phi) \cdot \tan(\theta) \quad (8)$$

Dabei ist mPad der Anstieg in Pad Richtung und mFw der Anstieg in Fieldwires Richtung.  $\phi$  und  $\theta$  sind die Polarkoordinaten, wobei  $\theta$  der Abstand zum Zenit und  $\phi$  der Winkel von Norden aus ist. Zu beachten ist, dass Myonen hauptsächlich von oben kommen und das Myonenteleskop den Richtungssinn der Myonentracks nicht erfassen kann, deshalb werden alle Tracks in positive theta Richtung interpretiert.

Anschließend wird die Akzeptanz der Tracks bestimmt, diese ist hauptsächlich von der Fläche abhängig, bei der diese Tracks registriert werden können und einem zusätzlichen winkelabhängigen Faktor. Diese Akzeptanz dient bei der Fluxberechnung zur Wichtung der Tracks. In Abbildung 18 sieht man den Graph der Akzeptanz, man sieht ein spitzes Maximum bei senkrechten Tracks.

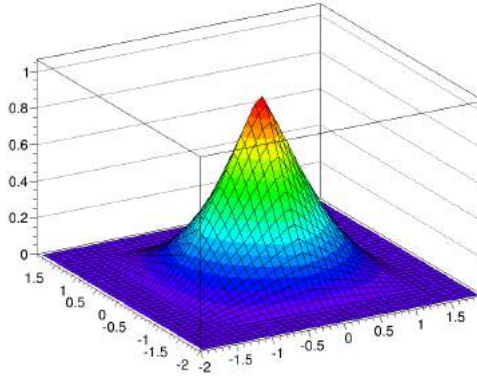


Abbildung 18: Akzeptanz des Myonenteleskop

Um nun die Effizienz der Chamber zu bestimmen konnten wir wieder ein Root Objekt nutzen: TEfficiency. Dieses Objekt besteht im Wesentlichen aus zwei Histogrammen. In einem werden alle Tracks aufgezeichnet, in dem anderen nur die guten, also getrackten Ereignisse. Aus dem Verhältnis beider wird die Trackingeffizienz berechnet, welche bei der Berechnung des Flux berücksichtigt werden muss.

Diese Trackingeffizienz der Chamber (ChamberEff) gibt an, welcher Anteil der durchquerten Myonen auch als Myon von einem Chamber getrackt wird. Um nun die Trackingeffizienz für das gesamte Teleskop  $\epsilon$  (11) zu erhalten, müssen die Effizienzen für 6 Punkte (9) und 5 Punkte Tracks (10) bestimmt und addiert werden.

$$\text{trackingEff6} = \prod_{i=1}^n \text{ChamberEff}_i \quad (9)$$

$$\text{trackingEff5} = \sum_{i=1}^n \frac{1 - \text{ChamberEff}_i}{\text{ChamberEff}_i} \text{trackingEff6} \quad (10)$$

$$\text{trackingEff} = \text{trackingEff6} + \text{trackingEff5} \quad (11)$$

### 3. Das Myonenteleskop

Die Effizienz des gesamten Teleskops ist in Abbildung 19 dargestellt. Man sieht deutlich, dass die Effizienz nur schwach winkelabhängig ist (bis zu einem  $\theta$  von  $45^\circ$ <sup>14</sup>), danach sinkt sie auf 0. Somit kann man sagen, dass das Teleskop einen Öffnungswinkel von rund  $90^\circ$  aufweist.

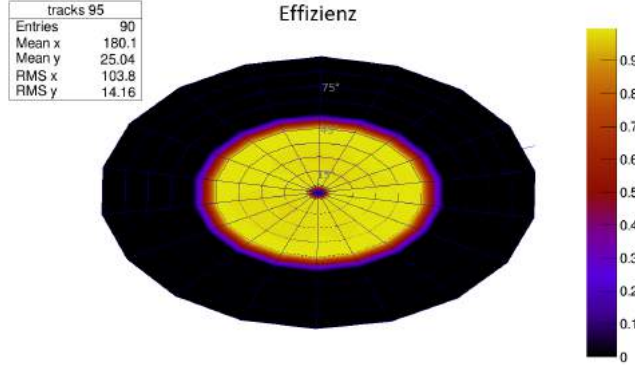


Abbildung 19: Effizienz des Myonenteleskops bei Run 95

Der Fluss  $\Phi$  berechnet sich nun für jedes Bin, wie in Formel 12 zu sehen, aus der Anzahl der getrackten Myonen unter Berücksichtigung der Akzeptanz  $N$ , dem Raumwinkel des Bins  $\Omega$ , der Detektorfläche  $A$ , der Zeit  $t$  und der Effizienz  $\epsilon$ .

$$\Phi = \frac{N}{\Omega \cdot A \cdot t \cdot \epsilon} \quad (12)$$

Der Flux nützt alleine wenig, wenn man nicht weiß, wie groß der Messfehler ist. Die Hauptfehlerquelle liegt in der Endlichkeit unserer Stichprobe von Myonentracks begründet, was zu statistischen Fehlern führt. Dabei spielen zwei Arten von statistischen Fehlern eine Rolle, der statistische Fehler der Anzahl der getrackten Myonen  $\Delta N$  und der statistische Fehler bei der Berechnung der Effizienz  $\Delta \epsilon$ . Dabei sind beide Fehler unabhängig voneinander.

Für  $\Delta N$  gilt:

$$\Delta N = \sqrt{N} \quad (13)$$

Somit ist der relative statistische Fehler von  $N$  monoton fallend.

Der statistische Fehler der Effizienz  $\Delta \epsilon$  entsteht durch die Fehlerfortpflanzung der statistischen Fehler der Effizienzberechnungen der einzelnen Chamber. Diese Fehler berechnet das TEfficiency Object selbstständig. Den gesamten Fehler  $\Delta \epsilon$  berechnet man, indem man die einzelnen Fehler der Chamber mithilfe des Gauß'schen Fehlerfortpflanzungsgesetzes auf die Formeln 10 bis 11 anwendet.

Der Fehler des Flusses  $\Delta \Phi$  berechnet sich ebenfalls über das Gauß'sche Fehlerfortpflanzungsgesetz, wie in Formel 14 zu sehen.

$$\Delta \Phi = \sqrt{\left( \frac{\Delta N}{\Omega t A \epsilon} \right)^2 + \left( \frac{N \Delta \epsilon}{\Omega t A \epsilon^2} \right)^2} \quad (14)$$

---

<sup>14</sup>die scheinbar geringere Effizienz bei  $\theta=0^\circ$  ist in diesem Fall nur ein Darstellungsfehler

### 3. Das Myonenteleskop

Bins die leer sind, bekommen einen extrem großen Fehler, sodass sie bei der Histogrammaddition nicht berücksichtigt werden und man sieht, wo der Messbereich endet. Auf Grund des statistischen Fehlers ist es zu empfehlen, möglichst lange zu messen und die Binanzahl nicht unnötig groß zu gestalten, da sich sonst weniger Tracks in einem Bin befinden.

#### 3.2.3. Histogrammaddition

Um eine vollständige Winkelabdeckung zu erhalten, müssen die einzelnen Messungen zusammengefasst werden.

Aus den Ergebnissen der einzelnen Runs wird das gewichtete Mittel errechnet. Dafür gelten folgende Formeln:

$$\bar{x} = \frac{\sum_{i=1}^n \frac{x_i}{\delta x_i^2}}{\sum_{i=1}^n \frac{1}{\delta x_i^2}} \quad (15)$$

$$\Delta \bar{x} = \sqrt{\frac{1}{\sum_{i=1}^n \frac{1}{\Delta x_i^2}}} \quad (16)$$

Durch diese Rechnung fallen Messwerte mit kleineren Fehlern mehr ins Gewicht, als welche mit großen. Im Programm werden dazu alle Bins der einzelnen Läufe erfasst und in einem neuen zusammengefasst. Zu beachten ist dabei, dass alle Runs mit derselben Bingröße analysiert werden müssen.

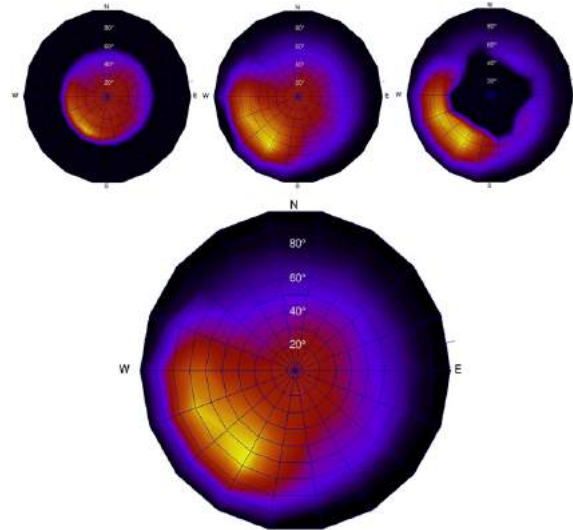


Abbildung 20: Flux aus verschiedenen Messungen zusammengefasst; oben von links nach rechts  $0^\circ$ ,  $45^\circ$  und  $90^\circ$  Messungen; unten zusammengefasst

Wie man in Abbildung 20 sieht, kann durch das Zusammenfassen mehrerer Runs eine sehr große Winkelabdeckung realisiert werden.

Zusätzlich kann noch der gesamte Myonenfluss über Integration ermittelt werden.

### 3. Das Myonenteleskop

#### 3.2.4. GUI

Root erlaubt es einfach grafische Userinterfaces zu realisieren. Dieses ist notwendig, da das Programm auch von anderen genutzt werden soll. In Abbildung 21 sieht man das Formular des GUI.

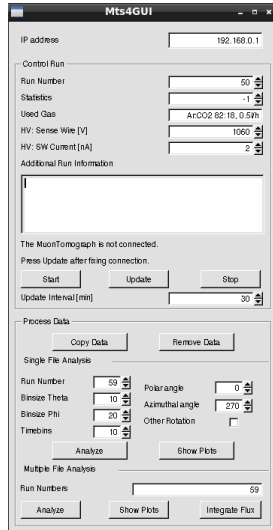


Abbildung 21: GUI

Im oberen Teil befinden sich die Eingabemöglichkeiten für die Interaktion mit dem Myonenteleskop. Man kann Messungen starten, beenden, sowie kommentieren. Die Kommunikation mit dem Teleskop erfolgt durch die in Tabelle 1 aufgelisteten Befehle.

Im mittleren Teil findet der Nutzer alle Einstellungsmöglichkeiten für die Offlineanalyse der einzelnen Runs. Dabei kann die Pre- und Hauptanalyse separat von der Polaranalyse und der Histogrammaddition ausgeführt werden. So spart man deutlich Zeit, da die weitere Analyse sehr viel schneller vonstatten geht.

Im unteren Teil findet man die Eingabemöglichkeiten für die Analyse mehrerer Runs. Die einzelnen Runs können zusammengefasst werden und es kann der gesamte Fluss durch Integration bestimmt werden. Dabei können maximal 10 Runs gleichzeitig analysiert werden.

#### 3.2.5. Dokumentation

Damit das Programm nachträglich und auch von anderen Personen verstanden werden kann, ist es nötig eine übersichtliche Dokumentation zu erstellen. Dazu verwendeten wir das Programm Doxygen. Dieses durchsucht den Quellcode automatisch nach Klassen und ihren Methoden und Variablen und erstellt daraus eine Dokumentation, welche sowohl aus Latex als auch als HTML-Dateien bestehen kann.

Die Dokumentation besteht aus einem Verzeichnis der Quellcode-Dateien und Klassen. Alle Elemente sind miteinander verlinkt. Es gibt ein Suchfenster, sodass man schnell alle benötigten Informationen findet. Des Weiteren werden die Abhängigkeiten der Klassen, Methoden und Dateien grafisch dargestellt.

## 4. Messungen

Im Folgenden geht es um die Messungen, die mit dem Teleskop durchgeführt wurden sowie ihre eigentliche Auswertung.

### 4.1. Grundsätzliche Vorgehensweise

Ziel der Messungen ist es einen möglichst großen Winkel abzudecken. Da das Teleskop allerdings nur ungefähr mit einem Öffnungswinkel von rund  $90^\circ$  gut abdeckt, werden für die Flussbestimmung an einem Standort Messungen in verschiedene Richtungen gemacht: eine horizontal und jeweils vier Messungen im Winkel von  $45^\circ$  und  $90^\circ$  zur Senkrechten in alle Richtungen. Da das Myonenteleskop nicht den Richtungssinn der Myonen unterscheiden kann, braucht man für die  $90^\circ$  Messungen tatsächlich nur zwei Messungen, die anderen wären äquivalent. Somit besteht ein vollständiger Messsatz aus sieben Runs.

Zum Messen stellt man das Teleskop in die gewünschte Position, schließt die Gasversorgung an. Um Stromschläge zu vermeiden, muss eingedrungene Luft durch das Gas aus dem Teleskop gespült werden (typischerweise 1 Tag). Danach kann die Messung gestartet werden, indem man die Spannung einstellt, mit der das Teleskop betrieben werden soll, und den Raspberry Pi, der mit dem PC verbunden wurde, startet.

Die Messungen sollten ausreichend lange betrieben werden, um eine gute Statistik zu gewährleisten. Die Messung wird nach entsprechender Zeit durch erneutes Verbinden mit dem Teleskop beendet und die Daten können entnommen werden.

### 4.2. Oberirdische Messungen

Die oberirdischen Messungen dienten als Referenzmessungen, um die Funktionsweise des Teleskops zu überprüfen. Es wurde dafür ein Messsatz in einem Raum in HZDR aufgenommen. Es wurde angenommen, dass die Abschirmung durch das Gebäude nur minimal ist.

Ziel war es, die Funktionsfähigkeit des Programms und des Teleskops zu testen. Erwartet wurde dabei ein  $\cos^2$  verteilter Flux. Allerdings zeigte sich bei dieser Messung besonders deutlich das in Abschnitt 4.4.2 angesprochene Problem der Akzeptanzberechnung. Außerdem schirmte das Gebäude den Myonenfluss stärker ab als erwartet, weshalb eine zweite oberirdische Messung direkt unter dem Dach des Gebäudes durchgeführt wurde. Hier konnte auch die  $\cos^2$ -Abhängigkeit des Myonenfluxes gezeigt werden.

### 4.3. Messungen im Felsenkeller

Nachdem die oberirdischen Vergleichsmessungen beendet waren, wurde mit den unterirdischen begonnen.

Um das Teleskop vor Spritzwasser zusätzlich zu schützen, wurde eine Kunststofffolie über dieses gestülpt.

Da der Myonenfluss unterirdisch geringer ist als oberhalb, muss ausreichend lange gemessen werden. Aus diesem Grund konnten immer nur zwei Messungen pro Woche durchgeführt werden, sodass eine Messung drei bis vier Tage dauerte und ein Messsatz (sieben Messungen) in etwas unter einem Monat vollständig war.

#### 4. Messungen



Abbildung 22: Myonenteleskop im Felsenkeller

Es wurde an vier Positionen (MP1-MP4) in den Stollen, in die später der Teilchendetektor eingebaut werden soll, gemessen, diese sind in Abbildung 23 eingezeichnet. Zusätzlich dazu wurden vier Messsätze in dem benachbarten Stollen, in welchem sich das VKTA-Labor befindet, gemessen.

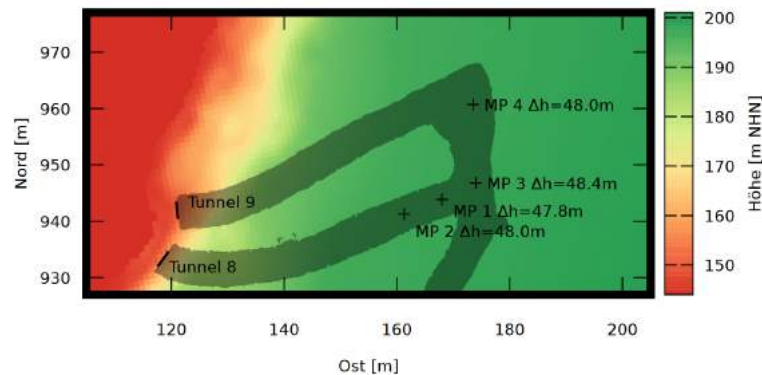


Abbildung 23: Lageplan mit Kennzeichnung der Locations im Felsenkeller

Um später Aussagen über den Myonenfluss treffen zu können, muss neben der Position des Teleskops auch dessen Ausrichtung bekannt sein. Untertage ist dies auf Grund fehlender Orientierung an markanten Punkten oder der Sonne schwierig, sodass auf eine Winkelbestimmung mittels Kompass zurückgegriffen wurde. Diese Messung kann allerdings fehlerbehaftet sein, da das Magnetfeld der Erde von lokalen Magnetfeldern magnetischer Gesteine gestört werden kann. Deshalb ist die Winkelbestimmung nur auf  $10^\circ$  genau.

#### 4.4. Auswertung

Die Messungen liefern viele verschiedene Erkenntnisse über das Teleskop und den Myonenfluss. Im folgenden geht es um die Auswertung dieser.

##### 4.4.1. Channelhits

Eine wichtige Statistik, die Aufschluss über den korrekten Betrieb des Teleskops liefert sind die Channelhits. In Abbildung 24 sieht man eine aktuelle Statistik unseres Teleskops dazu.

## 4. Messungen

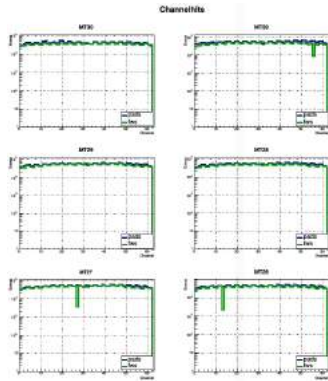


Abbildung 24: Beispiel für aktuelle Channelhits unseres Teleskops

Es handelt sich dabei um ein Histogramm, in welchem die Anzahl der Treffer für jeden Channel aufgetragen ist. Wenn ein Channel weniger oft getroffen ist, ist dies ein Anzeichen dafür, dass er nicht ordnungsgemäß funktioniert. Wie man sieht, trifft dies bei unserem Teleskop für nur drei Fieldwires zu, was nicht weiter problematisch ist, da immer mehrere Channel auf einmal getroffen werden und so Myonen, die diesen Bereich des Chambers ionisieren trotzdem registriert werden. Allerdings mussten wir feststellen, dass bei unseren ersten Messungen im Felsenkeller viele defekt waren, sodass das Teleskop zunächst repariert werden musste.

### 4.4.2. Akzeptanz

Bei der Addition mehrerer Runs verschiedener Winkel zeigte sich, dass der Fluss untereinander stark abweicht, außerdem konnte eine  $\cos^2$ -Abhängigkeit nicht bestätigt werden. In Abbildung 25 sieht man den Flux verschiedener Messungen abhängig von Theta bei festem Phi.

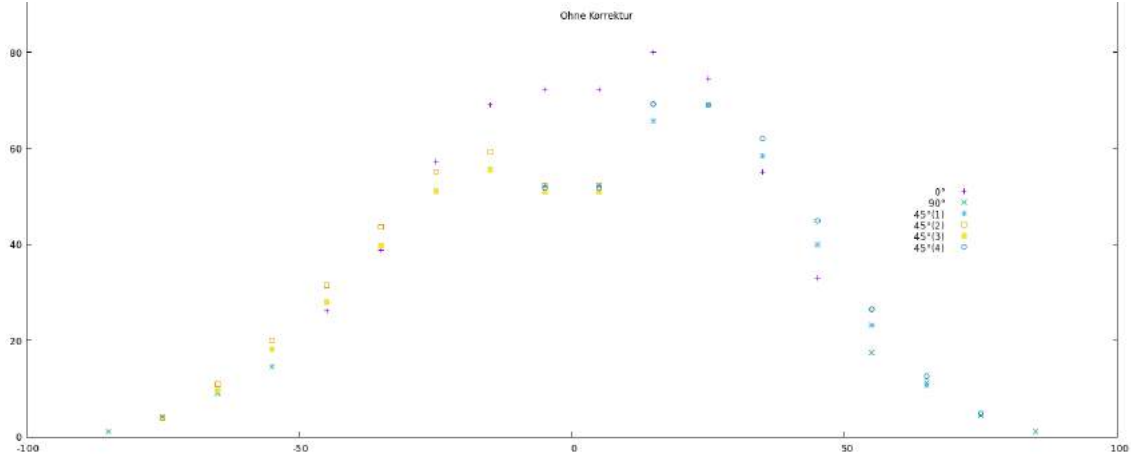


Abbildung 25: Fluss in Abhängigkeit von  $\Theta$  ohne Korrektur

Man sieht deutlich, dass die Messpunkte verschiedener Messungen nicht miteinander übereinstimmen. Messpunkte, bei denen die Myonen unter einem steilen Winkel auf den Detektor treffen sind größer, als diejenigen, die unter flachem Winkel einfallen, obwohl

#### 4. Messungen

beide gleich groß sein sollten. Dieser Fehler scheint an der Akzeptanzberechnung zu liegen. Bei dieser Berechnung wurde bisher nur die Fläche berücksichtigt, die Myonen dieses Winkels detektieren kann, trotzdem wird die Akzeptanz der unter kleinem Winkel Theta ankommenden Myonen zu hoch eingeschätzt.

Es zeigte sich, dass die Akzeptanz, zusätzlich zum bisherigen Faktor, vom Winkel der eintreffenden Myonen abhängt, genauer gesagt vom Cosinus des Einfallwinkels.

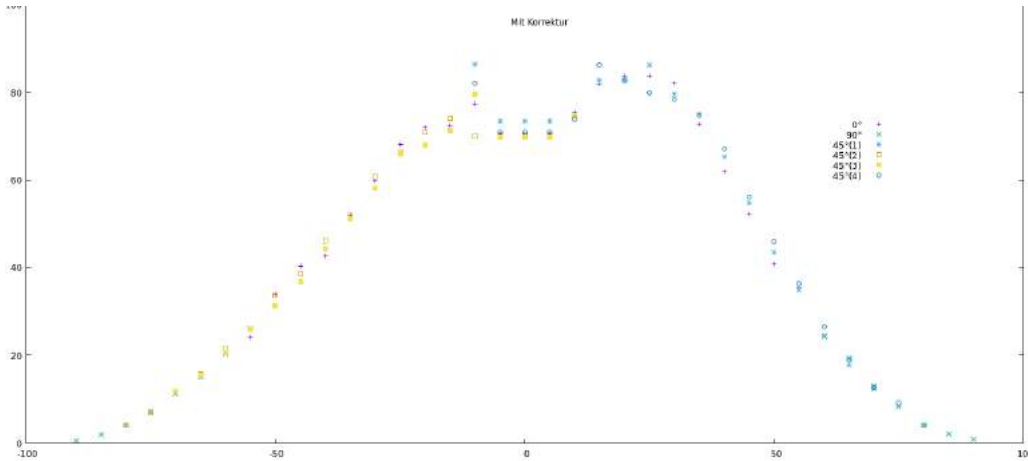


Abbildung 26: Fluss in Abhängigkeit von  $\vartheta$  mit Korrektur

In Abbildung 26 sieht man nun die deutlich bessere Übereinstimmung der Messpunkte untereinander. Als Qualitätskriterium kann man somit für einen Messsatz die Abweichung der Messwerte vom Mittelwert dividiert durch den Fehler des Mittelwerts berechnen. Das Ergebnis ist in Abbildung 27 zu sehen.

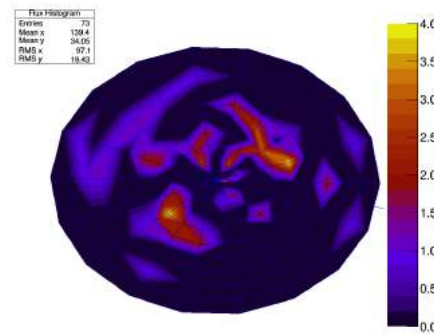


Abbildung 27: Abweichung der Messwerte vom Mittelwert (Messsatz: VKTA mk2)

Dabei ist zu beachten, dass die Punkte nicht alle auf dem Mittelwert liegen müssen, sondern dass sie mit einer gaußverteilten Wahrscheinlichkeit davon abweichen können. Daraus folgt, dass ein Histogramm, das mit den Werten aus der Abweichungsberechnung gefüllt wird, eine Gaußverteilung mit einem Mittelwert von 0 und einer Standardabweichung von 1 zeigen sollte. In Abbildung 28 ist ein solches Histogramm zu sehen.

Man kann erkennen, dass der Mittelwert nahe 0 und die Standardabweichung nur

## 4. Messungen

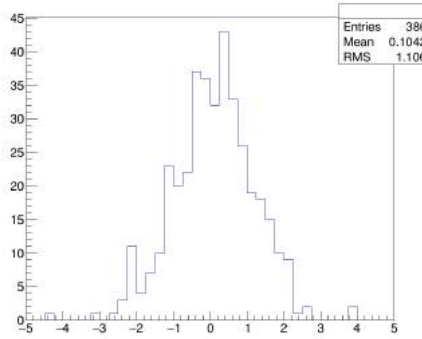


Abbildung 28: Histogramm zur Abweichung zum Mittelwert (Messsatz: VKTA mk2)

gering über 1 liegt. Dies zeigt, dass bei der Fehlerberechnung und Histogrammaddition kein Fehler gemacht wurde.

### 4.4.3. Flux

Zunächst sollten die oberirdischen Messungen eine  $\cos^2$ -Abhängigkeit bestätigen. Dazu sollte ursprünglich, wie bereits erwähnt, die Messung in Raum 008/620 (Keller) im HZ-DR dienen. Es stellte sich jedoch heraus, dass die Abschwächung des Flusses durch die Gebäudewände die  $\cos^2$ -Abhängigkeit stark überlagerte. Deshalb führten wir eine neue Messreihe im Raum 301/620 durch, dieser Raum liegt direkt unter der Decke und erfährt somit eine deutlich geringere Abschirmung.

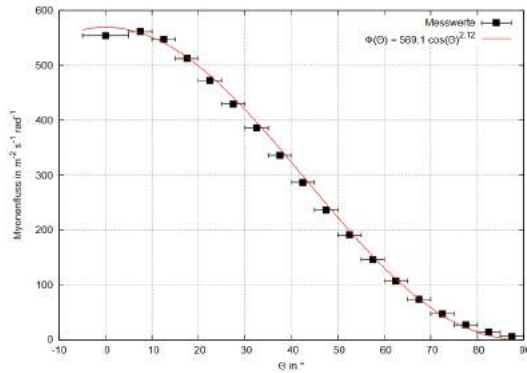


Abbildung 29: Diagramm zur Verdeutlichung der  $\cos^2$ -Abhängigkeit

In Abbildung 29<sup>15</sup> ist die Abhängigkeit des Myonenflusses von  $\theta$  dargestellt. Dazu wurde der Fluss der einzelnen Bins über  $\varphi$  integriert. Zu beachten ist dabei das  $\varphi=0^\circ$  ausgelassen wurde, da in dieser Richtung die Abschirmung durch die Wand zu groß war und das Ergebnis beeinträchtigt hätte. Es wurde eine  $\cos^{2,12}$ -Abhängigkeit festgestellt; man erkennt ein gutes Übereinstimmen aller Messpunkte. Unsere Messungen decken sich damit mit den Literaturwerten.

---

<sup>15</sup>freundlicherweise von Felix Ludwig zur Verfügung gestellt

#### 4. Messungen

Im Vergleich von den oberirdischen zu den unterirdischen Messungen war beim gesamten Myonenfluss eine Abnahme um etwas unter zwei Größenordnungen zu erwarten (siehe Abbildung 2). In Tabelle 2 sieht man den integrierten Myonenfluss der verschiedenen Positionen.

Standort	Fluss in $\text{m}^{-2}\text{s}^{-1}$	Bemerkung
Raum 301/620	$179,64 \pm 0,15$	unter Dach HZDR
Raum 008/620	$173,45 \pm 0,10$	im Keller HZDR
Loacation 1	$4,90 \pm 0,22$	im Felsenkeller
Loacation 2	$5,34 \pm 0,23$	im Felsenkeller
Loacation 3	$4,41 \pm 0,23$	im Felsenkeller
Loacation 4	$5,02 \pm 0,22$	im Felsenkeller
VKTA-storage room	$5,04 \pm 0,22$	im VKTA
VKTA-Werstatt	$7,03 \pm 0,18$	im VKTA
VKTA-mk1	$4,74 \pm 0,21$	im VKTA
VKTA-mk2	$5,98 \pm 0,22$	im VKTA

Tabelle 2: Integrierter Myonenfluss an verschiedenen Locations

Die beiden oberirdischen Messungen weisen einen Gesamtfluss von über  $170 \text{ m}^{-2}\text{s}^{-1}$  auf, während die unterirdischen Messungen nur einen Fluss von  $4$  bis  $8 \text{ m}^{-2}\text{s}^{-1}$ , je nach Lage, besitzen. Das Gestein schirmt also wie erwartet die Myonen ab. Zusätzlich sieht man bei den Messungen im Felsenkeller, dass sich der Abstand zur Felskante auf den Gesamtfluss auswirkt. Location 2 ist am nächsten an der Kante gelegen und weist den höchsten Fluss auf, während Location 3 am weitesten von dieser entfernt ist und einen entsprechend geringeren Fluss besitzt.

Für die Winkelabhängigkeit des unterirdischen Myonenfluxes ist zum einen die Winkelabhängigkeit der oberirdischen Myonen von Bedeutung, zum anderen ihre Wegstrecke durch das Gestein, welche sie bis zum Teleskop zurücklegen müssen. Entsprechend der  $\cos^2$  Verteilung der oberirdischen Myonen treffen die meisten Myonen vertikal auf die Erde. Der Weg, den die Myonen zurücklegen müssen, ist einerseits vertikal besonders kurz, andererseits in Richtung Abbruchkante des Felsen, also Richtung Ausgang. Aus diesen beiden Komponenten lässt sich vermuten, dass die meisten Myonen aus vertikaler Richtung, bzw. aus Richtung des Ausgangs kommen.

Im Anhang ist der Myonenfluss an den einzelnen Positionen zu sehen. Grundsätzlich erkennt man bei allen unterirdischen Messungen in Richtung des Ausgangs einen höheren Myonenfluss, als in die entgegengesetzte Richtung. Auch weisen alle Messungen einen großen Myonenfluss unter einem kleinen Winkel  $\vartheta$  auf, während er bei großem  $\vartheta$  gegen 0 geht. Hauptsächlich habe ich mich mit den Messsätzen, die in den Tunneln des späteren Teilchenbeschleunigers gemacht wurden beschäftigt und werde sie nun detaillierter beschreiben, auch wenn viele grundsätzliche Überlegungen auf die Messungen im VKTA übertragbar sind.

Zunächst ist auffällig, dass der vertikale Myonenfluss bei den vier Locations sehr ähnlich ist. Der Myonenfluss bei  $\vartheta$  gleich  $0^\circ$  liegt zwischen  $1,6$  und  $1,7 \text{ m}^{-2} \text{ s}^{-1}$ <sup>16</sup>  $\text{sr}^{-1}$  und

<sup>16</sup>Myonen pro Quadratmeter, Sekunde und Steradian

#### 4. Messungen

weicht somit nur um 7 % voneinander ab. Auf Grund dieser Messungen ist anzunehmen, dass der vertikale Myonenfluss im untersuchten Gebiet relativ homogen ist, was erlaubt, den vertikalen Myonenfluss auch an Stellen, die nur in der Nähe der Messungen liegen, gut abzuschätzen. Außerdem kann man daraus schlussfolgern, dass die Abschirmung durch das Gestein etwa konstant ist, die Felsdecke also sehr homogen beschaffen ist, da der oberirdische Myonenfluss bei jeder Messung und Position konstant bleibt.

Weitere Gemeinsamkeiten zwischen den Locations lassen sich in der, dem Ausgang abgewandten Seite feststellen. Der Myonenfluss fällt dabei abhängig von  $\theta$  vom vertikalen Wert bis auf 0. Dies liegt zum einen daran, dass der oberirdische Myonenfluss einem  $\cos^2$ -Verlauf folgt und, dass die Wegstrecke durch das Gestein mit größer werdendem  $\theta$  immer länger wird und so mehr Myonen abgefangen werden, und zwar proportional zum Kosinus von  $\theta$ . Wenn man nun näherungsweise annimmt, dass der Myonenfluss indirekt proportional zu einer gewissen Potenz dieser Länge ist, ist somit eine  $\cos^b$ -Abhängigkeit, mit einem  $b$ , das größer als 2 ist, zu erwarten.

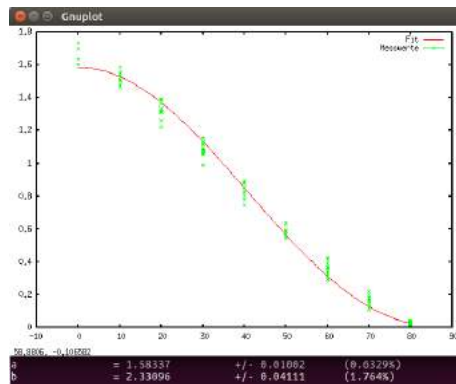


Abbildung 30: Mehrere Messkurven des Myonenfluxes (in  $\text{m}^{-2} \text{s}^{-1} \text{sr}^{-1}$ ), ohne Einfluss des Eingangs  
Fitfunktion:  $a \cdot \cos^b \theta$

In Abbildung 30 ist der Verlauf des Myonenfluxes bei den vier Locations für jeweils drei verschiedene  $\varphi$ , die allerdings alle vom Ausgang wegzeigen, dargestellt.

Abgesehen von  $\theta=0^\circ$  passen die Messpunkte recht gut auf den Fit, der wie erwartet ein  $b$  größer als 2 aufweist. Trotz des Abweichens von einer Kosinusfunktion kann man festhalten, dass der Myonenflux in Richtung Felssubstrat hauptsächlich von  $\theta$  abhängt und nicht von  $\varphi$  oder von der genauen Position.

Die größten Unterschiede zwischen den Locations liegen im Fluss, der aus Richtung des Ausgangs kommt. Dabei unterscheidet sich die Stärke des Myonenfluxes sowie die Richtung des maximalen Fluxes<sup>17</sup> in Hinsicht auf  $\varphi$  und  $\theta$ .

Die unterschiedliche Stärke des maximalen Fluxes hängt in erster Linie von der Distanz zur Abbruchkante ab, deshalb ist er bei Location 3 deutlich geringer, als bei Location 2.

<sup>17</sup>im folgenden ist der maximale Flux immer als Maximum aus Richtung Ausgang zu verstehen, also abgesehen von einem horizontalen Maximum

#### 4. Messungen

Quantitativ lässt sich kaum ein Zusammenhang finden, da nur vier Messungen gemacht wurden.

Weiterhin ist es wichtig die Abhängigkeit des maximalen Flusses in Hinsicht auf  $\varphi$  von der Location zu bestimmen. In Abbildung 31 wurde neben der Lage der Locations auch die Richtung des stärksten Myonenflusses von Richtung Ausgang eingezeichnet. Dabei ist zu beachten, dass die Winkelgenauigkeit des Teleskops etwa  $10^\circ$  auf Grund der Ausrichtung beträgt und dass die Bingröße in  $\varphi$ -Richtung  $20^\circ$  beträgt.

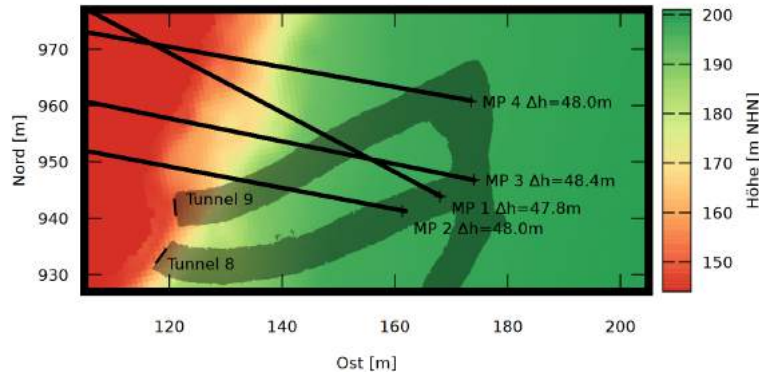


Abbildung 31: Lage der Location mit eingezeichnete Richtung des Maximums aus Richtung Abbruchkante

Man kann feststellen, dass die Hauptrichtung des Myonenflusses nicht der eigentliche, grau eingezeichnete Ausgang ist, sondern dass der größte Fluss aus Richtung der Abbruchkante erfolgt (links im Bild). Dies ist nicht verwunderlich, da der Ausgang eine Höhe von nur etwa 5 m aufweist und so nur für deutlich kleinere Winkel, unter denen sowieso kaum Myonen registriert werden, eine Bedeutung besitzt.

Nun ist noch die Höhe des maximalen Myonenflusses von Bedeutung. Man kann sagen, dass dieser Winkel  $\vartheta$  unabhängig von der Distanz zur Abbruchkante ist. So weisen die Locations 2 und 3 den gleichen Winkel von  $\vartheta=55^\circ$  auf, obwohl sie den größten Unterschied in der Entfernung zum Ausgang haben. Unterschiede in dieser Höhe (Location 4) sind darauf zurückzuführen, dass die Abbruchkante nicht glatt ist und nicht geradlinig verläuft. Auch die beschränkte Auflösung des Teleskops und dessen Messfehler führen zu Abweichungen.

Durch die Messung und Auswertung des Myonenflusses an diesen vier Locations konnten vielfältige allgemeine Aussagen über den Myonenfluss im engeren Umfeld dieser Messungen getroffen werden. Der Myonenfluss ohne Einfluss des Eingangs scheint sehr homogen zu sein, während der Fluss in Richtung Abbruchkante sich unregelmäßiger verhält. Außerdem konnte festgestellt werden, dass der erhöhte Myonenfluss in Richtung „Ausgang“ in Wahrheit aus der Richtung der kürzesten Distanz zur Abbruchkante stammt. Diese Informationen sollten, neben den exakten Messungen dabei helfen, die notwendigen Abmessungen der aktiven Abschirmung zu bestimmen. Außerdem kann man sich für spätere Messungen darauf beschränken in Richtung Ausgang zu messen, da nur dort tatsächliche Unterschiede zu erwarten sind.

## *5. Fazit*

### **5. Fazit**

Bei dieser Besonderen Lernleistung wurde ein Programm, aufbauend auf ein bereits existierendes, entwickelt, welches viele Verbesserungen bietet. Bei der Analyse können nun auch 5-Punkte-Tracks verwendet werden für die Flussberechnung, was zu einer Reduzierung statistischer Fehler führt. Außerdem wurde eine Polarauswertung hinzugefügt sowie die Zusammenfügung mehrerer Runs ermöglicht. Auch der Gesamtfluss kann nun berechnet werden. Durch eine gute Dokumentation und ein intuitives GUI sollte dieses Programm auch für Außenstehende nutzbar, bzw. erweiterbar sein. So ist es denkbar, dass das Teleskop nun einfacher für weitere Messungen benutzt werden kann.

Auf der anderen Seite konnte durch die Durchführung von 4 Messsätzen im Felsenkeller Dresden sowie deren Auswertung, der Myonenfluss sehr präzise für den Bereich des Standortes des geplanten Detektors bestimmt werden. Diese Informationen können später beim Bau der Versuchsanordnung berücksichtigt werden. So kann eine aktive Abschirmung beispielsweise auf bestimmte Bereiche beschränkt werden.

### **6. Danksagung**

Ich möchte gerne allen denen danken, die mich bei meiner Arbeit unterstützt haben! Zunächst gilt mein Dank meiner schulischen Betreuerin Frau Damm, die sich die Zeit genommen hat mich zu betreuen und so diese BELL erst ermöglichte. Außerdem hat sie mir inhaltlich und sprachlich sehr geholfen. Des Weiteren bedanke ich mich bei der TU Dresden und dem HZDR, welche mich als Institutionen unterstützten, indem sie mir das Thema anboten und mich praktisch an diesem Projekt arbeiten ließen. Dabei sei besonders Louis Wagner genannt, der mich als außerschulischer Betreuer unterstützte. Natürlich danke ich auch Felix Ludwig, welcher mit mir an diesem Projekt gearbeitet hat und dementsprechend die meisten fachlichen Fragen bezüglich des Teleskops beantworten konnte, für die gute Zusammenarbeit. Zu guter Letzt bedanke ich mich bei allen, die diese Arbeit Korrektur gelesen und so zur orthografischen und sprachlichen Richtigkeit selbiger beigetragen haben. Besonders sind dabei noch einmal Frau Damm, Louis Wagner sowie Linda Richter und meine Eltern genannt.

## A. Übersicht der Runs

### A. Übersicht der Runs

In den Tabellen 3, 4 und 5 sind alle Runs der Messungen mit ihren Rotationen und Standorten aufgeführt.

Standort	Runs	Winkel 1	Achse 1	Winkel 2	Achse 2
Location 1	33	90°	y	247°	z
	34	90°	y	337°	z
	35	0°	y	67°	z
	80	45°	y	337°	z
	81	45°	y	66°	z
	82	45°	y	157°	z
	83	45°	y	247°	z
Location 2	29	0°	y	61°	z
	31	90°	y	61°	z
	32	90°	y	151°	z
	84	45°	y	331°	z
	85	45°	y	151°	z
	86	45°	y	61°	z
	87	45°	y	241°	z
Location 3	36	90°	y	78°	z
	37	0°	y	78°	z
	38	90°	y	168°	z
	74	45°	y	258°	z
	75	45°	y	168°	z
	76	45°	y	48°	z
	77	45°	y	348°	z
Location 4	39	90°	y	355°	z
	40	90°	y	265°	z
	41	0°	y	190°	z
	69	45°	y	85°	z
	70	45°	y	175°	z
	71	45°	y	265°	z
	72	45°	y	355°	z
	73	0°	y	355°	z

Tabelle 3: Übersicht über die Runs im Felsenkeller

### A. Übersicht der Runs

Standort	Runs	Winkel 1	Achse 1	Winkel 2	Achse 2
VKTA storage room	88	90°	y	270°	z
	89	90°	y	90°	z
	90	0°	y	270°	z
	91	45°	y	0°	z
	92	45°	y	180°	z
	93	45°	y	90°	z
	94	45°	y	270°	z
VKTA mk2	95	0°	y	131°	z
	96	90°	y	131°	z
	97	90°	y	221°	z
	98	45°	y	131°	z
	99	45°	y	311°	z
	100	45°	y	221°	z
	101	45°	y	41°	z
VKTA mk1	102	90°	y	95°	z
	103	90°	y	5°	z
	104	45°	y	95°	z
	105	45°	y	5°	z
	106	45°	y	275°	z
	107	45°	y	185°	z
	108	0°	y	95°	z
VKTA Werkstatt	109	90°	y	76°	z
	110	90°	y	346°	z
	111	45°	y	256°	z
	112	45°	y	76°	z
	113	45°	y	346°	z
	114	45°	y	116°	z
	115	0°	y	76°	z

Tabelle 4: Übersicht über die Runs im VKTA

Standort	Runs	Winkel 1	Achse 1	Winkel 2	Achse 2
Raum 008/620	53	90°	x	0°	z
	54	90°	x	90°	z
	55	45°	y	180°	z
	56	45°	y	270°	z
	57	45°	y	0°	z
	58	45°	y	90°	z
	59	0°	y	270°	z
Raum 301/620	116	0°	y	0°	z
	117	45°	y	90°	z
	118	45°	y	270°	z
	119	90°	y	180°	z
	120	45°	y	0°	z
	121	90°	y	90°	z
	122	45°	y	180°	z

Tabelle 5: Übersicht über die oberirdischen Runs

## B. Ausgewählte Messwerte

## B. Ausgewählte Messwerte

## B.1. Runs

Im folgenden sind alle Polarplots der einzelnen Runs, nach den zugehörigen Locations geordnet, zu sehen. Sie zeigen auf der linken Seite den relativen Fehler, der die Gültigkeit der Messung angibt und auf der Rechten den Fluss in  $\text{m}^{-2} \text{s}^{-1} \text{sr}^{-1}$ .

### B.1.1. Location 1

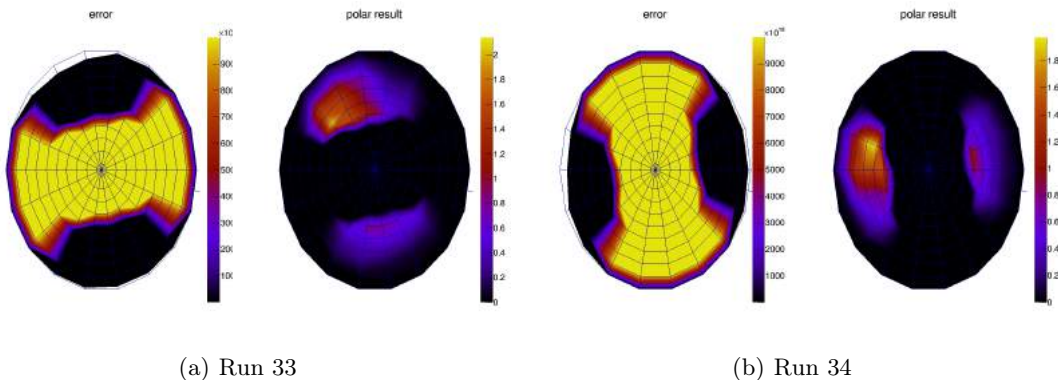


Abbildung 32: einzelne Runs

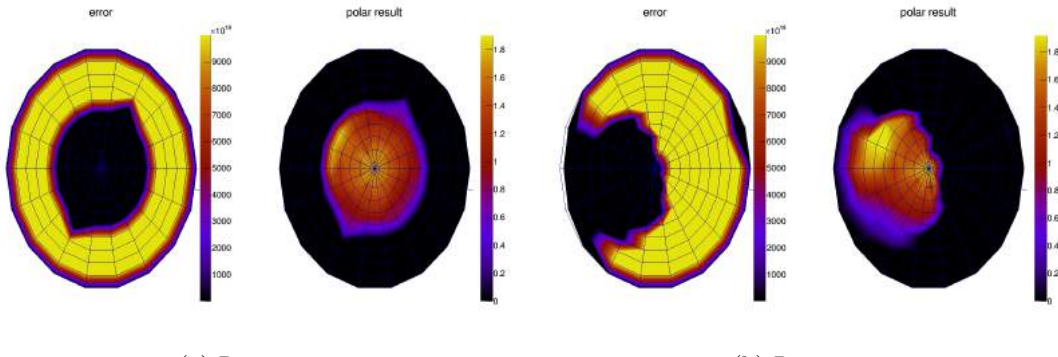


Abbildung 22: einzelne Runen

## B. Ausgewählte Messwerte

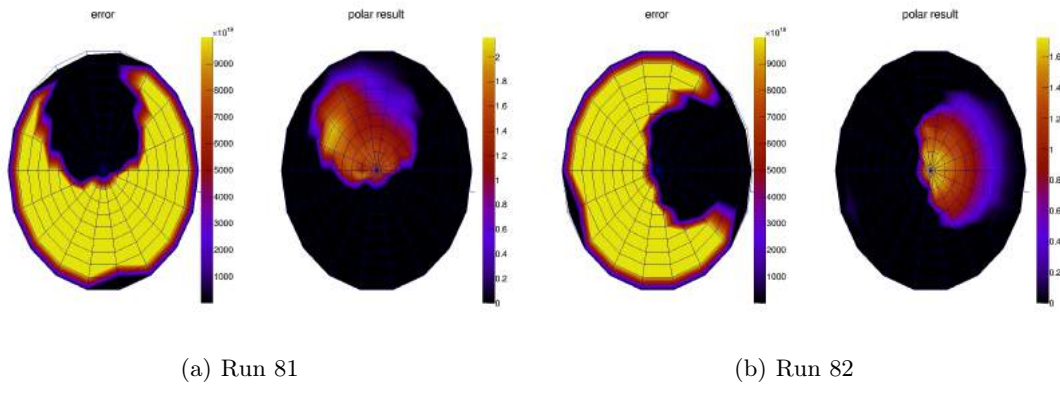


Abbildung 34: einzelne Runs

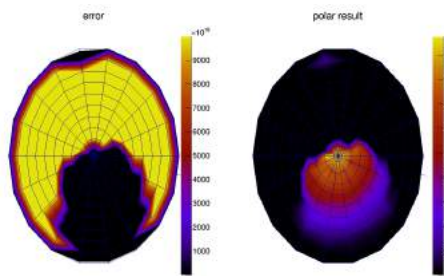


Abbildung 35: Run 83

## B. Ausgewählte Messwerte

### B.1.2. Location 2

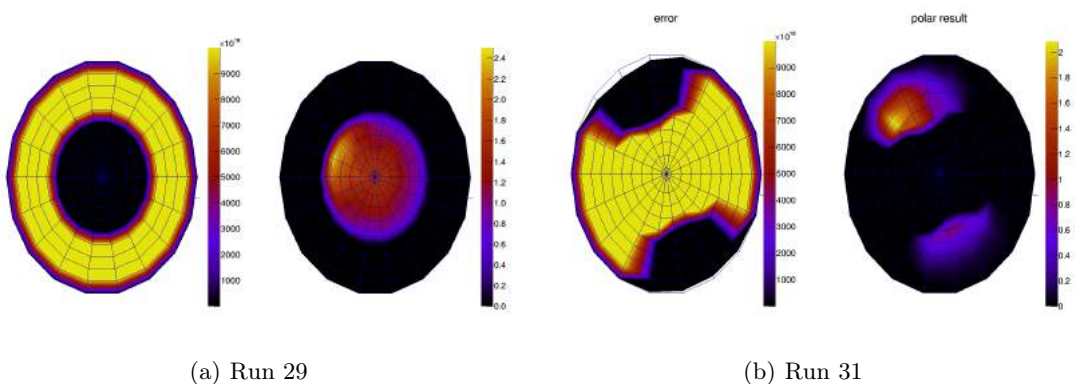


Abbildung 36: einzelne Runs

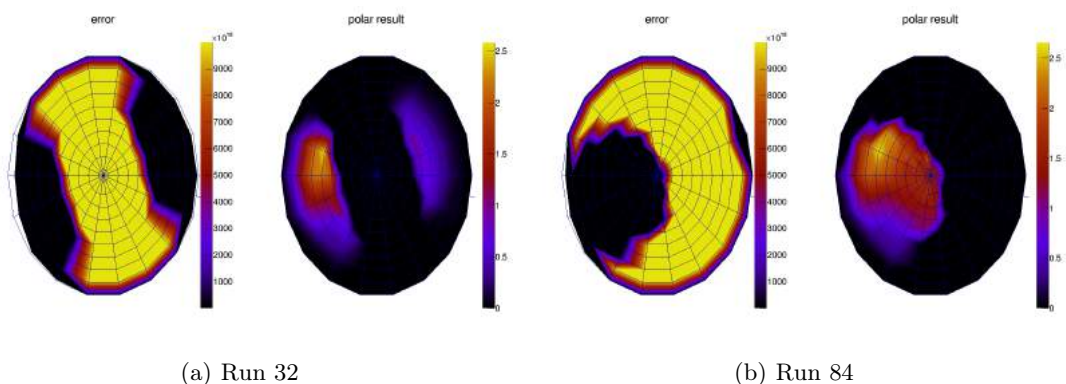


Abbildung 37: einzelne Runs

## B. Ausgewählte Messwerte

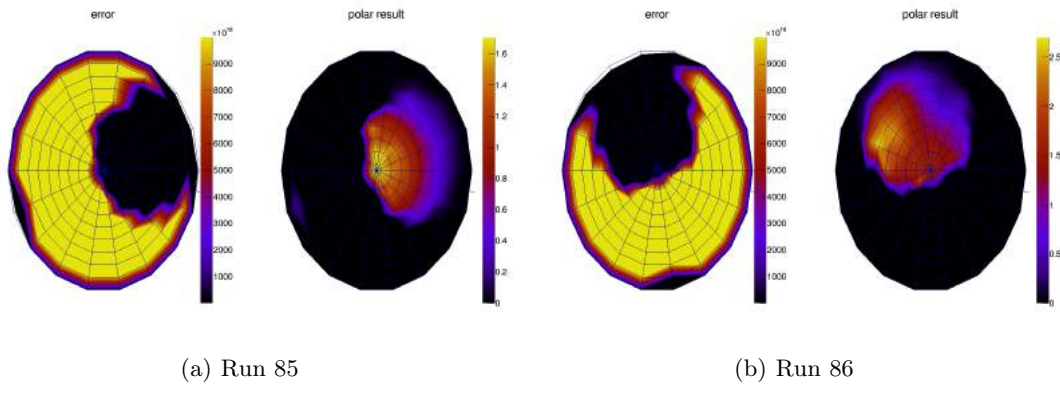


Abbildung 38: einzelne Runs

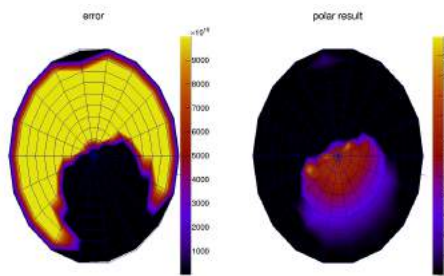


Abbildung 39: Run 87

## B. Ausgewählte Messwerte

### B.1.3. Location 3

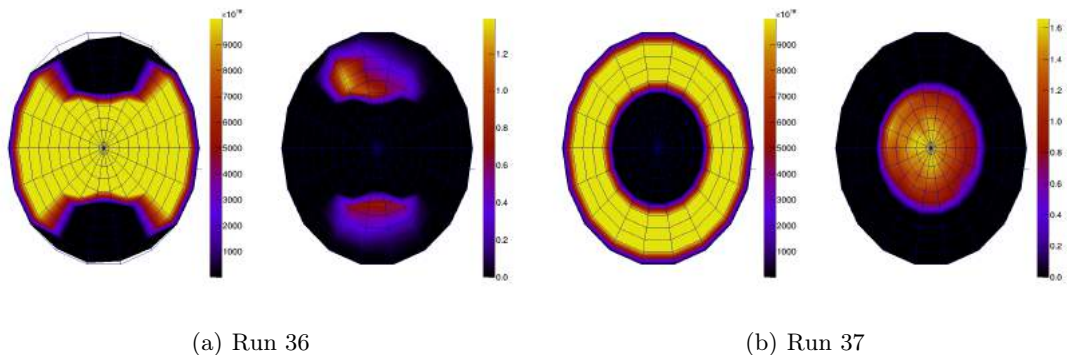


Abbildung 40: einzelne Runs

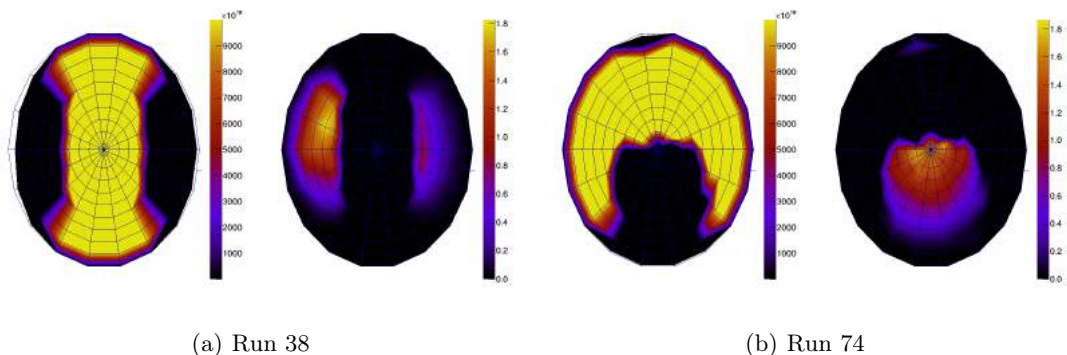


Abbildung 41: einzelne Runs

## B. Ausgewählte Messwerte

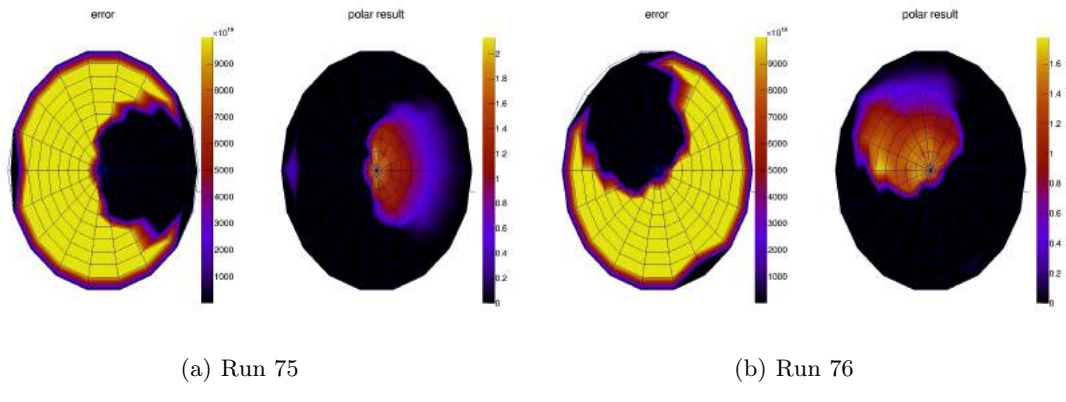


Abbildung 42: einzelne Runs

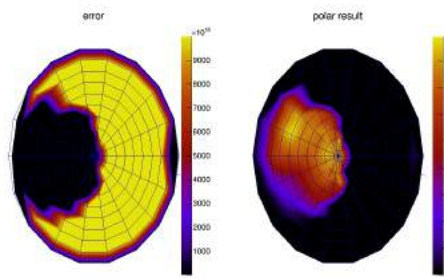


Abbildung 43: Run 77

## B. Ausgewählte Messwerte

### B.1.4. Location 4

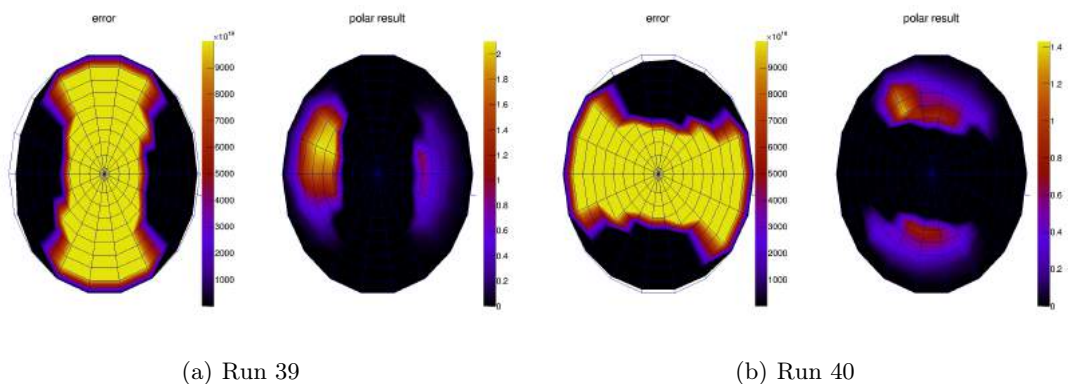


Abbildung 44: einzelne Runs

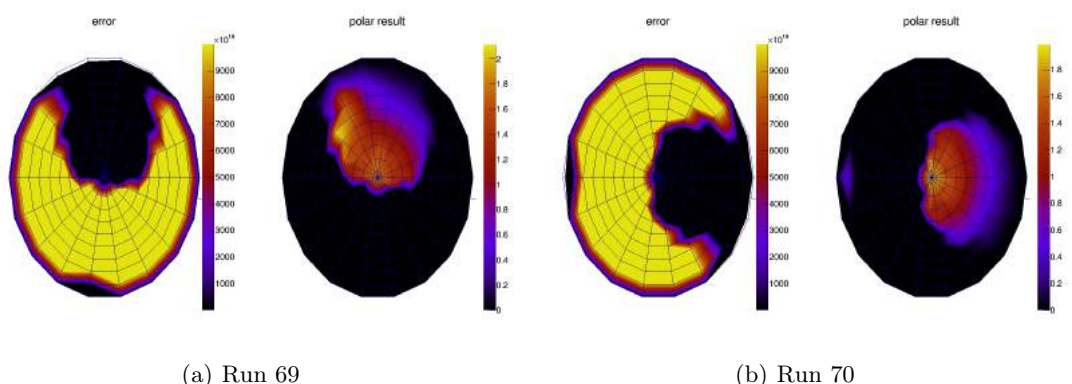


Abbildung 45: einzelne Runs

## B. Ausgewählte Messwerte

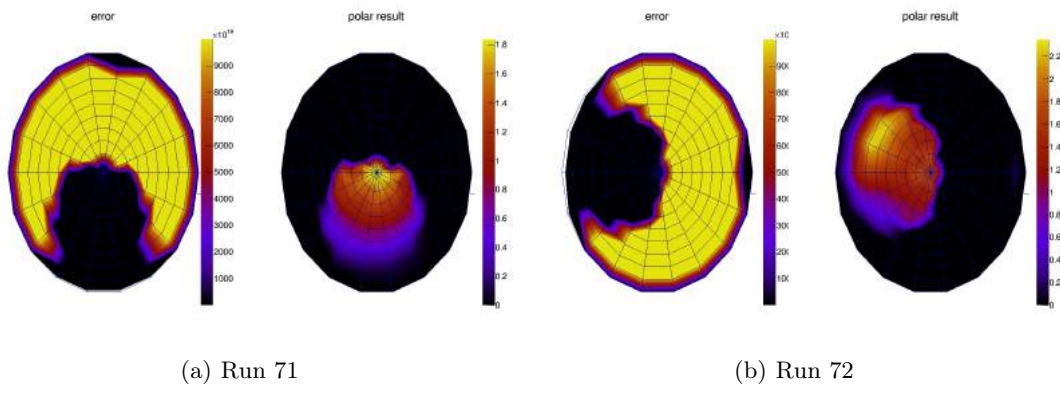


Abbildung 46: einzelne Runs

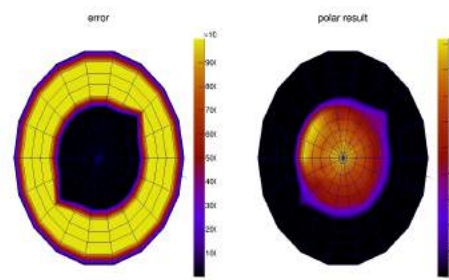


Abbildung 47: Run 73

## B. Ausgewählte Messwerte

### B.1.5. VKTA storage room

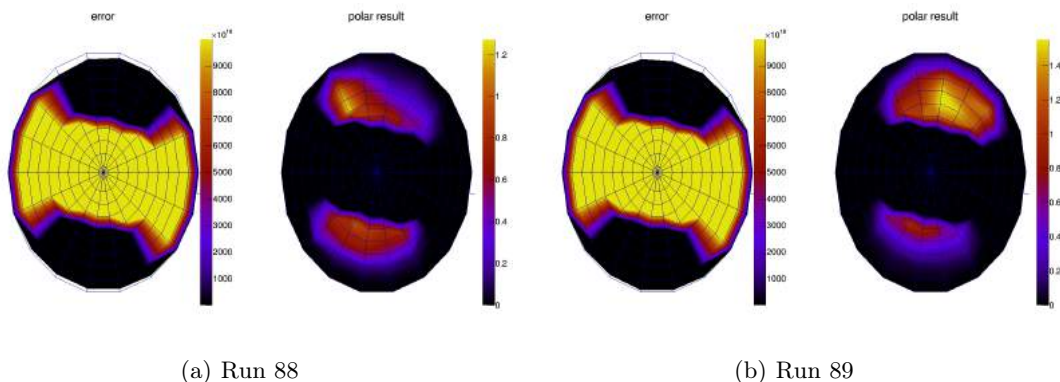


Abbildung 48: einzelne Runs

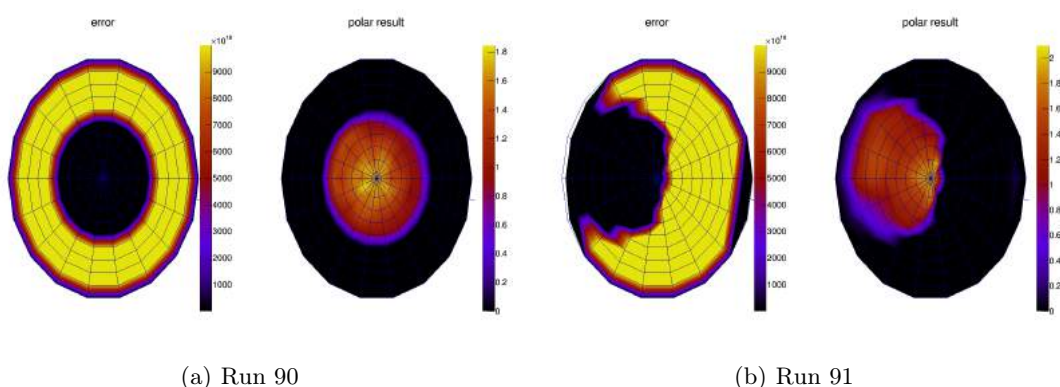


Abbildung 49: einzelne Runs

## B. Ausgewählte Messwerte

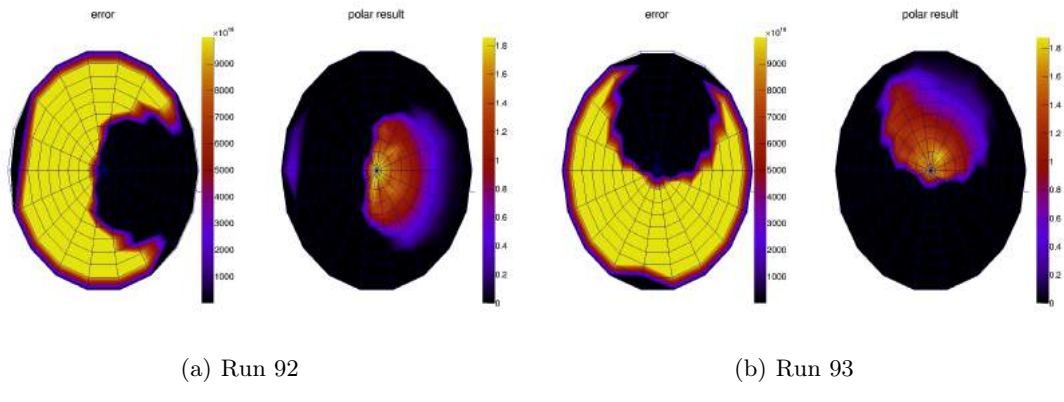


Abbildung 50: einzelne Runs

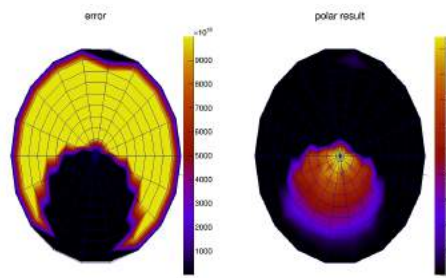


Abbildung 51: Run 94

## B. Ausgewählte Messwerte

### B.1.6. VKTA mk2

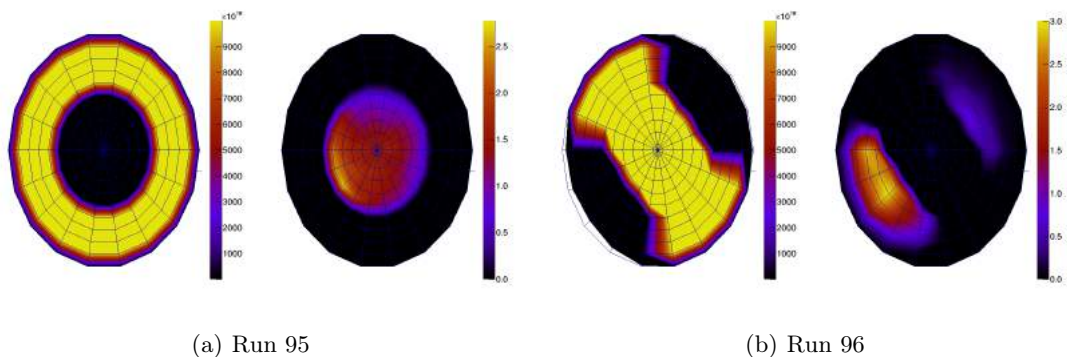


Abbildung 52: einzelne Runs

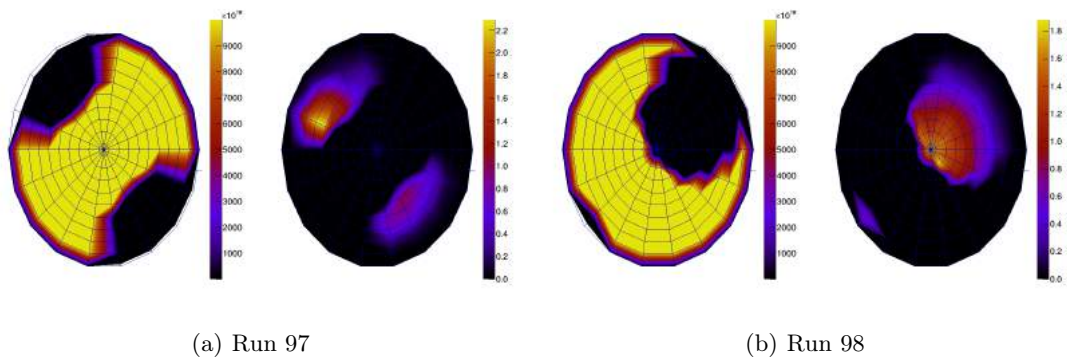


Abbildung 53: einzelne Runs

## B. Ausgewählte Messwerte

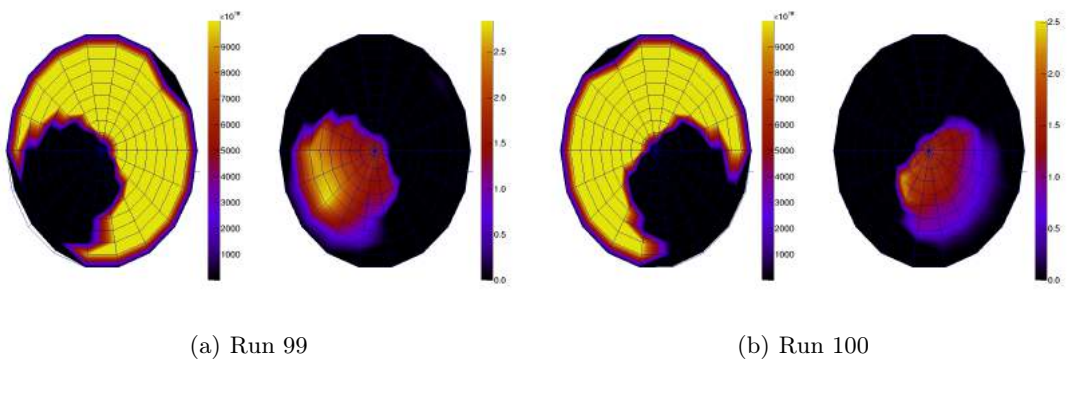


Abbildung 54: einzelne Runs

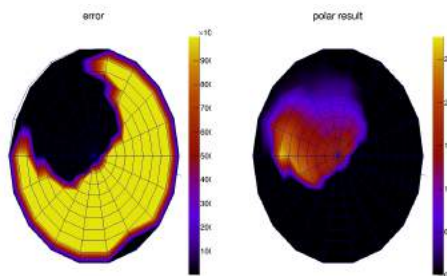


Abbildung 55: Run 101

## B. Ausgewählte Messwerte

### B.1.7. VKTA mk1

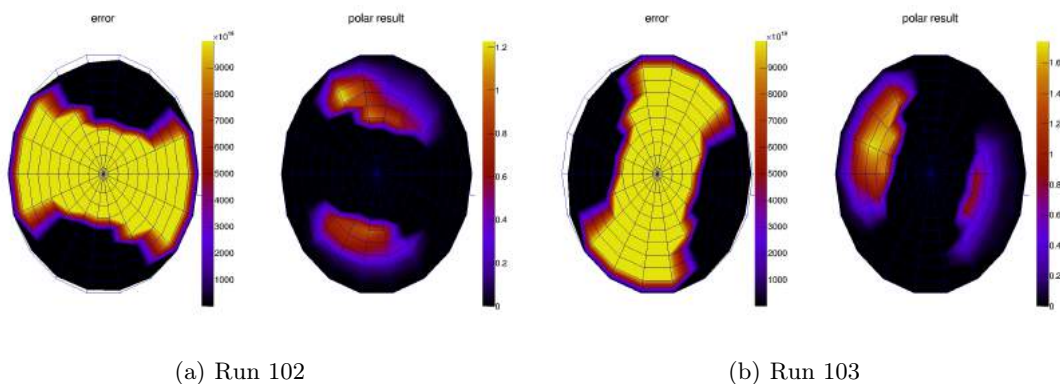


Abbildung 56: einzelne Runs

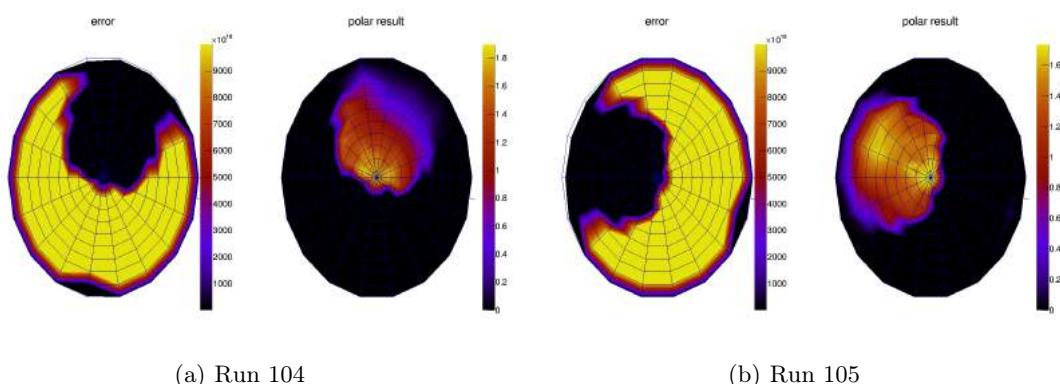


Abbildung 57: einzelne Runs

## B. Ausgewählte Messwerte

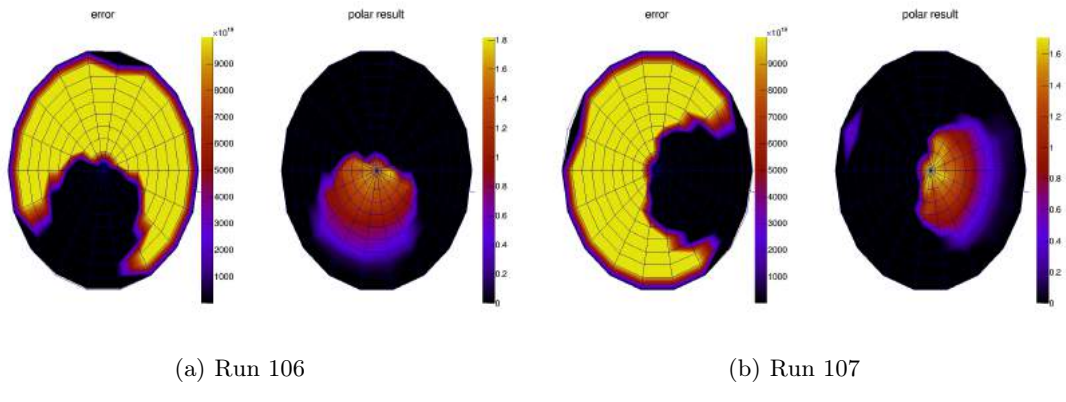


Abbildung 58: einzelne Runs

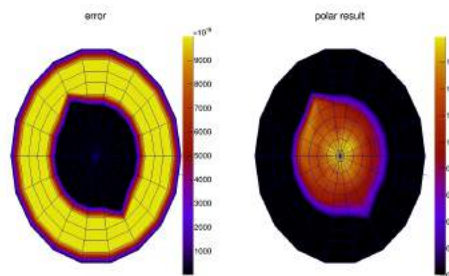
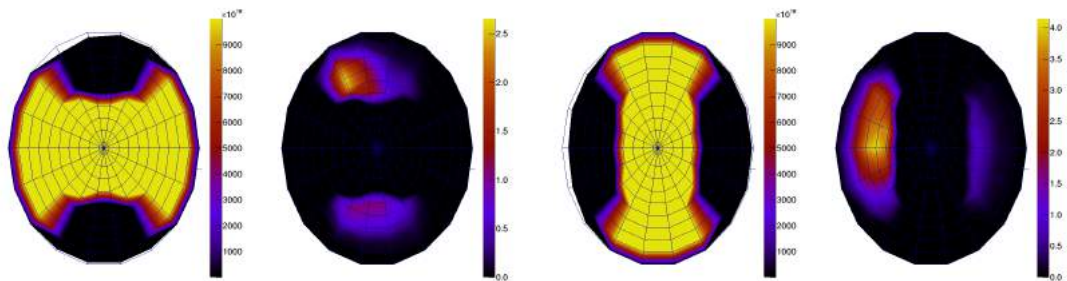


Abbildung 59: Run 108

## B. Ausgewählte Messwerte

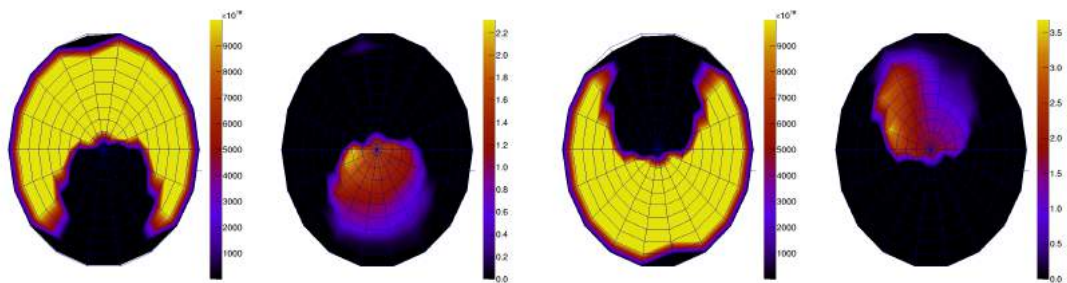
### B.1.8. VKTA Werkstatt



(a) Run 109

(b) Run 110

Abbildung 60: einzelne Runs



(a) Run 111

(b) Run 112

Abbildung 61: einzelne Runs

### B. Ausgewählte Messwerte

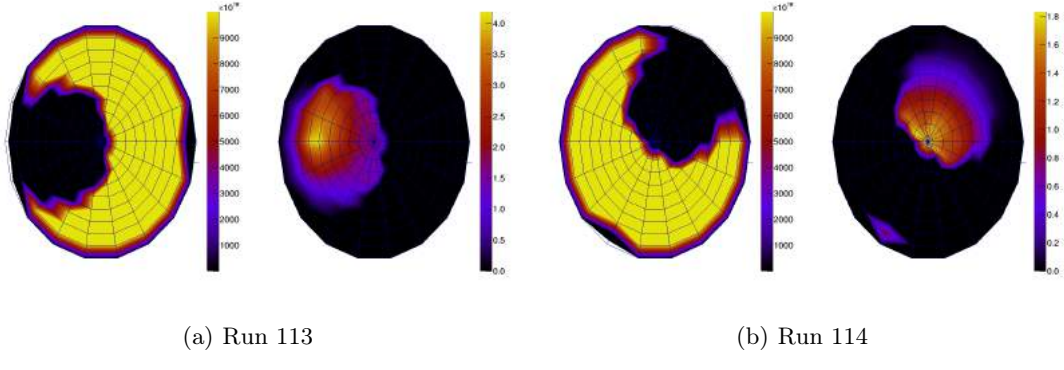


Abbildung 62: einzelne Runs

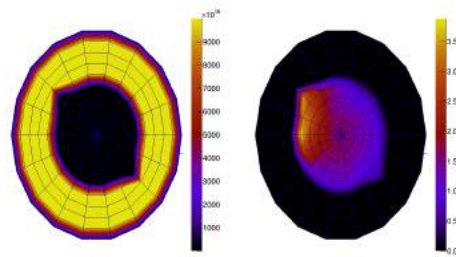


Abbildung 63: Run 115

## B. Ausgewählte Messwerte

### B.1.9. Raum 008/620

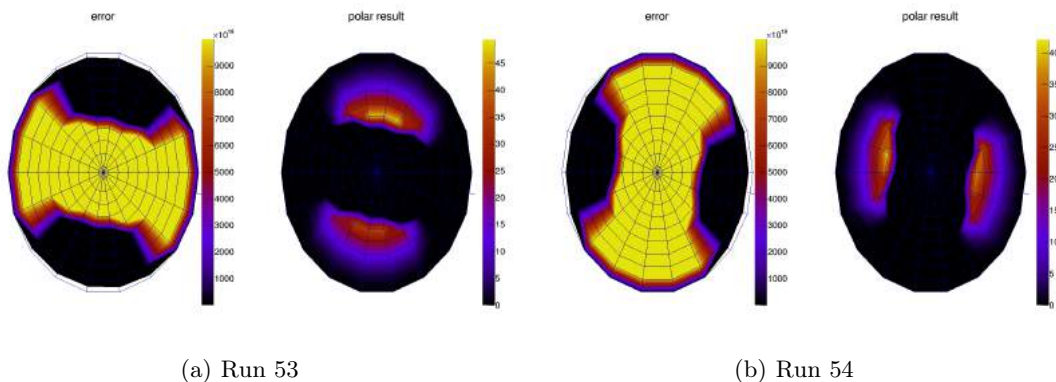


Abbildung 64: einzelne Runs

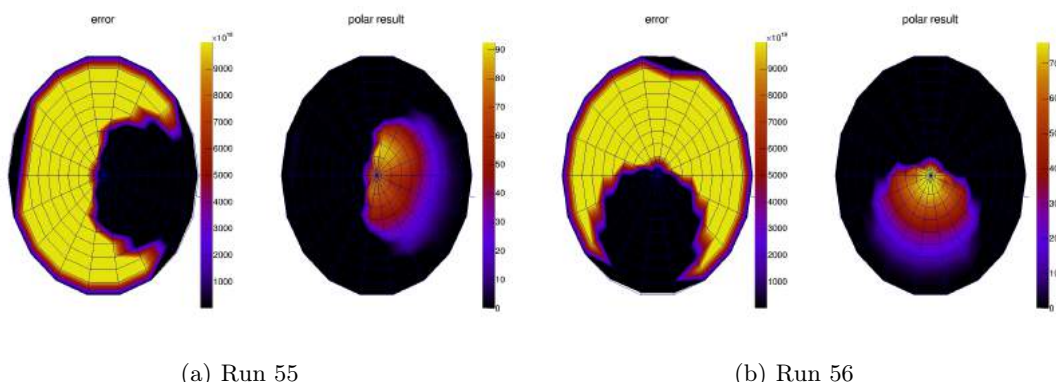


Abbildung 65: einzelne Runs

## B. Ausgewählte Messwerte

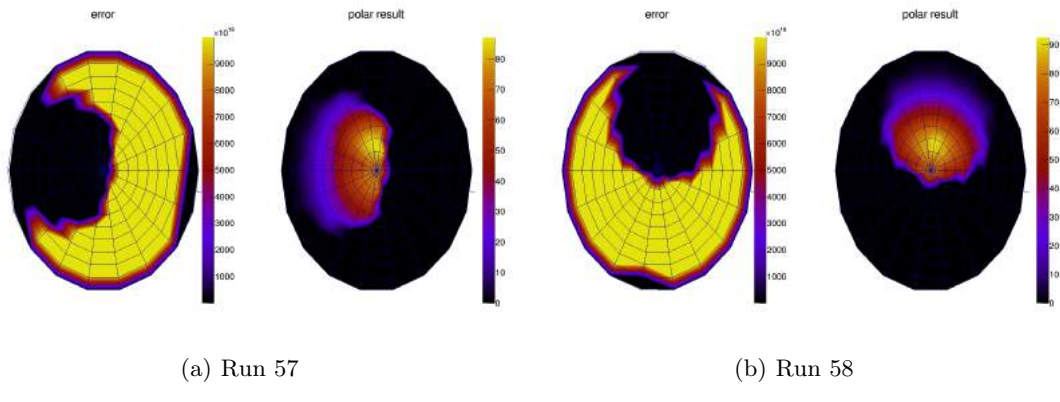


Abbildung 66: einzelne Runs

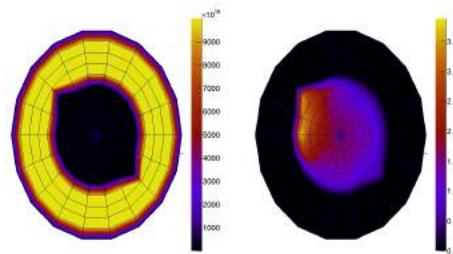
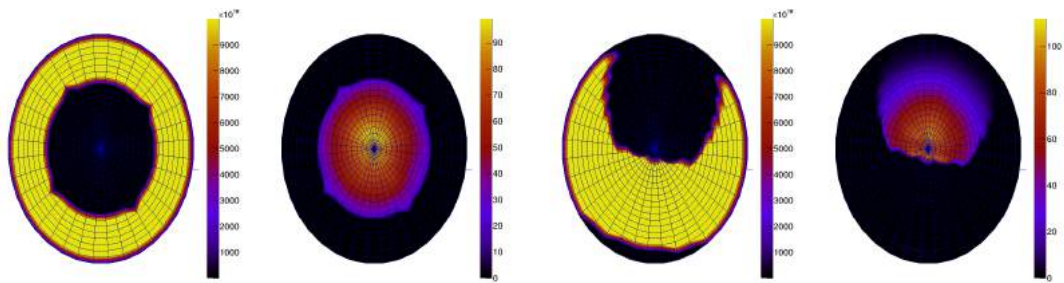


Abbildung 67: Run 59

*B. Ausgewählte Messwerte*

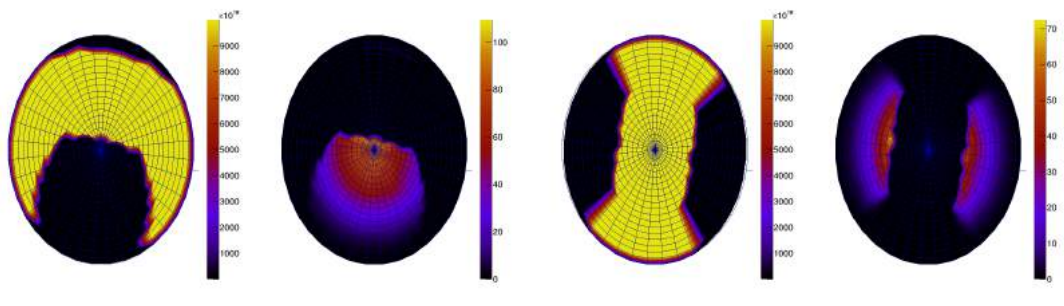
**B.1.10. Raum 301/620**



(a) Run 116

(b) Run 117

Abbildung 68: einzelne Runs



(a) Run 118

(b) Run 119

Abbildung 69: einzelne Runs

## B. Ausgewählte Messwerte

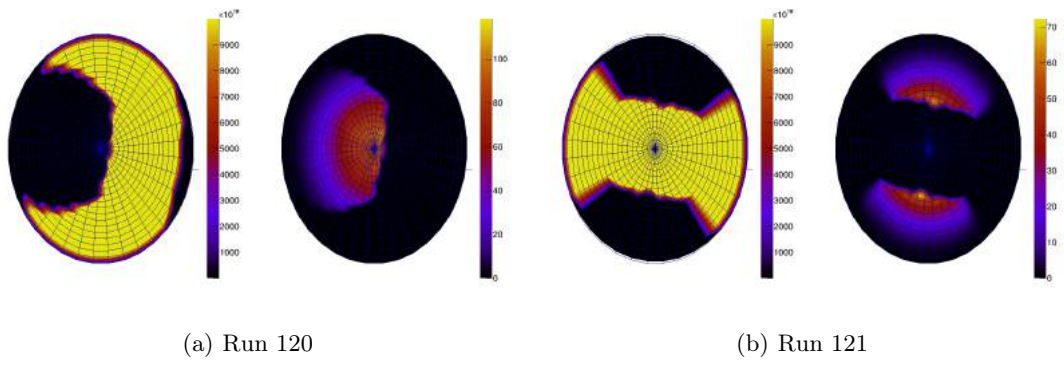


Abbildung 70: einzelne Runs

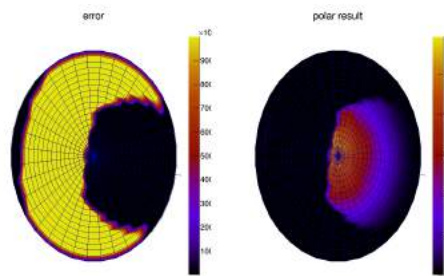


Abbildung 71: Run 122

## B. Ausgewählte Messwerte

### B.2. Locations

In diesem Bereich sind alle Locations zu finden. Dies beinhaltet den Myonenfluss und den relativen Fehler des Myonenfluxes.

#### B.2.1. Location 1

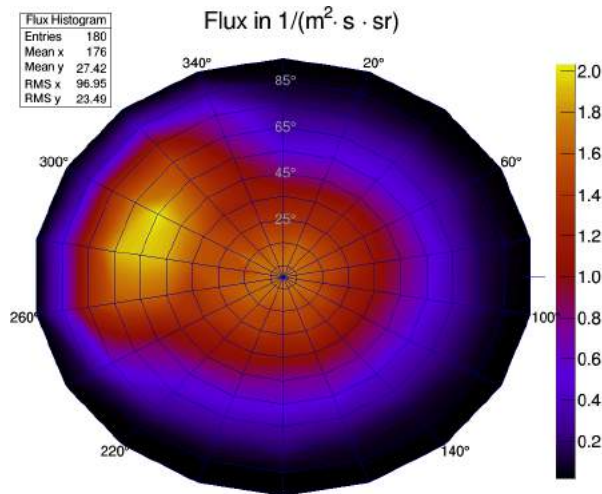


Abbildung 72: Fluss

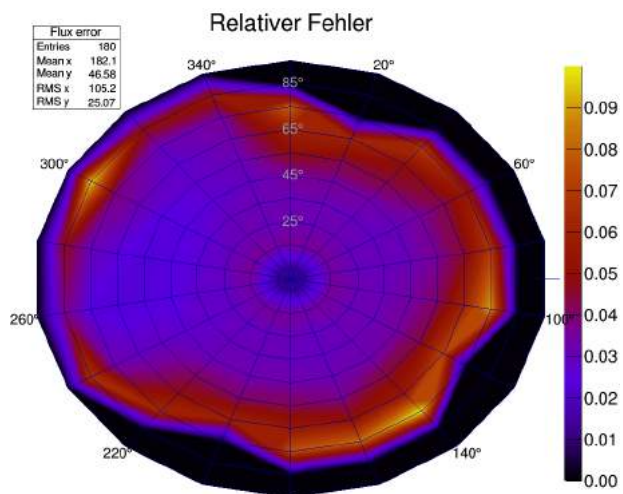


Abbildung 73: relativer Fehler

## B. Ausgewählte Messwerte

### B.2.2. Location 2

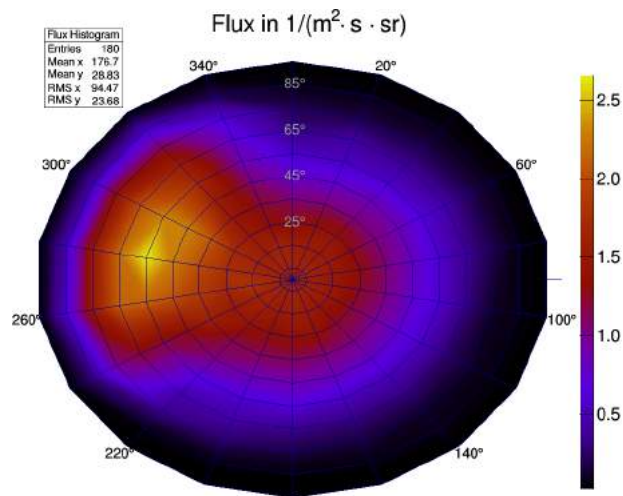


Abbildung 74: Fluss

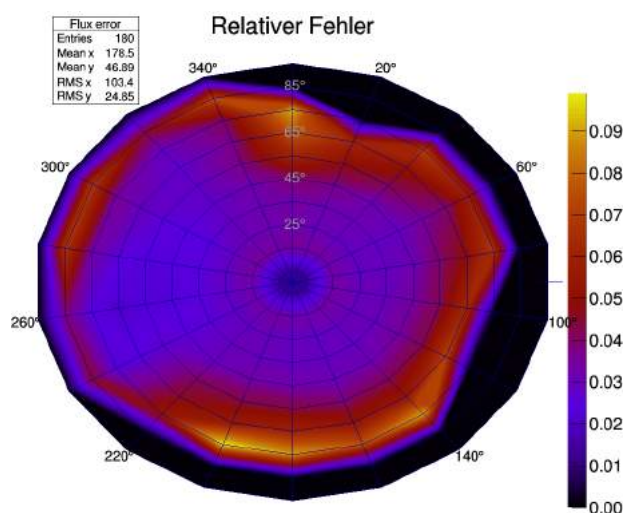


Abbildung 75: relativer Fehler

## B. Ausgewählte Messwerte

### B.2.3. Location 3

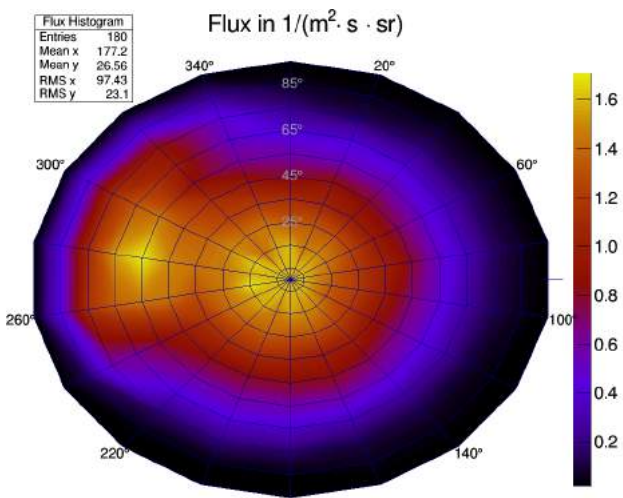


Abbildung 76: Fluss

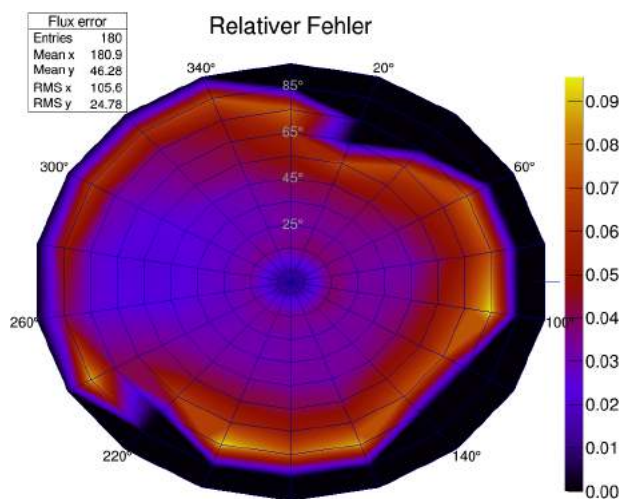


Abbildung 77: relativer Fehler

## B. Ausgewählte Messwerte

### B.2.4. Location 4

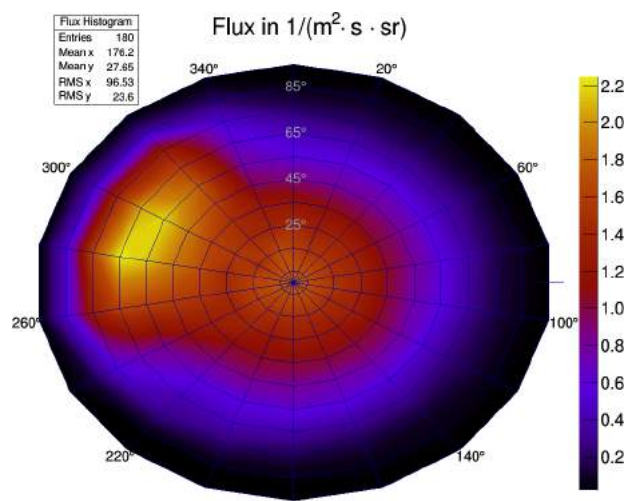


Abbildung 78: Fluss

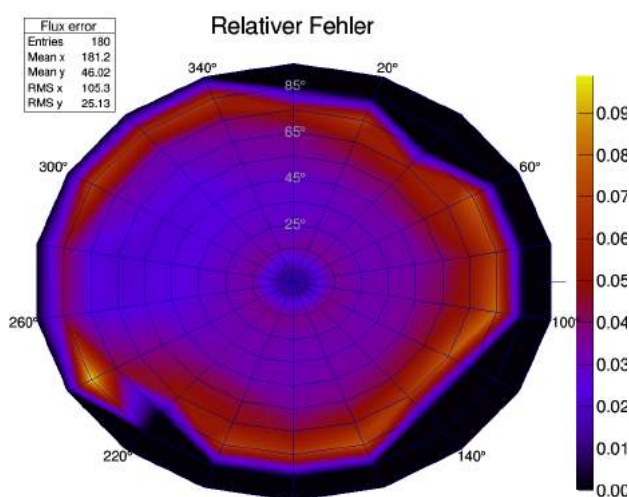


Abbildung 79: relativer Fehler

## B. Ausgewählte Messwerte

### B.2.5. VKTA storage room

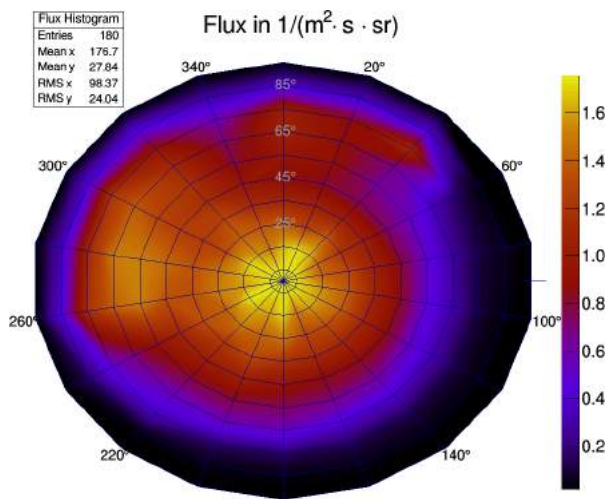


Abbildung 80: Fluss

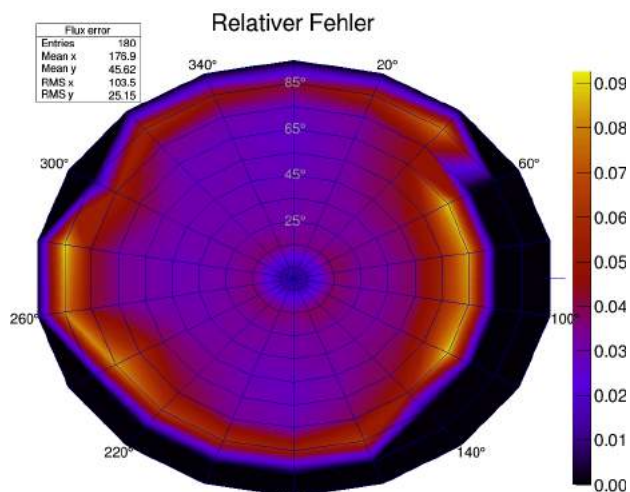


Abbildung 81: relativer Fehler

## B. Ausgewählte Messwerte

### B.2.6. VKTA mk2

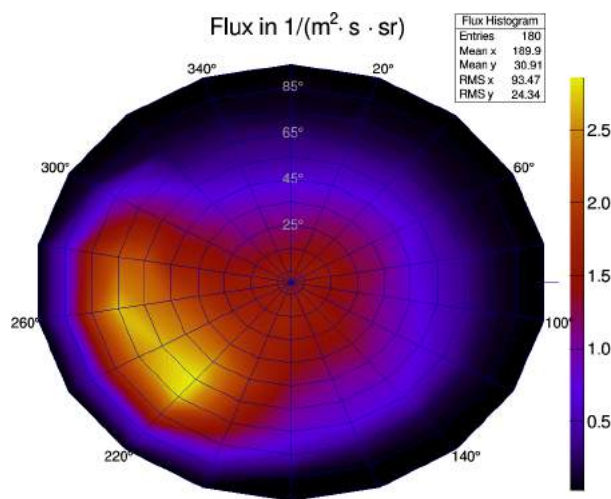


Abbildung 82: Fluss

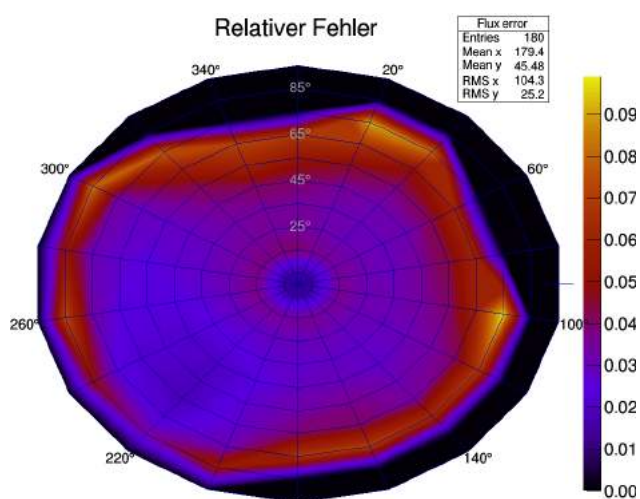


Abbildung 83: relativer Fehler

## B. Ausgewählte Messwerte

### B.2.7. VKTA mk1

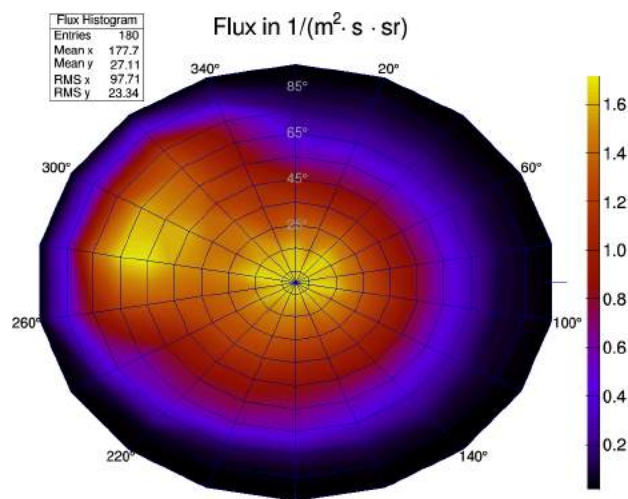


Abbildung 84: Fluss

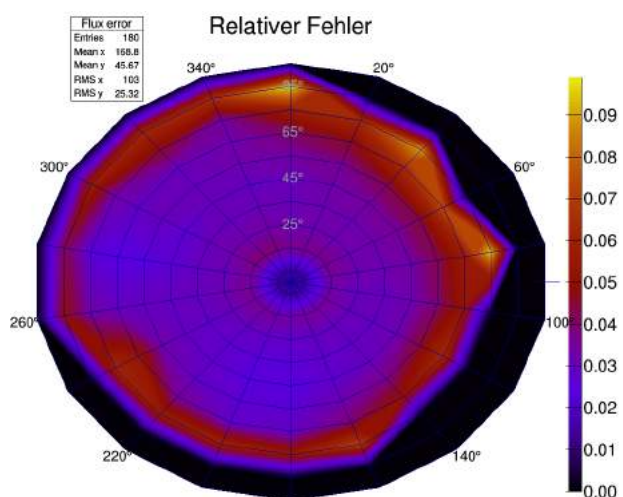


Abbildung 85: relativer Fehler

## B. Ausgewählte Messwerte

### B.2.8. VKTA Werkstatt

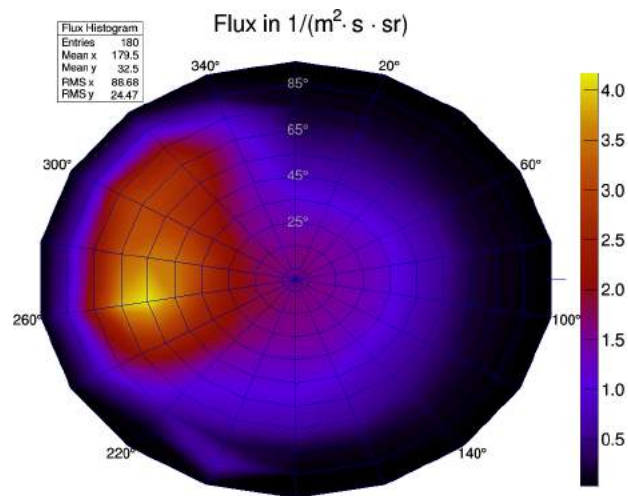


Abbildung 86: Fluss

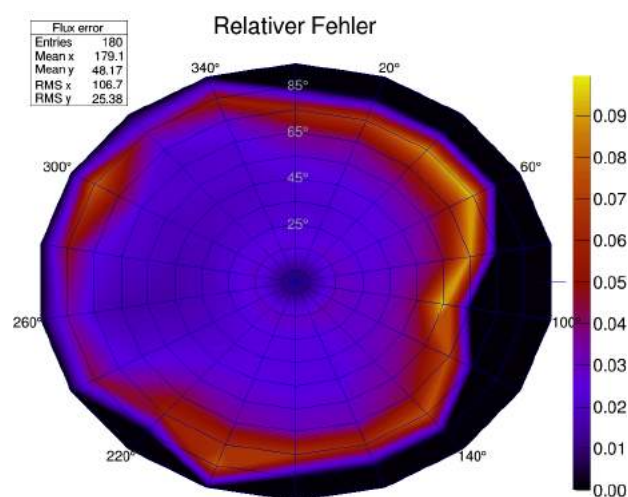


Abbildung 87: relativer Fehler

## B. Ausgewählte Messwerte

### B.2.9. Raum 008/620

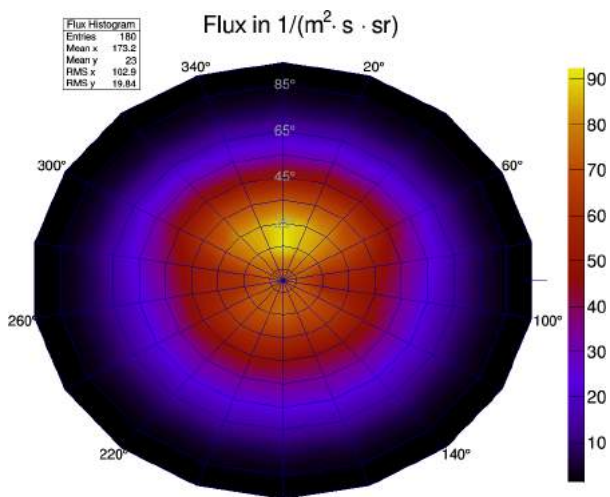


Abbildung 88: Fluss

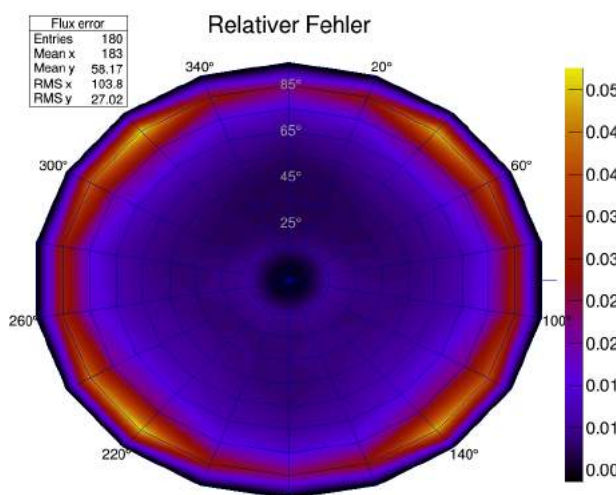


Abbildung 89: relativer Fehler

## B. Ausgewählte Messwerte

### B.2.10. Raum 301/620

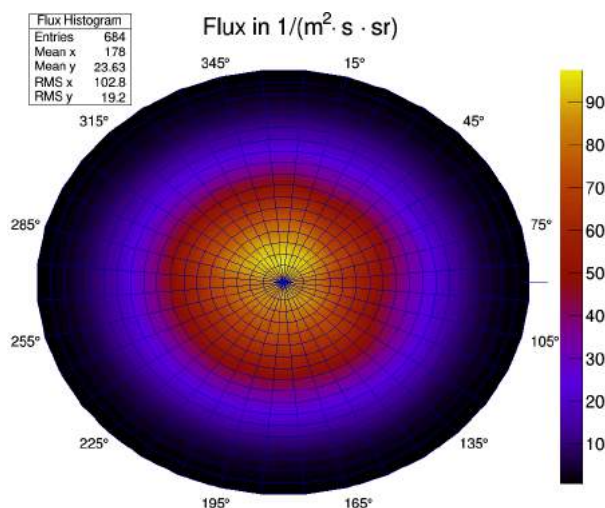


Abbildung 90: Fluss

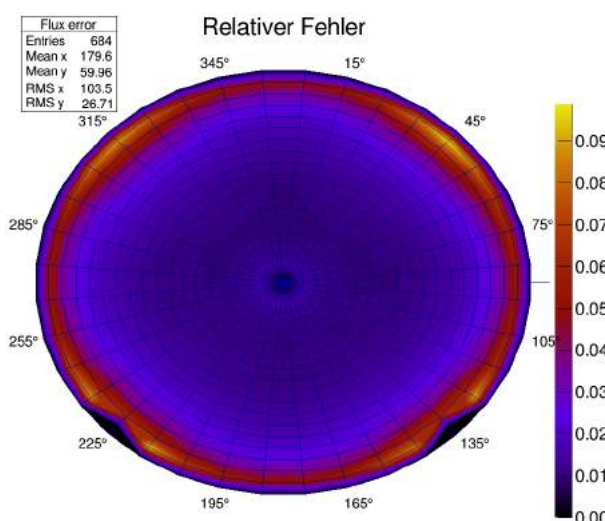


Abbildung 91: relativer Fehler

## C. Quellcode

Im folgenden ist der gesamte Quellcode des Programm zu finden<sup>18</sup>. Es handelt sich um zehn Dateien.

### C.1. mtparameters\_5ch.h

```

1 ///////////////////////////////////////////////////////////////////
2 //Analysis code for the REGARD Mts4 detector//
3 ///////////////////////////////////////////////////////////////////
4
5
6 #ifndef Class_mtparam_5ch_Guard
7 #define Class_mtparam_5ch_Guard
8
9 #include <TMath.h>
10
11 ///////////////////////////////////////////////////////////////////
12 //MT30 - MT39 - MT29 - MT28 - MT27 - MT26 setup//
13 ///////////////////////////////////////////////////////////////////
14
15 enum rotation {X_ROT, Y_ROT, Z_ROT};
16
17
18 const Int_t N_CHAMBERS_MAX = 10;
19 const Double_t PI = TMath::Pi();
20 const Int_t N_CHAMBER = 6; //!<Number of used chambers
21
22 const Int_t N_PAD = 64; //!<Number of pad channels in a chamber
23 //#define N_sw 64
24 const Int_t N_FW = 64; //!<Number of fieldwire channels in a
   chamber
25
26 const Double_t AREA = 0.065536; //!<detector area in m^2
27 const Double_t CHAMBER_DISTANCES[] = {0., 8.75, 17.5, 26.25, 35,
   43.75}; //!<height position of each chamber in channel units (1
   channel = 4mm)
28
29 //Cuts
30 const Int_t START_CUT = 0; //!<number of cut channels at the
   beginning
31 const Int_t END_CUT = 1; //!<number of cut channels at the end + 1
32 const Int_t CLUSTER_SIZE_THRESHOLD = 6; //!<threshold for the size
   of a cluster
33 const Int_t CHI_2_THRESHOLD = 2; //!<maximum chi^2 to be taken as
   a muon track
34
35 #endif

```

---

<sup>18</sup>stand 16.11.2016, mit leichten Anpassungen zur besseren Darstellung

## C.2. coord.h

```
1 #ifndef COORD_H
2 #define COORD_H
3
4 //! Cartesian and polar coordinates:
5 //! <a href="index.html">descripiton of rotations</a>
6 class Coord {
7
8     public:
9         Double_t x;
10        Double_t y;
11        Double_t z;
12        Double_t phi;
13        Double_t theta;
14        void XRotation(Double_t angle);
15        void YRotation(Double_t angle);
16        void ZRotation(Double_t angle);
17        void CalculatePolarCoord();
18        void Rotation(Double_t rotangle1, Int_t rot1, Double_t rotangle2
19                      , Int_t rot2);
20    };
21 #endif
```

### C.3. coord.cpp

```

1 #include "coord.h"
2 #include "mtparameters_5ch.h"
3 //!Rotation of carthesian coordinates around the x axis
4 void Coord::XRotation(Double_t angle)
5 {
6     Double_t rotatedY = cos(angle) * y - sin(angle) * z;
7     Double_t rotatedZ = sin(angle) * y + cos(angle) * z;
8     y = rotatedY;
9     z = rotatedZ;
10 }
11
12 //!Rotation of carthesian coordinates around the y axis
13 void Coord::YRotation(Double_t angle)
14 {
15     Double_t rotatedX = cos(angle) * x + sin(angle) * z;
16     Double_t rotatedZ = -sin(angle) * x + cos(angle) * z;
17     x = rotatedX;
18     z = rotatedZ;
19 }
20
21 //!Rotation of carthesian coordinates around the z axis
22 void Coord::ZRotation(Double_t angle)
23 {
24     Double_t rotatedX = cos(angle) * x - sin(angle) * y;
25     Double_t rotatedY = sin(angle) * x + cos(angle) * y;
26     x = rotatedX;
27     y = rotatedY;
28 }
29
30 //!Combination of rotations
31 */
32     Rotates the slopes from the muontelescope system of the given
33     run to the
34     * system of reference, namely the horizontal telescope
35     orientation
36 */
37 void Coord::Rotation(Double_t rotangle1, Int_t rot1,
38                      Double_t rotangle2, Int_t rot2)
39 {
40     if (rot1 == X_ROT)
41         XRotation(rotangle1);
42     else if (rot1 == Y_ROT)
43         YRotation(rotangle1);
44     else
45         ZRotation(rotangle1);
46
47     if (rot2 == X_ROT)
48         XRotation(rotangle2);
49     else if (rot2 == Y_ROT)
50         YRotation(rotangle2);
51     else
52         ZRotation(rotangle2);
53 }
```

### C. Quellcode

```
52     Double_t rot_m_x = x / z;
53     Double_t rot_m_y = y / z;
54
55     x = rot_m_x;
56     y = rot_m_y;
57     z = 1.;
58 }
59
60 //! Converts slope coordinates to polar ones
61 void Coord::CalculatePolarCoord()
62 {
63     //calculate polar Coordinates phi and theta from slopes
64     //phi not defined for theta = 0
65     if (x == 0 && y == 0) {
66         phi = 45.;
67         theta = 0.01;
68     }
69     else {
70         //put muon tracks, which look like they come from underground
71         //to the other side
72         if (y < 0)
73             phi = 360. - 180. / PI * acos(x / sqrt(x * x + y * y));
74         //phi and theta calculation
75         //note: mPad = cos(phi) tan(theta) and mFw = sin(phi) tan(
76         //theta)
76         else phi = acos(x / sqrt(x * x + y * y)) * 180. / PI;
77         theta = atan(sqrt(x * x + y * y)) * 180. / PI;
78     }
79 }
```

#### C.4. line.h

```
1 #ifndef LINE_H
2 #define LINE_H
3
4 #include "TROOT.h"
5
6 #include "mtparameters_5ch.h"
7
8 class Chamber;
9
10 class Line {
11
12 public:
13     Double_t m; //!<slope of the linear function
14     Double_t b; //!<intercept of the linear function
15     Double_t chi2; //!<chi^2 of the linear function
16     Double_t TrackPoints[N_CHAMBER]; //!<channel coordinate
17     Bool_t isInside; //!<line completely in detector volume
18
19     Line();
20     void Tracking(Chamber** chamber);
21     Int_t Track5pts(Chamber** chamber, Int_t currentChamber, Int_t
22                     nChannel);
22     void LinearFit(const Double_t* Xpoints, Int_t N_points);
23 };
24
25 #endif
```

### C.5. line.cpp

```

1 #include "line.h"
2
3 #include <iostream>
4 #include "mtparameters_5ch.h"
5
6 //using namespace std;
7
8 Line::Line()
9 {
10     chi2 = 999.;
11 }
12
13
14 //!Linear fit for a given number of points
15 /**
16     Calculates the slope, intercept and chi^2 of a linear function
17     for a given number of points.
18 */
19 void Line::LinearFit(const Double_t* xPoints/*!Detector height
20                     coordinate for muon track*/, Int_t nPoints/*!Number of Points,
21                     which are used for the fit*/)
22 {
23     Double_t sum_x = 0, sum_y = 0, sum_xx = 0, sum_xy = 0;
24     for (Int_t i = 0; i < nPoints; i++) {
25         //cerr << xPoints[i] << " " << TrackPoints[i] << endl;
26         sum_x += xPoints[i];
27         sum_y += TrackPoints[i];
28         sum_xx += xPoints[i] * xPoints[i];
29         sum_xy += xPoints[i] * TrackPoints[i];
30     }
31
32     if (sum_x * sum_x - N_CHAMBER * sum_xx != 0) {
33         m = (sum_x * sum_y - nPoints * sum_xy) /
34             (sum_x * sum_x - nPoints * sum_xx);
35         b = (sum_xy * sum_x - sum_xx * sum_y) / (sum_x * sum_x -
36             nPoints * sum_xx);
37         chi2 = 0;
38         for (Int_t i = 0; i < nPoints; i++) {
39             chi2 += pow(TrackPoints[i]-(m * xPoints[i] + b), 2.0);
40         }
41         chi2 /= (nPoints - 2);
42     }
43 }
44
45 //!Extracts the muon tracks from the cluster data
46 /**
47     Goes through all possible cluster combinations, fits them and
48     saves the muon tracks if the chi^2 criteria is met
49 */
50 void Line::Tracking(Chamber** chamber)
51 {

```

```

49 Int_t missingChamber = -1;
50 chamber[0]->n Fired Chamber = 0;
51 for (Int_t i = 0; i < N_CHAMBER; i++) {
52     //calculate number of fired channels
53     if (chamber[i]->n Cluster > 0)
54         chamber[0]->n Fired Chamber++;
55     else
56         missingChamber = i;
57 }
58
59 //cerr << endl;
60 //Tracks with 6 points
61 if (chamber[0]->n Fired Chamber == N_CHAMBER) {
62     Int_t cl[N_CHAMBER] = {0};
63     //loop through all cluster combinations
64     for (cl[0] = 0; cl[0] < chamber[0]->n Cluster; cl[0]++) {
65         for (cl[1] = 0; cl[1] < chamber[1]->n Cluster; cl[1]++) {
66             for (cl[2] = 0; cl[2] < chamber[2]->n Cluster; cl[2]++) {
67                 for (cl[3] = 0; cl[3] < chamber[3]->n Cluster; cl[3]++) {
68                     for (cl[4] = 0; cl[4] < chamber[4]->n Cluster; cl[4]++) {
69                         for (cl[5] = 0; cl[5] < chamber[5]->n Cluster; cl[5]++) {
70                             Line* candidate = new Line();
71                             //check if track candidate fits chi2-criterium
72                             for (Int_t i = 0; i < N_CHAMBER; i++) {
73                                 candidate->TrackPoints[i] = chamber[i]->globalCoord[cl[i]];
74                             }
75                             candidate->LinearFit(CHAMBER_DISTANCES, N_CHAMBER);
76                             if (candidate->chi2 < chi2) {
77                                 //pass fit parameters and trackpoints of candidate to line
78                                 m = candidate->m;
79                                 b = candidate->b;
80                                 chi2 = candidate->chi2;
81                                 for (Int_t i = 0; i < N_CHAMBER; i++) {
82                                     TrackPoints[i] = candidate->TrackPoints[i];
83                                     //cerr << i << " " << candidate->TrackPoints[i] << " "
84                                     << CHAMBER_DISTANCES[i] << endl;
85                                 }
86                                 delete candidate;
87                             } else delete candidate;
88                         }
89                     }
90                 }
91             }
92         }
93     }
94 }
95
96 //Tracks with 5 points
97 if (chamber[0]->n Fired Chamber == N_CHAMBER - 1) {
98     Int_t n Cluster[N_CHAMBER-1] = {0};
99     Int_t cl[N_CHAMBER] = {0};
100    Double_t z[N_CHAMBER-1] = {0};
101    Int_t l = 0;

```

```

102     //without current chamber
103     for (Int_t k = 0; k < N_CHAMBER; k++) {
104         if (k != missingChamber) {
105             nCluster[1] = chamber[k]->nCluster;
106             l++;
107         }
108     }
109     for (cl[0] = 0; cl[0] < nCluster[0]; cl[0]++) {
110         for (cl[1] = 0; cl[1] < nCluster[1]; cl[1]++) {
111             for (cl[2] = 0; cl[2] < nCluster[2]; cl[2]++) {
112                 for (cl[3] = 0; cl[3] < nCluster[3]; cl[3]++) {
113                     for (cl[4] = 0; cl[4] < nCluster[4]; cl[4]++) {
114                         Line* candidate = new Line();
115                         //fit track with 5 points
116                         Int_t j = 0;
117                         for (Int_t i = 0; i < N_CHAMBER; i++) {
118                             if (missingChamber != i) {
119                                 candidate->TrackPoints[j] = chamber[i]->globalCoord[cl[i]
120                                     ];
121                                 z[j] = CHAMBER_DISTANCES[i];
122                                 //cerr << z[j] << endl;
123                                 j++;
124                             }
125                         candidate->LinearFit(z, N_CHAMBER - 1);
126                         if (candidate->chi2 < chi2) {
127                             Double_t fitCoord = candidate->m * CHAMBER_DISTANCES[
128                                 missingChamber] + candidate->b - chamber[missingChamber
129                                     ]->alignmentCoord;
130                             //check if this fitted coordinate is inside the detector
131                             //volume
132                             isInside = fitCoord >= START_CUT && fitCoord <= chamber
133                                 [0]->nChannel - END_CUT;
134                             if (!isInside) {
135                                 candidate->m = 1000;
136                                 candidate->chi2 = 1000;
137                             }
138                             //pass fit parameters and trackpoints of candidate to line
139                             m = candidate->m;
140                             b = candidate->b;
141                             chi2 = candidate->chi2;
142                             for (Int_t i = 0; i < N_CHAMBER - 1; i++) {
143                                 TrackPoints[i] = candidate->TrackPoints[i];
144                             }
145                             delete candidate;
146                         }
147                         else delete candidate;
148                     }
149                 }
150             return;
151 }

```

```

152
153
154
155
156 //!Extracts the muon tracks from the cluster data excluding the
   current Chamber
157 /*!
158   Goes through all possible cluster combinations in the chambers
       excluding the current one and
159   * fits them. If the chi^2 criteria is met, it is checked, if
       there is a hit in the channeldata
160   * on the position the fit indicates. This step is necessary for
       the efficiency calculation.
161   * returns 1 for a triggered hit, 0 for a not triggered hit and
       -1, if no track was found.
162 */
163 Int_t Line::Track5pts(Chamber** chamber, Int_t currentChamber,
   Int_t nChannel)
164 {
165   //5 fired chambers for efficiency calculation
166   if (chamber[0]->nFiredChamber < N_CHAMBER - 1)
167     return -1;
168   Int_t nCluster[N_CHAMBER-1] = {0};
169   Int_t cl[N_CHAMBER] = {0};
170   Double_t z[N_CHAMBER-1] = {0};
171   Int_t l = 0;
172   //without current chamber
173   for (Int_t k = 0; k < N_CHAMBER; k++) {
174     if (k != currentChamber) {
175       nCluster[l] = chamber[k]->nCluster;
176       l++;
177     }
178   }
179   //loop through all chambers but current one
180   for (cl[0] = 0; cl[0] < nCluster[0]; cl[0]++) {
181     for (cl[1] = 0; cl[1] < nCluster[1]; cl[1]++) {
182       for (cl[2] = 0; cl[2] < nCluster[2]; cl[2]++) {
183         for (cl[3] = 0; cl[3] < nCluster[3]; cl[3]++) {
184           for (cl[4] = 0; cl[4] < nCluster[4]; cl[4]++) {
185             Line* candidate = new Line();
186               //fit track with 5 points
187               Int_t j = 0;
188               for (Int_t i = 0; i < N_CHAMBER; i++) {
189                 if (currentChamber != i) {
190                   candidate->TrackPoints[j] = chamber[i]->globalCoord[cl[i]
191                               ];
192                   z[j] = CHAMBER_DISTANCES[i];
193                   j++;
194                 }
195                 candidate->LinearFit(z, N_CHAMBER - 1);
196                 if (candidate->chi2 < chi2) {
197                   //pass fit parameters and trackpoints of candidate to
                     line
198                   m = candidate->m;

```

```

199         b = candidate->b;
200         chi2 = candidate->chi2;
201         for(Int_t i = 0; i < N_CHAMBER - 1; i++){
202             TrackPoints[i] = candidate->TrackPoints[i];
203         }
204         delete candidate;
205     }
206     else delete candidate;
207 }
208 }
209 }
210 }
211 }
212 //return -1 for no track found
213 if (chi2 > CHI_2_THRESHOLD)
214     return -1;
215
216 //calculate, where the muon would have hit in current chamber
217 Double_t fitCoord = m * CHAMBER_DISTANCES[currentChamber] + b
218                 - chamber[currentChamber]->alignmentCoord;
219 //check if this fitted coordinate is inside the detector volume
220 isInside = fitCoord >= START_CUT && fitCoord <= nChannel -
221             END_CUT;
222 if (!isInside)
223     return -1;
224
225 Bool_t isFired = 0;
226 //check if one of the channels around the calculated channel was
227 //hit
228 if ((Int_t) fitCoord < nChannel - 2 && fitCoord > 1) {
229     if (chamber[currentChamber]->channel[(Int_t) (fitCoord)] == 1
230         ||
231         chamber[currentChamber]->channel[(Int_t) (fitCoord) + 1]
232             == 1 ||
233         chamber[currentChamber]->channel[(Int_t) (fitCoord) - 1]
234             == 1 ||
235         chamber[currentChamber]->channel[(Int_t) (fitCoord) + 2]
236             == 1 ||
237         chamber[currentChamber]->channel[(Int_t) (fitCoord) - 2]
238             == 1) {
239         isFired = 1;
240     }
241 }
242 //if it's an outer channel
243 if ((Int_t) fitCoord == nChannel - 2) {
244     if (chamber[currentChamber]->channel[(Int_t) (fitCoord)] == 1
245         ||
246         chamber[currentChamber]->channel[(Int_t) (fitCoord) + 1]
247             == 1 ||
248         chamber[currentChamber]->channel[(Int_t) (fitCoord) - 1]
249             == 1 ||
250         chamber[currentChamber]->channel[(Int_t) (fitCoord) - 2]
251             == 1){
252         isFired = 1;

```

```

242     }
243 }
244 if ((Int_t) fitCoord == nChannel - 1) {
245     if (chamber[currentChamber]->channel[(Int_t) (fitCoord)] == 1
246         ||
247         chamber[currentChamber]->channel[(Int_t) (fitCoord) - 1]
248             == 1 ||
249             chamber[currentChamber]->channel[(Int_t) (fitCoord) - 2]
250                 == 1){
251                 isFired = 1;
252             }
253     }
254     if ((Int_t) fitCoord == 0) {
255         if (chamber[currentChamber]->channel[(Int_t) (fitCoord)] == 1
256             ||
257             chamber[currentChamber]->channel[(Int_t) (fitCoord) + 1]
258                 == 1 ||
259                 chamber[currentChamber]->channel[(Int_t) (fitCoord) + 2]
260                     == 1) {
261                     isFired = 1;
262                 }
263             }
264         }
265     }
266 //return 1, if the channel in current chamber was fired
267 if (isFired == 1)
268     return 1;
269 else
270     return 0;
271 }

```

### C.6. chamber.h

```

1 #ifndef CHAMBER_H
2 #define CHAMBER_H
3
4 #include "TROOT.h"
5 #include "line.h"
6
7 //!all channels in one direction per detector layer
8 class Chamber {
9
10 public:
11     Bool_t channel[N_PAD];           //!<<channels of the chamber fired or
12     not
12 //Double_t z_coordinate; //used?
13     Double_t clusterCoord[N_PAD/2];  //!<<middle of a cluster (but
14     statistically smoothed)
14     Double_t globalCoord[N_PAD/2];   //!<<clusterCoordinate with
15     alignment
15     Int_t nCluster;                //!<<number of Clusters for the chamber
16     Int_t clusterSize[N_PAD/2];     //!<<number of successive fired
16     channels
17     Double_t alignmentCoord;       //!<<displacement of the Chamber
18     Double_t SmoothProbability[8];
19     Double_t SmoothSumProbability[8];
20     Int_t nFiredChamber;          //!<<number of fired Chambers, saved in
20     pad[0] and fw[0]
21     Int_t nChannel;              //!<<number of channels in the chamber
22 //Int_t missingChamber;
23 //Bool_t TriggerPattern;
24     TH1D* HistSmooth;            //!<<Histogram needed for smoothing
25     TH1D* HistAlignment;         //!<<Histogram for determining
25     alignment coordinate
26     TH1D* HistAligned;           //!<<Histogram for plotting effect of
26     alignment
27
28     Line* Best5Pts;             //!<<Line with 5 points and chi2 <
28     CHI_2_THRESHOLD
29     Line* Best5PtsTrigger;      //!<<Line with 5 points and channel
29     on position of fit or adjacent channels in the 6th chamber
29     are fired
30     Int_t functionValue;        //!<<value for calculation of
30     efficiency, -1 -> no track; 0 -> track, but not triggered in
30     current chamber; 1 -> track and triggered in 6th chamber
31     Chamber(Int_t N, Int_t i);
32     ~Chamber();
33     void FindCluster();
34     void Smooth(Line* line, Int_t i);
35     void Align(Line* line, Int_t i, TH1D* hist);
36 };
37
38 #endif

```

### C.7. chamber.cpp

```

1 #include "TH1.h"
2
3 #include <iostream>
4
5 #include "mtparameters_5ch.h"
6
7 #include "chamber.h"
8
9 //! Constructor
10 /*!
11  * creates Histograms necessary for preanalysis(HistSmooth,
12  * HistAlignment) and result plots (HistAligned), and initializes
13  * smoothing variables and lines
14 */
15 Chamber::Chamber(Int_t N /*! number of channels*/, Int_t i /*!
16  * chamber number*/)
17 {
18     nFiredChamber = 0;
19     alignmentCoord = 0;
20     nChannel = N;
21     HistSmooth = new TH1D(Form("a%d", i), "Smooth", 8, 0, 4);
22     HistAlignment = new TH1D(Form("b%d", i), "AlignmentHist", 15 * N
23     , -N, N);
24     HistAligned = new TH1D(Form("c%d", i), "AlignedHist", 15 * N, -N
25     , N);
26     Best5Pts = new Line();
27     Best5PtsTrigger = new Line();
28     for(Int_t j = 0; j < 8; j++){
29         SmoothSumProbability[j] = 0.125 * j;
30         SmoothProbability[j] = 0.125;
31     }
32 }
33 Chamber::~Chamber()
34 {
35     delete HistSmooth;
36     delete HistAlignment;
37     delete Best5Pts;
38     delete Best5PtsTrigger;
39 }
40
41 //!Finding Clusters in the raw data
42 /*!
43  * Search raw data for successive fired channels and unite them to
44  * a cluster
45  * found clusters have to be smaller than CLUSTER_SIZE_THRESHOLD
46 */
47 void Chamber::FindCluster()

```

```

48 {
49   nCluster = 0;
50   for (Int_t i = 0; i < nChannel / 2; i++) {
51     clusterSize[i] = 0;
52   }
53   for (Int_t j = 0; j < 64; j++) {
54     if (channel[j] == 1)
55       clusterSize[nCluster]++;
56     Bool_t isEndOfCluster = false;
57     Bool_t isLastChannelHit = false;
58     if (channel[j] == 0 && (j != 0 && channel[j-1] == 1))
59       isEndOfCluster = true;
60     if (j == 63 && channel[j]==1)
61       isLastChannelHit = true;
62     if (isEndOfCluster || isLastChannelHit) {
63       if (clusterSize[nCluster] >= CLUSTER_SIZE_THRESHOLD)
64         clusterSize[nCluster] = 0;
65     else {
66       clusterCoord[nCluster] = 0.5 + 0.5 * (2.0 * (j - 1)
67                                         - clusterSize[nCluster]);
68       Int_t temp = (Int_t) (clusterCoord[nCluster] / 4.0);
69       Int_t k = (clusterCoord[nCluster] - 4 * temp) * 2.0;
70       clusterCoord[nCluster]= (temp + SmoothSumProbability[k]
71                               + SmoothProbability[k] *
72                               rand() / RAND_MAX) * 4.0;
73       globalCoord[nCluster] = clusterCoord[nCluster] +
74         alignmentCoord;
75       nCluster++;
76     }
77   }
78 }
79
80
81 //!Function preparing Smoothing
82 /*!
83 Due to different amplification of the channels caused by the
84   electronics there is a
85 4-channel-periodicity in the channel hitmaps, which is taken
86   care of by the Smoothing procedure.
87 The necessary Probabilities are calculated from the histogram
88   filled by this function.
89 */
90 void Chamber::Smooth(Line* line/*! line used for smoothing */,
91   Int_t i/*! number of Chamber */)
92 {
93   if (line->TrackPoints[i] >= 16 && line->TrackPoints[i] < 32) {
94     Double_t C = line->TrackPoints[i] -
95                 (Int_t) (line->TrackPoints[i] / 4.0) * 4.0;
96     HistSmooth->Fill(C);
97   }
98 }
99
100 //!Calculate Alignment
101 /*!

```

```
98     Correction for small tilts of the chambers. Takes the
99         difference between TrackPoints and Fit and fills them into a
100        histogram.
101    The average of the histogram is later used to correct eventual
102        deviations from the perfect chamber position.
103    */
104 void Chamber::Align(Line* line/*! line used for Align */, Int_t i
105 /*! number of Chamber */, TH1D* hist/*! Histogramm putting in
106 */)
107 {
108     Double_t dx = line->TrackPoints[i] - line->m * CHAMBER_DISTANCES
109     [i] - line->b;
110     hist->Fill(dx);
111 }
```

### C.8. analysis.cpp

```

1 #include "TTree.h"
2 #include "TFile.h"
3 #include "TH1.h"
4 #include "TH2.h"
5 #include "TCanvas.h"
6 #include "TStyle.h"
7 #include "TColor.h"
8 #include "TLegend.h"
9 #include "TGraphAsymmErrors.h"
10 #include "TPaveLabel.h"
11
12 #include <iostream>
13 #include <time.h>
14
15 #include "mtparameters_5ch.h"
16
17 #include "line.h"
18 #include "chamber.h"
19
20 //only for aclic not needed for building later on
21 #include "line.cpp"
22 #include "chamber.cpp"
23
24 using namespace std;
25 using std::ofstream;
26
27
28 void analysis(Int_t runNumber/*! Number of the run, which is
   analyzed */,
29               Int_t nTimeBins/*! number of timebins */,
30               Int_t chamberNumbers[]/*!production # of chamber*/)
31 {
32   //initialize random number generator
33   srand (time(NULL));
34   //srand(0);
35   Int_t returnCode;
36   ///////////////////////////////////////////////////////////////////
37   TH2D* Hitmap = new TH2D(Form("Hitmap_Run%d", runNumber), "
      Hitmap",
38                           45, -1.5, 1.5, 45, -1.5, 1.5);
39   TH1I* PadChannelHits[N_CHAMBER];
40   TH1I* FwChannelHits[N_CHAMBER];
41   //Initialize
42   for (Int_t i = 0; i < N_CHAMBER; i++) {
43     PadChannelHits[i] = new TH1I(Form("Pad_Run%d_Chamber%d",
        runNumber, i),
44                               "PadChannelHits", N_PAD, 0, N_PAD
45                               -1);
46     FwChannelHits[i] = new TH1I(Form("Fw_Run%d_Chamber%d",
        runNumber, i),
47                               "FwChannelHits", N_FW, 0, N_FW-1);
48 }
```

```

49 Chamber* Pads[N_CHAMBER]; //pad direction
50 Chamber* Fws[N_CHAMBER]; //fieldwire direction
51
52 for (Int_t i = 0; i < N_CHAMBER; i++) {
53     Pads[i] = new Chamber(N_PAD, i);
54     Fws[i] = new Chamber(N_FW, i);
55 }
56
57 ///////////////////////////////////////////////////////////////////
58 //Read in data
59 ///////////////////////////////////////////////////////////////////
60
61 //open raw data file
62 FILE* DataFile;
63 ostringstream rn;
64 rn << runNumber;
65 string run_number = rn.str();
66 string inputFile = "Measurements/Mts4Run";
67 inputFile.append(run_number);
68 inputFile.append(".ebe");
69
70 DataFile = fopen(inputFile.c_str(), "r");
71 if (DataFile == 0) {
72     cout << "file:" << inputFile << " couldn't be opened" << endl
73         ;
74     return;
75 }
76 else
77     cout << "file:" << inputFile << " was opened" << endl;
78
79 //readInTree
80 Bool_t channel[N_CHAMBER][N_FW + N_PAD] = {0};
81 UInt_t event;
82 Double_t eventTime = 0;
83 string pdfout = "Results/Mts4Run";
84 pdfout.append(run_number);
85 pdfout.append(".pdf");
86 string rootout = "Results/Mts4Run";
87 rootout.append(run_number);
88 rootout.append(".root");
89 TFile* RootFile = new TFile(rootout.c_str(), "RECREATE");
90 TTree* ReadInTree = new TTree("ReadInTree", "ReadInTree");
91 ReadInTree->Branch("event", &event, "event/i");
92 ReadInTree->Branch("channel", channel, "channel[6][128]/0");
93 ReadInTree->Branch("eventTime", &eventTime, "eventTime/D");
94
95 //raw data columns: #entry, time to last event, 6 times (#fired
96 // channels and
97 //           # of hit channels), busy, triggerOK and
98 // trigger pattern
99 Double_t time = 0;
100 long unsigned int entry;
101 long unsigned int dt;
102 int nFired = 0;
103 int firedChannel;

```

```

101 Int_t busy;
102 Int_t triggerOK;
103 Int_t triggerPat;
104
105 while (!feof(DataFile)) {
106     returnCode = fscanf(DataFile, "%ld", &entry);
107     event = (UInt_t) entry;
108     returnCode = fscanf(DataFile, "%ld", &dt);
109     time += (dt - 100.0) / pow(10, 6); //seconds
110     eventTime = time;
111     if (event % 10000 == 0 && event > 0)
112         cout << event / 1000 << "k_events_were_read_in!" << endl;
113     for (Int_t j = 0; j < N_CHAMBER; j++) {
114         returnCode = fscanf(DataFile, "%d", &nFired);
115         for (Int_t i = 0; i < nFired; i++) {
116             returnCode = fscanf(DataFile, "%d", &firedChannel);
117             channel[j][firedChannel] = 1;
118         }
119     }
120     returnCode = fscanf(DataFile, "%d", &busy);
121     returnCode = fscanf(DataFile, "%d", &triggerOK);
122     returnCode = fscanf(DataFile, "%d", &triggerPat);
123     ReadInTree->Fill();
124     for (Int_t j = 0; j < N_CHAMBER; j++)
125         for (Int_t i = 0; i < N_FW + N_PAD; i++)
126             channel[j][i] = 0;
127 }
128 //write event#, time and channel array to root tree
129 ReadInTree->Write();
130 Long64_t nEntries = ReadInTree->GetEntries();
131
132 /////////////////////////////////
133 //Preanalysis to determine alignment and smoothing
134 ///////////////////////////////
135
136 Int_t nPreTracks = 0;
137 Int_t preEvent = 0;
138 while (nPreTracks < 2000 && preEvent <= nEntries) {
139     if (preEvent % 10000 == 0 && preEvent > 0)
140         cout << preEvent / 1000 << "k_events_were_analyzed!" << endl
141         ;
142     ReadInTree->GetEntry(preEvent);
143     //initialize channels for each chamber
144     for (Int_t i = 0; i < N_CHAMBER; i++) {
145         for (Int_t j = 0; j < N_FW; j++)
146             Fws[i]->channel[j] = channel[i][j];
147         for (Int_t j = 0; j < N_PAD; j++)
148             Pads[i]->channel[j] = channel[i][j+N_FW];
149         Pads[i]->FindCluster();
150         Fws[i]->FindCluster();
151     }
152     preEvent++;
153     //get tracks from cluster data
154     Line* BestPad = new Line();
155     Line* BestFw = new Line();

```

```

155     BestPad->Tracking(Pads);
156     BestFw->Tracking(Fws);
157     //only take tracks with 6 points and good chi^2 for pre
158     //analysis
158     Bool_t isGoodChi2 = BestPad->chi2 <= CHI_2_THRESHOLD &&
159                     BestFw->chi2 <= CHI_2_THRESHOLD;
160     Bool_t areAllChambersFired = Pads[0]->n Fired Chamber == 6 &&
161                     Fws[0]->n Fired Chamber == 6;
162     if (!(isGoodChi2 && areAllChambersFired)) {
163         continue; // ->bad events
164     }
165     //fill good events into histogram
166     for (Int_t i = 0; i < N_CHAMBER; i++) {
167         Pads[i]->Smooth(BestPad, i);
168         Pads[i]->Align(BestPad, i, Pads[i]->HistAlignment);
169         Fws[i]->Smooth(BestFw, i);
170         Fws[i]->Align(BestFw, i, Fws[i]->HistAlignment);
171     }
172     nPreTracks++;
173     delete BestPad;
174     delete BestFw;
175 }
176
177 //Set alignmentCoordinate and smoothing probabilities
178 for (Int_t i = 0; i < N_CHAMBER; i++) {
179     Pads[i]->alignmentCoord = Pads[i]->HistAlignment->GetMean();
180     Fws[i]->alignmentCoord = Fws[i]->HistAlignment->GetMean();
181     //cerr << Pads[i]->alignmentCoord << " " << Fws[i]->
181     alignmentCoord << endl;
182
183     for (Int_t j = 0; j < 8; j++) {
184         Pads[i]->SmoothProbability[j] = Pads[i]->HistSmooth->
185             GetBinContent(j+1)
185             / Pads[i]->HistSmooth->
185             GetEntries();
186         Fws[i]->SmoothProbability[j] = Fws[i]->HistSmooth->
186             GetBinContent(j+1)
187             / Fws[i]->HistSmooth->
187             GetEntries();
188
189         if (j > 0) {
190             Pads[i]->SmoothSumProbability[j] = Pads[i]->
190             SmoothSumProbability[j-1]
191             + Pads[i]->
191             SmoothProbability[j
191             -1];
192             Fws[i]->SmoothSumProbability[j] = Fws[i]->
192             SmoothSumProbability[j-1]
193             + Fws[i]->
193             SmoothProbability[j
193             -1];
194         }
195     else {
196         Pads[i]->SmoothSumProbability[j] = 0;
197         Fws[i]->SmoothSumProbability[j] = 0;

```

```

198         }
199     }
200 }
201 cout << "end_of_prealalysis" << endl;
202
203 //variables for result root tree
204 Double_t mPad;
205 Double_t mFw;
206 Double_t mPadEffTrack[N_CHAMBER];
207 Double_t mFwEffTrack[N_CHAMBER];
208 Double_t mPadEffTrigger[N_CHAMBER];
209 Double_t mFwEffTrigger[N_CHAMBER];
210
211 UInt_t actualEvent = 0;
212
213 TTree* ResultsTree = new TTree("resultsTree","resultsTree");
214 ResultsTree->Branch("actualEvent", &actualEvent, "actualEvent/i"
215 );
215 ResultsTree->Branch("mPad", &mPad, "mPad/D");
216 ResultsTree->Branch("mFw", &mFw, "mFw/D");
217 ResultsTree->Branch("mPadEffTrack", &mPadEffTrack, "mPadEffTrack
218 [6]/D");
218 ResultsTree->Branch("mFwEffTrack", &mFwEffTrack, "mFwEffTrack
219 [6]/D");
219 ResultsTree->Branch("mPadEffTrigger", &mPadEffTrigger, "
220 mPadEffTrigger[6]/D");
220 ResultsTree->Branch("mFwEffTrigger", &mFwEffTrigger, "
221 mFwEffTrigger[6]/D");
222
222 //histograms for plots (helpful to see, if everything worked
223 //alright)
223 TH1D* EventRate = new TH1D("Events_vs_time", "Events_vs_time",
224 nTimeBins, 0, time / 60.);
225 TH1D* GoodEventRate = new TH1D("Good_events_vs_time", "Good_
226 events_vs_time",
227 nTimeBins, 0, time / 60.);
227 //efficiency histograms
228 TEfficiency* Efficiency[N_CHAMBER];
229
230 for (Int_t i = 0; i < N_CHAMBER; i++) {
231   Efficiency[i] = new TEfficiency(Form("Efficiency/time%d%d",
232 runNumber, i),
233                                     Form("MT%d;Time[min]",
234                                         chamberNumbers[i]),
235                                     nTimeBins, 0, time/60.);
234 }
235
236 ofstream TempFile("output");
237
238 /////////////////
239 //Main analysis
240 /////////////////
241
242 while (actualEvent < nEntries - 1) {
243   Bool_t isImportant = false; //event useful for analysis (5+

```

```

        trackpoints)
244    Bool_t isTriggered = false;
245    mPad = 1000;
246    mFw = 1000;
247    for (Int_t i = 0; i < N_CHAMBER; i++) {
248        mPadEffTrack[i] = 1000;
249        mFwEffTrack[i] = 1000;
250        mPadEffTrigger[i] = 1000;
251        mFwEffTrigger[i] = 1000;
252    }
253    if (actualEvent % 10000 == 0 && actualEvent > 0)
254        cout << actualEvent/1000 << "k_events_analyzed!" << endl;
255
256    //same procedure as in preanalysis
257    ReadInTree->GetEntry(actualEvent);
258    for (Int_t i = 0; i < N_CHAMBER; i++) {
259        for (Int_t j = 0; j < N_FW; j++) {
260            Fws[i]->channel[j] = channel[i][j];
261            if (Fws[i]->channel[j] == 1)
262                FwChannelHits[i]->Fill(j);
263        }
264        for (Int_t j = 0; j < N_PAD; j++) {
265            Pads[i]->channel[j] = channel[i][j + N_FW];
266            if (Pads[i]->channel[j] == 1)
267                PadChannelHits[i]->Fill(j);
268        }
269        Pads[i]->FindCluster();
270        Fws[i]->FindCluster();
271    }
272    Line* BestPad = new Line();
273    Line* BestFw = new Line();
274    BestPad->Tracking(Pads);
275    BestFw->Tracking(Fws);
276    EventRate->Fill(eventTime/60.);
277
278    //efficiency calculation: check if 6th chamber got hit on the
279    //channel
280    //pointed to by the linear fit, if there was found a track in
281    //the other 5
282    //chambers
283    for (Int_t i = 0; i < N_CHAMBER; i++) {
284        isTriggered = false;
285        Line* Pad5Pts = new Line();
286        Line* Fw5Pts = new Line();
287        Pads[i]->functionValue = Pad5Pts->Track5pts(Pads, i, N_PAD);
288        Fws[i]->functionValue = Fw5Pts->Track5pts(Fws, i, N_FW);
289
290        //functionValue = -1, if no track with 5 points
291        //                  = 0, if track was found
292        if (Pads[i]->functionValue > -1 && Fws[i]->functionValue >
293            -1) {
294            isImportant = true;
295            Pads[i]->Best5Pts->m = Pad5Pts->m;
296            Pads[i]->Best5Pts->b = Pad5Pts->b;
297            Pads[i]->Best5Pts->chi2 = Pad5Pts->chi2;

```

```

295     Fws[i]->Best5Pts->m = Fw5Pts->m;
296     Fws[i]->Best5Pts->b = Fw5Pts->b;
297     Fws[i]->Best5Pts->chi2 = Fw5Pts->chi2;
298     mPadEffTrack[i] = Pads[i]->Best5Pts->m;
299     mFwEffTrack[i] = Fws[i]->Best5Pts->m;
300     mPadEffTrigger[i] = 1000;
301     mFwEffTrigger[i] = 1000;
302
303     //functionValue = 1 if 6th chamber got hit at the right
304     //channel
305     if (Pads[i]->functionValue == 1 && Fws[i]->functionValue
306         == 1) {
307         Pads[i]->Best5PtsTrigger->m = Pad5Pts->m;
308         Pads[i]->Best5PtsTrigger->b = Pad5Pts->b;
309         Pads[i]->Best5PtsTrigger->chi2 = Pad5Pts->chi2;
310         Fws[i]->Best5PtsTrigger->m = Fw5Pts->m;
311         Fws[i]->Best5PtsTrigger->b = Fw5Pts->b;
312         Fws[i]->Best5PtsTrigger->chi2 = Fw5Pts->chi2;
313         mPadEffTrigger[i] = Pads[i]->Best5PtsTrigger->m;
314         mFwEffTrigger[i] = Fws[i]->Best5PtsTrigger->m;
315         isTriggered = true;
316     }
317     Efficiency[i]->Fill(isTriggered, eventTime/60.);
318     delete Pad5Pts;
319     delete Fw5Pts;
320 }
321 if (BestPad->chi2 < CHI_2_THRESHOLD && BestFw->chi2 <
322     CHI_2_THRESHOLD) {
323     TempFile << actualEvent << "\t" << BestPad->m << "\t" <<
324     BestFw->m << endl;
325     isImportant = true;
326     for(Int_t i = 0; i < N_CHAMBER; i++) {
327         Pads[i]->Align(BestPad, i, Pads[i]->HistAligned);
328         Fws[i]->Align(BestFw, i, Fws[i]->HistAligned);
329     }
330     GoodEventRate->Fill(eventTime/60.);
331     mPad = BestPad->m;
332     mFw = BestFw->m;
333     Hitmap->Fill(BestPad->m, BestFw->m);
334 //else cerr << endl;
335     if (isImportant) {
336         ResultsTree->Fill();
337     }
338     delete BestPad;
339     delete BestFw;
340     actualEvent++;
341 }
342 TempFile.close();
343 cout << "end" << endl;
344 //End of event loop
345 ///////////save/////////

```

```

346 ResultsTree->Write();
347
348 //calculate histograms where time is on the x-axis
349 Double_t timeStep = time / nTimeBins;
350
351 for (Int_t i = 1; i < nTimeBins + 1; i++) {
352     EventRate->SetBinError(i, sqrt(EventRate->GetBinContent(i)) /
353                               timeStep);
354     EventRate->SetBinContent(i, EventRate->GetBinContent(i) /
355                               timeStep);
355     GoodEventRate->SetBinError(i, sqrt(GoodEventRate->
356                                   GetBinContent(i))
357                                         / timeStep);
358     GoodEventRate->SetBinContent(i, GoodEventRate->GetBinContent(i)
359                                         )
360                                         / timeStep);
361 }
362 //Output
363 //////////////////////////////////////////////////////////////////
364 gStyle->SetOptStat(0);
365 gStyle->SetErrorX(0);
366 //Events and good events over time
367 TCanvas *c1 = new TCanvas("c1", "Events\u20d7vs\u20d7Time", 200, 10, 620,
368                           700);
369 c1->SetGrid();
370 EventRate->SetDirectory(0);
371 EventRate->SetMarkerSize(0.7);
372 EventRate->SetMarkerStyle(21);
373 EventRate->SetMarkerColor(kBlue + 2);
374 EventRate->SetLineColor(kBlue + 2);
375 EventRate->SetMinimum(0);
376 EventRate->GetXaxis()->SetTitle("Time\u20d7[min]");
377 EventRate->GetYaxis()->SetTitle("Rate\u20d7[Hz]");
378 EventRate->Draw("POE1");
379
380 GoodEventRate->SetDirectory(0);
381 GoodEventRate->SetMarkerSize(0.7);
382 GoodEventRate->SetMarkerStyle(21);
383 GoodEventRate->SetMarkerColor(kGreen + 2);
384 GoodEventRate->SetLineColor(kGreen + 2);
385 GoodEventRate->Draw("SAME");
386
387 TLegend* eventLegend = new TLegend(0.75, 0.65, 0.89, 0.77);
388 eventLegend->AddEntry(EventRate, "events", "lep");
389 eventLegend->AddEntry(GoodEventRate, "tracks", "lep");
390 eventLegend->SetFillColor(kWhite);
391 eventLegend->Draw();
392
393 //Efficiency for each chamber and direction
394 TCanvas *c2 = new TCanvas("c2", "Efficiency\u20d7vs\u20d7Time", 200, 10,
395                           620, 700);
396 TPaveLabel* effTitle = new TPaveLabel(0.1, 0.96, 0.9, 0.99,
397                                         "Efficiency\u20d7over\u20d7time");
398 effTitle->SetLineColor(kWhite);

```

```

395 effTitle->SetFillColor(kWhite);
396 effTitle->SetShadowColor(kWhite);
397 effTitle->Draw();
398 TPad* effPad = new TPad("Graphs", "Graphs", 0.01, 0.05, 0.95, 0.95);
399 effPad->Draw();
400 effPad->cd();
401 effPad->Divide(2,3);
402 for (Int_t i = 0; i < N_CHAMBER; i++) {
403     effPad->cd(i+1);
404     effPad->cd(i+1)->SetGrid();
405     Efficiency[i]->SetDirectory(0);
406     Efficiency[i]->SetMarkerSize(0.7);
407     Efficiency[i]->SetMarkerStyle(21);
408     Efficiency[i]->SetMarkerColor(kBlue + 2);
409     Efficiency[i]->SetLineColor(kBlue + 2);
410     Efficiency[i]->Draw("AP");
411     gPad->Update();
412     Efficiency[i]->GetPaintedGraph()->GetYaxis()->SetRangeUser
        (0.5, 1);
413     Efficiency[i]->GetPaintedGraph()->GetXaxis()->SetRangeUser(0,
        time/60.);
414     gPad->Update();
415 }
416
417 //ChannelHits for each chamber and direction
418 TCanvas *c3 = new TCanvas("c3", "Channelhits", 200, 10, 620, 700);
419 TPaveLabel* hitsTitle = new TPaveLabel(0.1, 0.96, 0.9, 0.99, "
    Channelhits");
420 hitsTitle->SetLineColor(kWhite);
421 hitsTitle->SetFillColor(kWhite);
422 hitsTitle->SetShadowColor(kWhite);
423 hitsTitle->Draw();
424 TPad* hitsPad = new TPad("Graphs", "Graphs", 0.01, 0.05, 0.95, 0.95);
425 hitsPad->Draw();
426
427 hitsPad->SetGrid();
428 //~ hitsPad->cd();
429 //~ hitsPad->Divide(2,3);
430 //~ for (Int_t i = 0; i < N_CHAMBER; i++) {
431 Int_t i = 0;
432 cerr << PadChannelHits[i]->GetXaxis()->GetLabelSize();
433 //PadChannelHits[i]->SetTitle(Form("MT%d", chamberNumbers[i]))
        ;
434 PadChannelHits[i]->SetTitle(Form("MT30"));
435 PadChannelHits[i]->GetXaxis()->SetTitle("Channel");
436 PadChannelHits[i]->GetXaxis()->CenterTitle();
437 PadChannelHits[i]->GetXaxis()->SetLabelSize(0.04);
438 PadChannelHits[i]->GetYaxis()->SetTitle("Events");
439 PadChannelHits[i]->GetYaxis()->CenterTitle();
440 PadChannelHits[i]->GetYaxis()->SetLabelSize(0.04);
441 PadChannelHits[i]->GetYaxis()->SetTitleOffset(1.3);
442 cerr << PadChannelHits[i]->GetYaxis()->GetTitleSize()<< endl;
443 PadChannelHits[i]->GetYaxis()->SetTitleSize(0.04);
444 PadChannelHits[i]->GetXaxis()->SetTitleSize(0.04);
445 PadChannelHits[i]->SetMinimum(1);

```

```

446     PadChannelHits[i] -> SetLineWidth(3);
447     PadChannelHits[i] -> SetLineColor(kBlue+2);
448     //~ hitsPad -> cd(i+1);
449     //~ hitsPad -> cd(i+1) -> SetGrid();
450     PadChannelHits[i] -> Draw();
451     FwChannelHits[i] -> SetLineWidth(3);
452     FwChannelHits[i] -> SetLineColor(kGreen+2);
453     FwChannelHits[i] -> Draw("SAME");
454     gPad -> SetLogy();
455     PadChannelHits[i] -> GetYaxis() -> SetNdivisions(10);
456
457     TLegend* channelLegend = new TLegend(0.72, 0.11, 0.89, 0.21);
458     channelLegend -> AddEntry(PadChannelHits[i], "pads", "l");
459     channelLegend -> AddEntry(FwChannelHits[i], "fws", "l");
460     channelLegend -> SetFillColor(kWhite);
461     channelLegend -> Draw();
462 //~ }
463
464 //Alignment for each chamber and direction
465 TCanvas *c4 = new TCanvas("c4", "Alignment", 200, 10, 620, 700);
466 TPaveLabel* alignTitle = new TPaveLabel(0.1, 0.96, 0.9, 0.99, "Alignment");
467 alignTitle -> SetLineColor(kWhite);
468 alignTitle -> SetFillColor(kWhite);
469 alignTitle -> SetShadowColor(kWhite);
470 alignTitle -> Draw();
471 TPad* alignPad = new TPad("Graphs", "Graphs", 0.01, 0.05, 0.95, 0.95)
472 ;
473 alignPad -> Draw();
474 alignPad -> SetGrid(); // wieder raus
475 //~ alignPad -> cd();
476 //~ alignPad -> Divide(2,3);
477 //~ for(Int_t i = 0; i < N_CHAMBER; i++){
478 //Pads[i] -> HistAlignment -> SetTitle(Form("MT%d", chamberNumbers
479 [i]));
480 Pads[i] -> HistAlignment -> SetTitle(Form("MT30"));
481 Pads[i] -> HistAlignment ->GetXaxis() -> SetTitle("Alignment");
482 Pads[i] -> HistAlignment ->GetXaxis() -> CenterTitle();
483 Pads[i] -> HistAlignment ->GetYaxis() -> SetTitle("Events");
484 Pads[i] -> HistAlignment ->GetYaxis() -> CenterTitle();
485 Pads[i] -> HistAlignment ->GetXaxis() -> SetLabelSize(0.04);
486 Pads[i] -> HistAlignment ->GetYaxis() -> SetLabelSize(0.04);
487 Pads[i] -> HistAlignment ->GetYaxis() -> SetTitleOffset(1.3);
488 Pads[i] -> HistAlignment ->GetYaxis() -> SetTitleSize(0.04);
489 Pads[i] -> HistAlignment ->GetXaxis() -> SetTitleSize(0.04);
490 Pads[i] -> HistAlignment -> SetAxisRange(-2.5, 2.5);
491 Pads[i] -> HistAlignment -> SetMinimum(1);
492 Pads[i] -> HistAlignment -> SetLineWidth(3);
493 Pads[i] -> HistAlignment -> SetLineColor(kBlue+2);
494 Fws[i] -> HistAlignment -> SetAxisRange(-2.5, 2.5);
495 //~ alignPad -> cd(i+1);
496 //~ alignPad -> cd(i+1) -> SetGrid();
497 Pads[i] -> HistAlignment -> Draw();
498 Fws[i] -> HistAlignment -> SetLineWidth(3);

```

```

498     Fws[i]->HistAlignment ->SetLineColor(kGreen+2);
499     Fws[i]->HistAlignment ->Draw("SAME");
500     gPad->SetLogy();
501     Pads[i]->HistAlignment ->GetYaxis()->SetNdivisions(10);
502
503     //clone histogram, so the legend displays the right linestyle
504     TH1D* fwClone = (TH1D*) Fws[i]->HistAlignment->Clone();
505     fwClone->SetLineColor(kGreen+2);
506     fwClone->SetLineWidth(3);
507     TH1D* padClone = (TH1D*) Pads[i]->HistAlignment->Clone();
508     padClone->SetLineWidth(3);
509     TLegend* alignmentLegend = new TLegend(0.72, 0.79, 0.89, 0.89)
510         ;
511     alignmentLegend->AddEntry(padClone, "pads", "l");
512     alignmentLegend->AddEntry(fwClone, "fws", "l");
513     alignmentLegend->SetFillColor(kWhite);
514     alignmentLegend->Draw();
515
516
517 //carthesian bitmap
518 TCanvas *c5 = new TCanvas("c5","Bitmap", 200, 10, 620, 700);
519 Bitmap->GetYaxis()->SetTitle("m_fw");
520 Bitmap->GetXaxis()->SetTitle("m_pad");
521 gPad->SetFrameFillColor(kBlack);
522 Double_t red[9] = {0./255., 61./255., 89./255., 122./255.,
523                 143./255.,
524                 160./255., 185./255., 204./255., 231./255.};
525 Double_t green[9] = {0./255., 0./255., 0./255., 0./255.,
526                 14./255.,
527                 37./255., 72./255., 132./255., 235./255.};
528 Double_t blue[9] = {0./255., 140./255., 224./255., 144./255.,
529                 4./255.,
530                 5./255., 6./255., 9./255., 13./255.};
531 Double_t stops[9] = {0.0000, 0.1250, 0.2500, 0.3750, 0.5000,
532                         0.6250, 0.7500, 0.8750, 1.0000};
533 TColor::CreateGradientColorTable(9, stops, red, green, blue,
534                                 255);
535 Bitmap->SetContour(99);
536 Bitmap->Draw("COLZ");
537
538 //print to pdf and put it into results folder
539 cerr << "time" << time << endl;
540 c1->Print("test.pdf");
541 c2->Print("test.pdf");
542 c3->Print("test.pdf");
543 c4->Print("test.pdf");
544 c5->Print("test.pdf");
545 Char_t Command[100];
546 sprintf(Command,"mv test.pdf Results/Mts4Run%d.pdf", runNumber);
547 returnCode = system(Command);
548 if (returnCode != 0) {
549     cerr << "file couldn't be moved" << endl;
550 }
551
552
553
554
555
556
557
558
559
560
561
562
563
564
565
566
567
568
569
570
571
572
573
574
575
576
577
578
579
580
581
582
583
584
585
586
587
588
589
590
591
592
593
594
595
596
597
598
599
600
601
602
603
604
605
606
607
608
609
610
611
612
613
614
615
616
617
618
619
620
621
622
623
624
625
626
627
628
629
630
631
632
633
634
635
636
637
638
639
640
641
642
643
644
645
646
647
648
649
650
651
652
653
654
655
656
657
658
659
660
661
662
663
664
665
666
667
668
669
670
671
672
673
674
675
676
677
678
679
680
681
682
683
684
685
686
687
688
689
690
691
692
693
694
695
696
697
698
699
700
701
702
703
704
705
706
707
708
709
710
711
712
713
714
715
716
717
718
719
720
721
722
723
724
725
726
727
728
729
730
731
732
733
734
735
736
737
738
739
740
741
742
743
744
745
746
747
748
749
750
751
752
753
754
755
756
757
758
759
760
761
762
763
764
765
766
767
768
769
770
771
772
773
774
775
776
777
778
779
780
781
782
783
784
785
786
787
788
789
790
791
792
793
794
795
796
797
798
799
800
801
802
803
804
805
806
807
808
809
810
811
812
813
814
815
816
817
818
819
820
821
822
823
824
825
826
827
828
829
830
831
832
833
834
835
836
837
838
839
840
841
842
843
844
845
846
847
848
849
850
851
852
853
854
855
856
857
858
859
860
861
862
863
864
865
866
867
868
869
870
871
872
873
874
875
876
877
878
879
880
881
882
883
884
885
886
887
888
889
890
891
892
893
894
895
896
897
898
899
900
901
902
903
904
905
906
907
908
909
910
911
912
913
914
915
916
917
918
919
920
921
922
923
924
925
926
927
928
929
930
931
932
933
934
935
936
937
938
939
940
941
942
943
944
945
946
947
948
949
950
951
952
953
954
955
956
957
958
959
960
961
962
963
964
965
966
967
968
969
970
971
972
973
974
975
976
977
978
979
980
981
982
983
984
985
986
987
988
989
990
991
992
993
994
995
996
997
998
999
1000
1001
1002
1003
1004
1005
1006
1007
1008
1009
1010
1011
1012
1013
1014
1015
1016
1017
1018
1019
1020
1021
1022
1023
1024
1025
1026
1027
1028
1029
1030
1031
1032
1033
1034
1035
1036
1037
1038
1039
1040
1041
1042
1043
1044
1045
1046
1047
1048
1049
1050
1051
1052
1053
1054
1055
1056
1057
1058
1059
1060
1061
1062
1063
1064
1065
1066
1067
1068
1069
1070
1071
1072
1073
1074
1075
1076
1077
1078
1079
1080
1081
1082
1083
1084
1085
1086
1087
1088
1089
1090
1091
1092
1093
1094
1095
1096
1097
1098
1099
1100
1101
1102
1103
1104
1105
1106
1107
1108
1109
1110
1111
1112
1113
1114
1115
1116
1117
1118
1119
1120
1121
1122
1123
1124
1125
1126
1127
1128
1129
1130
1131
1132
1133
1134
1135
1136
1137
1138
1139
1140
1141
1142
1143
1144
1145
1146
1147
1148
1149
1150
1151
1152
1153
1154
1155
1156
1157
1158
1159
1160
1161
1162
1163
1164
1165
1166
1167
1168
1169
1170
1171
1172
1173
1174
1175
1176
1177
1178
1179
1180
1181
1182
1183
1184
1185
1186
1187
1188
1189
1190
1191
1192
1193
1194
1195
1196
1197
1198
1199
1200
1201
1202
1203
1204
1205
1206
1207
1208
1209
1210
1211
1212
1213
1214
1215
1216
1217
1218
1219
1220
1221
1222
1223
1224
1225
1226
1227
1228
1229
1230
1231
1232
1233
1234
1235
1236
1237
1238
1239
1240
1241
1242
1243
1244
1245
1246
1247
1248
1249
1250
1251
1252
1253
1254
1255
1256
1257
1258
1259
1260
1261
1262
1263
1264
1265
1266
1267
1268
1269
1270
1271
1272
1273
1274
1275
1276
1277
1278
1279
1280
1281
1282
1283
1284
1285
1286
1287
1288
1289
1290
1291
1292
1293
1294
1295
1296
1297
1298
1299
1300
1301
1302
1303
1304
1305
1306
1307
1308
1309
1310
1311
1312
1313
1314
1315
1316
1317
1318
1319
1320
1321
1322
1323
1324
1325
1326
1327
1328
1329
1330
1331
1332
1333
1334
1335
1336
1337
1338
1339
1340
1341
1342
1343
1344
1345
1346
1347
1348
1349
1350
1351
1352
1353
1354
1355
1356
1357
1358
1359
1360
1361
1362
1363
1364
1365
1366
1367
1368
1369
1370
1371
1372
1373
1374
1375
1376
1377
1378
1379
1380
1381
1382
1383
1384
1385
1386
1387
1388
1389
1390
1391
1392
1393
1394
1395
1396
1397
1398
1399
1400
1401
1402
1403
1404
1405
1406
1407
1408
1409
1410
1411
1412
1413
1414
1415
1416
1417
1418
1419
1420
1421
1422
1423
1424
1425
1426
1427
1428
1429
1430
1431
1432
1433
1434
1435
1436
1437
1438
1439
1440
1441
1442
1443
1444
1445
1446
1447
1448
1449
1450
1451
1452
1453
1454
1455
1456
1457
1458
1459
1460
1461
1462
1463
1464
1465
1466
1467
1468
1469
1470
1471
1472
1473
1474
1475
1476
1477
1478
1479
1480
1481
1482
1483
1484
1485
1486
1487
1488
1489
1490
1491
1492
1493
1494
1495
1496
1497
1498
1499
1500
1501
1502
1503
1504
1505
1506
1507
1508
1509
1510
1511
1512
1513
1514
1515
1516
1517
1518
1519
1520
1521
1522
1523
1524
1525
1526
1527
1528
1529
1530
1531
1532
1533
1534
1535
1536
1537
1538
1539
1540
1541
1542
1543
1544
1545
1546
1547
1548
1549
1550
1551
1552
1553
1554
1555
1556
1557
1558
1559
1560
1561
1562
1563
1564
1565
1566
1567
1568
1569
1570
1571
1572
1573
1574
1575
1576
1577
1578
1579
1580
1581
1582
1583
1584
1585
1586
1587
1588
1589
1590
1591
1592
1593
1594
1595
1596
1597
1598
1599
1600
1601
1602
1603
1604
1605
1606
1607
1608
1609
1610
1611
1612
1613
1614
1615
1616
1617
1618
1619
1620
1621
1622
1623
1624
1625
1626
1627
1628
1629
1630
1631
1632
1633
1634
1635
1636
1637
1638
1639
1640
1641
1642
1643
1644
1645
1646
1647
1648
1649
1650
1651
1652
1653
1654
1655
1656
1657
1658
1659
1660
1661
1662
1663
1664
1665
1666
1667
1668
1669
1670
1671
1672
1673
1674
1675
1676
1677
1678
1679
1680
1681
1682
1683
1684
1685
1686
1687
1688
1689
1690
1691
1692
1693
1694
1695
1696
1697
1698
1699
1700
1701
1702
1703
1704
1705
1706
1707
1708
1709
1710
1711
1712
1713
1714
1715
1716
1717
1718
1719
1720
1721
1722
1723
1724
1725
1726
1727
1728
1729
1730
1731
1732
1733
1734
1735
1736
1737
1738
1739
1740
1741
1742
1743
1744
1745
1746
1747
1748
1749
1750
1751
1752
1753
1754
1755
1756
1757
1758
1759
1760
1761
1762
1763
1764
1765
1766
1767
1768
1769
1770
1771
1772
1773
1774
1775
1776
1777
1778
1779
1780
1781
1782
1783
1784
1785
1786
1787
1788
1789
1790
1791
1792
1793
1794
1795
1796
1797
1798
1799
1800
1801
1802
1803
1804
1805
1806
1807
1808
1809
1810
1811
1812
1813
1814
1815
1816
1817
1818
1819
1820
1821
1822
1823
1824
1825
1826
1827
1828
1829
1830
1831
1832
1833
1834
1835
1836
1837
1838
1839
1840
1841
1842
1843
1844
1845
1846
1847
1848
1849
1850
1851
1852
1853
1854
1855
1856
1857
1858
1859
1860
1861
1862
1863
1864
1865
1866
1867
1868
1869
1870
1871
1872
1873
1874
1875
1876
1877
1878
1879
1880
1881
1882
1883
1884
1885
1886
1887
1888
1889
1890
1891
1892
1893
1894
1895
1896
1897
1898
1899
1900
1901
1902
1903
1904
1905
1906
1907
1908
1909
1910
1911
1912
1913
1914
1915
1916
1917
1918
1919
1920
1921
1922
1923
1924
1925
1926
1927
1928
1929
1930
1931
1932
1933
1934
1935
1936
1937
1938
1939
1940
1941
1942
1943
1944
1945
1946
1947
1948
1949
1950
1951
1952
1953
1954
1955
1956
1957
1958
1959
1960
1961
1962
1963
1964
1965
1966
1967
1968
1969
1970
1971
1972
1973
1974
1975
1976
1977
1978
1979
1980
1981
1982
1983
1984
1985
1986
1987
1988
1989
1990
1991
1992
1993
1994
1995
1996
1997
1998
1999
2000
2001
2002
2003
2004
2005
2006
2007
2008
2009
2010
2011
2012
2013
2014
2015
2016
2017
2018
2019
2020
2021
2022
2023
2024
2025
2026
2027
2028
2029
2030
2031
2032
2033
2034
2035
2036
2037
2038
2039
2040
2041
2042
2043
2044
2045
2046
2047
2048
2049
2050
2051
2052
2053
2054
2055
2056
2057
2058
2059
2060
2061
2062
2063
2064
2065
2066
2067
2068
2069
2070
2071
2072
2073
2074
2075
2076
2077
2078
2079
2080
2081
2082
2083
2084
2085
2086
2087
2088
2089
2090
2091
2092
2093
2094
2095
2096
2097
2098
2099
2100
2101
2102
2103
2104
2105
2106
2107
2108
2109
2110
2111
2112
2113
2114
2115
2116
2117
2118
2119
2120
2121
2122
2123
2124
2125
2126
2127
2128
2129
2130
2131
2132
2133
2134
2135
2136
2137
2138
2139
2140
2141
2142
2143
2144
2145
2146
2147
2148
2149
2150
2151
2152
2153
2154
2155
2156
2157
2158
2159
2160
2161
2162
2163
2164
2165
2166
2167
2168
2169
2170
2171
2172
2173
2174
2175
2176
2177
2178
2179
2180
2181
2182
2183
2184
2185
2186
2187
2188
2189
2190
2191
2192
2193
2194
2195
2196
2197
2198
2199
2200
2201
2202
2203
2204
2205
2206
2207
2208
2209
2210
2211
2212
2213
2214
2215
2216
2217
2218
2219
2220
2221
2222
2223
2224
2225
2226
2227
2228
2229
2230
2231
2232
2233
2234
2235
2236
2237
2238
2239
2240
2241
2242
2243
2244
2245
2246
2247
2248
2249
2250
2251
2252
2253
2254
2255
2256
2257
2258
2259
2260
2261
2262
2263
2264
2265
2266
2267
2268
2269
2270
2271
2272
2273
2274
2275
2276
2277
2278
2279
2280
2281
2282
2283
2284
2285
2286
2287
2288
2289
2290
2291
2292
2293
2294
2295
2296
2297
2298
2299
2300
2301
2302
2303
2304
2305
2306
2307
2308
2309
2310
2311
2312
2313
2314
2315
2316
2317
2318
2319
2320
2321
2322
2323
2324
2325
2326
2327
2328
2329
2330
2331
2332
2333
2334
2335
2336
2337
2338
2339
2340
2341
2342
2343
2344
2345
2346
2347
2348
2349
2350
2351
2352
2353
2354
2355
2356
2357
2358
2359
2360
2361
2362
2363
2364
2365
2366
2367
2368
2369
2370
2371
2372
2373
2374
2375
2376
2377
2378
2379
2380
2381
2382
2383
2384
2385
2386
2387
2388
2389
2390
2391
2392
2393
2394
2395
2396
2397
2398
2399
2400
2401
2402
2403
2404
2405
2406
2407
2408
2409
2410
2411
2412
2413
2414
2415
2416
2417
2418
2419
2420
2421
2422
2423
2424
2425
2426
2427
2428
2429
2430
2431
2432
2433
2434
2435
2436
2437
2438
2439
2440
2441
2442
2443
2444
2445
2446
2447
2448
2449
2450
2451
2452
2453
2454
2455
2456
2457
2458
2459
2460
2461
2462
2463
2464
2465
2466
2467
2468
2469
2470
2471
2472
2473
2474
2475
2476
2477
2478
2479
2480
2481
2482
2483
2484
2485
2486
2487
2488
2489
2490
2491
2492
2493
2494
2495
2496
2497
2498
2499
2500
2501
2502
2503
2504
2505
2506
2507
2508
2509
2510
2511
2512
2513
2514
2515
2516
2517
2518
2519
2520
2521
2522
2523
2524
2525
2526
2527
2528
2529
2530
2531
2532
2533
2534
2535
2536
2537
2538
2539
2540
2541
2542
2543
2544
2545
2546
2547
2548
2549
2550
2551
2552
2553
2554
2555
2556
2557
2558
2559
2560
2561
2562
2563
2564
2565
2566
2567
2568
2569
2570
2571
2572
2573
2574
2575
2576
2577
2578
2579
2580
2581
2582
2583
2584
2585
2586
2587
2588
2589
2590
2591
2592
2593
2594
2595
2596
2597
2598
2599
2600
2601
2602
2603
2604
2605
2606
2607
2608
2609
2610
2611
2612
2613
2614
2615
2616
2617
2618
2619
2620
2621
2622
2623
2624
2625
2626
2627
2628
2629
2630
2631
2632
2633
2634
2635
2636
2637
2638
2639
2640
2641
2642
2643
2644
2645
2646
2647
2648
2649
2650
2651
2652
2653
2654
2655
2656
2657
26
```

### C. Quellcode

```
548 //write runnumber and calculated time to result text file
549 ostringstream OutputStream;
550 OutputStream << "Results/Mts4Run" << runNumber;
551 string txtout = OutputStream.str();
552 txtout.append(".txt");
553 ofstream txt(txtout.c_str());
554 txt << "Run" << "\t" << runNumber << endl;
555 txt << "Time" << "\t" << time << endl;
556 txt.close();
557 RootFile->Close();
558 }
```

### C.9. GUI.h

```

1 #ifndef GUI_H
2 #define GUI_H
3
4
5 #include "TGNumberEntry.h"
6 #include "TGFrame.h"
7 #include "TGTTextEdit.h"
8 #include "TButton.h"
9 #include "TGLabel.h"
10
11
12 class MtsMain{
13
14     RQ_OBJECT("MtsMain")
15     private:
16     public:
17     MtsMain();
18     ~MtsMain();
19     TGMainFrame *MainFrame;
20     TGTextEntry *IpAddressT; //!<Ip address of the muon telescopes
21     raspberry pi, standard is 192.168.0.1
22     TGNumberEntry *RunNumberT; //!<run number for current
23     measurements
24     TGNumberEntry *StatisticsT; //!<number of events till the
25     measurements stop, -1 for infinite measuring until manual
26     stopping
27     TGTextEntry *UsedGasT; //!<information on used gas
28     TGNumberEntry *HV_SenseWireT; //!<High Voltage on the sense
29     wires in V
30     TGNumberEntry *HV_SW_CurrentT; //!<Current on the sense wires
31     TGTextEdit *AdditionalInformationT;
32     TGLabel *StatusL;
33     TGLabel *EventsL;
34     TGNumberEntry *UpdateIntervalT; //!<time in minutes in between
35     updates
36     TGNumberEntry *ProcessRunNumberT; //!<run number for analysing a
37     single run
38     TGNumberEntry *BinsizeThetaT; //!<size of one theta bin (polar
39     direction) in degree
40     TGNumberEntry *BinsizePhiT; //!<size of one phi bin (azimuthal
41     direction) in degree
42     TGNumberEntry *TimebinT; //!<number of timebins for the analysis
43     TGNumberEntry *PolarAngleT; //!<rotation angle for the polar
44     angle theta in degree, check documentation for more
45     information on rotations
46     TGNumberEntry *AzimuthalAngleT; //!<rotation angle for the
47     azimuthal angle phi in degree, check documentation for more
48     information on rotations
49     TGCheckButton *OtherRotationB; //!<check, if you want to rotate
50     around different axes, check documentation for more
51     information on rotations
52     TGTextEntry *RunNumbersT; //!<compilation of runs for one
53     telescope location, that are to be merged via a weighted mean

```

### C. Quellcode

```
38 TTimer *timer;
39 void Startup();
40 void CloseWindow();
41 void TextEdit(char* );
42 void UpdateIntervalEdit(Long_t val);
43 //~ void test();
44 void Start();
45 void StartRun(); //maybe switch to popup
46 void Stop();
47 void Update();
48 void LoadFormerSettings();
49 void GetWeightedHistogramMean();
50 void RemoveData();
51 void CopyData();
52 void Analyze();
53 void SinglePlot();
54 void MultiplePlot();
55 void CalculateIntegratedFlux();
56 void AnalyzePolar();
57 //void AnalyzeRun();
58 //~ void thetabin_edit(Long_t val);
59 //~ void phibin_edit(Long_t val);
60 char Line[200], ValueName[200];
61 char buffer[100];
62 char Command[400];
63 Int_t runNumberInt;
64 Int_t returnCode;
65 Int_t nChamber;
66 Int_t nUsedChambers;
67 Bool_t usedChambers[N_CHAMBERS_MAX];
68 const char* ipAddressString;
69 const char* additionalInformation;
70 char filename[500];
71 Int_t chamberSizeX;
72 Int_t chamberSizeY;
73 Int_t nAdcChannels;
74 Bool_t reorderBitsForMt;
75 Int_t prevalence;
76 Int_t wtsBreakLine;
77 Int_t chamberPosition[N_CHAMBERS_MAX];
78 Int_t ChamberNumber[N_CHAMBERS_MAX];
79 Int_t dPhi, dTheta;
80 Int_t nBinPhi, nBinTheta;
81 Int_t runToAnalyze;
82 Double_t time;
83 Double_t phiMin;
84 Double_t phiMax;
85 Double_t thetaMin;
86 Double_t thetaMax;
87 Int_t nTimeBins;
88 Double_t polarAngleDegree, azimuthalAngleDegree;
89 Int_t polarRotation, azimuthalRotation;
90 Bool_t isConnected;
91 };
92
```

```

93  class MtsPopup{
94      RQ_OBJECT("MtsPopup")
95  private:
96  public:
97      TGTransientFrame *PopupFrame;
98      MtsPopup(const TGWindow *p, const TGWindow *main, UInt_t w,
99                  UInt_t h,
100                 const char *test, Int_t preset = 100,
101                 UInt_t options = kVerticalFrame);
102      ~MtsPopup();
103      char buffer[100];
104      Char_t Command[400];
105      Int_t returnCode;
106      TGTextButton *YesPopupB;
107      //~ TGTextButton *NoPopupB;
108      TGTextButton *RemovePopupB;
109      TGTextButton *CopyPopupB;
110      TGTextButton *ClosePopupB;
111      TGTextButton *FullPopupB;
112      TGTextButton *RunPopupB;
113      TGTextButton *PolarPopupB;
114      TGTextEntry *RemoveT;
115      void FullAnalysis();
116      void RunAnalysis();
117      void PolarAnalysis();
118      void Remove();
119      void Copy();
120      void CloseWindow();
121      //~ void DoClose();
122      //void CloseApp();
123  };
124  class RotationPopup{
125      RQ_OBJECT("RotationPopup")
126  private:
127  public:
128      TGTransientFrame *RotationFrame;
129      RotationPopup(const TGWindow *p, const TGWindow *main, UInt_t w,
130                  UInt_t h,
131                  UInt_t options = kVerticalFrame);
132      ~RotationPopup();
133      TGRadioButton *x1B;
134      TGRadioButton *y1B;
135      TGRadioButton *z1B;
136      TGNumberEntry *FirstAngleT;
137      TGRadioButton *x2B;
138      TGRadioButton *y2B;
139      TGRadioButton *z2B;
140      TGNumberEntry *SecondAngleT;
141      TGTextButton *OkRotationB;
142      TGTextButton *CloseRotationB;
143      void Ok();
144      void CloseWindow();
145  };

```

*C. Quellcode*

```
146  
147 #endif
```

### C.10. GUI.cpp

```

1 #include <TG3DLine.h>
2 #include <TGNumberEntry.h>
3 #include <TGComboBox.h>
4 #include <TGFrame.h>
5 #include <TGButtonGroup.h>
6 #include <TGButton.h>
7 #include <TGLabel.h>
8 #include <TGTextEdit.h>
9 #include <Riostream.h>
10 #include <RQ_OBJECT.h>
11 #include <TApplication.h>
12 #include <TH1.h>
13 #include <TH2.h>
14 #include <TStyle.h> //gstyle manipulation
15 #include <TLatex.h> //latex headlines
16 #include <TPaletteAxis.h> //color map
17 #include <TCanvas.h>
18 #include <TFile.h>
19 #include <TTree.h>
20 #include <TMath.h>
21 #include <TColor.h>
22 #include <TEfficiency.h>
23 #include <TLegend.h>
24 #include <TGraphAsymmErrors.h>
25 #include <TPaveLabel.h>
26 #include <fstream>
27 #include <sstream> //name streaming
28 #include <string>
29 #include <iostream> //debugging output
30 #include <time.h>
31 #include <TF1.h>
32
33 #include "mtparameters_5ch.h"
34 #include "GUI.h"
35 #include "coord.h"
36
37 //because >ACLIC
38 #include "analysis.cpp"
39 #include "coord.cpp"
40
41 MtsMain *mtsMain;
42
43
44
45 //!Popup Frames with different presets for error messages and user
   input
46 */
47   2 - Popup for overwriting an already existing run
48   * 3 - Copy data files from raspberry pi to notebook
49   * 4 - Remove data files from raspberry pi to notebook
50   * 5 - Analysis of one file
51   * every other number: label for error message + close button
52 */

```

```

53 MtsPopup::MtsPopup(const TGWindow *p, const TGWindow *main, UInt_t
54     w, UInt_t h,
55     const char* message, Int_t preset, UInt_t
56     options)
57 {
58     //Popups with different presets for errors and user input
59     TGLayoutHints* layoutNormal = new TGLayoutHints(kLHintsTop |
60         kLHintsCenterX,
61         2, 2, 2, 2);
62     TGLayoutHints* layoutFrame = new TGLayoutHints(kLHintsTop |
63         kLHintsExpandX |
64         kLHintsExpandY);
65     TGLayoutHints* layoutGroup = new TGLayoutHints(kLHintsCenterX,
66         10, 10, 2, 2);
67     PopupFrame = new TGTransientFrame(p, main, w, h, options);
68     PopupFrame->SetName("PopupFrame");
69     PopupFrame->SetWindowName("Mts4GUI");
70     PopupFrame->CenterOnParent();
71     //so cleanup works for textentries as well
72     PopupFrame->SetCleanup(kDeepCleanup);
73     TGVerticalFrame* VFrame1 = new TGVerticalFrame(PopupFrame, 1, 1)
74     ;
75     //message label, necessary for all presets
76     TLabel* messageL = new TLabel(VFrame1, message);
77     VFrame1->AddFrame(messageL, layoutNormal);
78     if (preset == 2) {
79         //Yes - No Popup for starting the run even though it already
80         //exists
81         TGHButtonGroup *fButtonGroup = new TGHButtonGroup(VFrame1, "")
82         ;
83         YesPopupB = new TGTextButton(fButtonGroup, "Yes");
84         ClosePopupB = new TGTextButton(fButtonGroup, "No");
85         fButtonGroup->SetLayoutHints(layoutGroup);
86         fButtonGroup->Show();
87         VFrame1->AddFrame(fButtonGroup, layoutNormal);
88         VFrame1->Resize(messageL->GetWidth() + 4, messageL->GetHeight
89         () +
90             fButtonGroup->GetHeight() + 20);
91         PopupFrame->AddFrame(VFrame1, layoutFrame);
92         PopupFrame->Resize(VFrame1->GetWidth() + 4, VFrame1->GetHeight
93         () + 6);
94         YesPopupB->Connect("Clicked()", "MtsMain", mtsMain, "StartRun
95             ());
96         YesPopupB->Connect("Clicked()", "MtsPopup", this, "CloseWindow
97             ());
98         ClosePopupB->Connect("Clicked()", "MtsPopup", this, "
99             CloseWindow());
100    }
101    else if (preset == 3 || preset == 4) {
102        //Popup for copying (preset 4) and removing (preset 3) data
103        //from the pi
104        //text entry to specify the runs
105        RemoveT = new TGTextEntry(VFrame1);

```

```

94     RemoveT->Resize(174,18);
95     VFrame1->AddFrame(RemoveT, layoutNormal);
96     TGHButtonGroup *fButtonGroup2 = new TGHButtonGroup(VFrame1, "");
97     );
98     if (preset == 3) {
99         RemovePopupB = new TGTextButton(fButtonGroup2, "Remove");
100        RemovePopupB->Connect("Clicked()", "MtsPopup", this, "Remove
101        ());
102    }
103    else {
104        CopyPopupB = new TGTextButton(fButtonGroup2, "Copy");
105        CopyPopupB->Connect("Clicked()", "MtsPopup", this, "Copy()");
106        ;
107    }
108    ClosePopupB = new TGTextButton(fButtonGroup2, "Close");
109    fButtonGroup2->SetLayoutHints(layoutGroup);
110    fButtonGroup2->Show();
111    VFrame1->AddFrame(fButtonGroup2, layoutNormal);
112    VFrame1->Resize(messageL->GetWidth() + 4, messageL->GetHeight()
113        +
114                    fButtonGroup2->GetHeight() + RemoveT->
115                    GetHeight() + 20);
116    PopupFrame->AddFrame(VFrame1, layoutFrame);
117    PopupFrame->Resize(VFrame1->GetWidth() + 4, VFrame1->GetHeight()
118        () + 6);
119 }
120 else if (preset == 5) {
121     //popup for the single file analysis: gives you three options:
122     //full analysis, run analysis and polar analysis
123     TGHButtonGroup *fButtonGroup3 = new TGHButtonGroup(VFrame1, "");
124     );
125     FullPopupB = new TGTextButton(fButtonGroup3, "FullAnalysis");
126     RunPopupB = new TGTextButton(fButtonGroup3, "RunAnalysis");
127     PolarPopupB = new TGTextButton(fButtonGroup3, "PolarAnalysis");
128     );
129     ClosePopupB = new TGTextButton(fButtonGroup3, "Close");
130     fButtonGroup3->SetLayoutHints(layoutGroup);
131     fButtonGroup3->Show();
132     VFrame1->AddFrame(fButtonGroup3, layoutNormal);
133     VFrame1->Resize(fButtonGroup3->GetWidth() + 10,
134                     messageL->GetHeight() + fButtonGroup3->
135                     GetHeight() + 10);
136     PopupFrame->AddFrame(VFrame1, layoutFrame);
137     PopupFrame->Resize(VFrame1->GetWidth() + 4, VFrame1->GetHeight()
138         () + 6);
139     FullPopupB->Connect("Clicked()", "MtsPopup", this, "
140         FullAnalysis());
141     RunPopupB->Connect("Clicked()", "MtsPopup", this, "RunAnalysis
142         ());
143     PolarPopupB->Connect("Clicked()", "MtsPopup", this, "
144         PolarAnalysis());
145     //close the popup as well after pressing the button
146     FullPopupB->Connect("Clicked()", "MtsPopup", this, "
147         CloseWindow());
148     RunPopupB->Connect("Clicked()", "MtsPopup", this, "CloseWindow

```

```

        ());
135     PolarPopupB->Connect("Clicked()", "MtsPopup", this, "CloseWindow()");
136 }
137 else {
138     //close button for normal error messages
139     ClosePopupB = new TGTextButton(VFrame1, "Close");
140     VFrame1->AddFrame(ClosePopupB, layoutNormal);
141     VFrame1->Resize(messageL->GetWidth() + 4,
142                         messageL->GetHeight() + ClosePopupB->GetHeight()
143                         () + 17);
144     PopupFrame->AddFrame(VFrame1, layoutFrame);
145     PopupFrame->Resize(VFrame1->GetWidth() + 4, VFrame1->GetHeight()
146                         () + 6);
147 }
148 //connect closewindow to the close button
149 ClosePopupB->Connect("Clicked()", "MtsPopup", this, "CloseWindow"
150     ());
151 //connect closewindow to the x in the upper right corner
152 PopupFrame->Connect("CloseWindow()", "MtsPopup", this, "CloseWindow");
153 PopupFrame->MapSubwindows();
154 }
155
156
157
158 //!Copy data files from the raspberry pi to your notebook
159 /*!
160 * Specified runs or all data will be copied via scp.
161 */
162 void MtsPopup::Copy()
163 {
164     //copy files from the pi to the laptop
165     const char *copyChar = RemoveT->GetText();
166     Int_t runMin, runMax, nTest;
167     Int_t runNumber[10];
168     //first option: type in all and every run will be copied
169     if (strcmp(copyChar, "all") == 0 ||
170         strcmp(copyChar, "All") == 0 ||
171         strcmp(copyChar, "ALL") == 0) {
172         sprintf(Command, "scp\u00a9pi@%s:%s*\u2022Measurements/\u2022",
173                 mtsMain->ipAddressString, mtsMain->filename);
174         returnCode = system(Command);
175     }
176     //second option: first_run - last_run to copy a range of runs
177     else if (strchr(copyChar, '-') != NULL) {
178         nTest = sscanf(copyChar, "%d\u2022%s\u2022%d", &runMin, buffer, &runMax)
179             ;
180         if (nTest == 3) {
181             for (Int_t i = 0; i < (runMax - runMin + 1); i++) {
182                 sprintf(Command, "scp\u00a9pi@%s:%s%d.*\u2022Measurements/",
183                         mtsMain->ipAddressString, mtsMain->filename,

```

```

                runMin+i);
183         returnCode = system(Command);
184     }
185 }
186 else
187     new MtsPopup(gClient->GetRoot(), PopupFrame, 5, 5,
188                 "No run numbers found.\nCheck your input.\n"
189                 "Possibilities:\nall to delete all runs\n"
190                 "-lowestrun-highest_run to delete a range of "
191                 "runs\n"
192                 "-run numbers separated by spaces (max 10)");
193 //last option copy runs by their numbers, limited to 10 runs
194 else {
195     nTest = sscanf(copyChar, "%d%d%d%d%d%d%d%d%d",
196                     &runNumber[0], &runNumber[1], &runNumber[2], &
197                     runNumber[3],
198                     &runNumber[4], &runNumber[5], &runNumber[6], &
199                     runNumber[7],
200                     &runNumber[8], &runNumber[9], &runNumber[10]);
201     if (nTest <= 0) {
202         new MtsPopup(gClient->GetRoot(), PopupFrame, 5, 5,
203                     "No run numbers found.\nCheck your input.\n"
204                     "Possibilities:\nall to copy all runs\n"
205                     "lowestrun-highest_run to copy a range of "
206                     "runs\n"
207                     "run numbers separated by spaces (max 10)");
208         return;
209     }
210     else if (nTest > 10)
211         new MtsPopup(gClient->GetRoot(), PopupFrame, 5, 5,
212                     "10 is the maximum number of runs, that can be "
213                     "copied."
214                     "\nFirst 10 will be copied.\n"
215                     "If you want to copy more than that write all "
216                     "or lowest_run-highest_run");
217     else {
218         for (Int_t i = 0; i < nTest; i++) {
219             sprintf(Command, "scp %s:%s%d.* Measurements /",
220                     mtsMain->ipAddressString, mtsMain->filename,
221                     runNumber[i]);
222             returnCode = system(Command);
223         }
224     }
225 }
226 //! Remove data files from the raspberry pi
227 */
228 * Specified runs or all data will be removed.
229 */
230 void MtsPopup::Remove()

```

```

231 {
232     //see MtsPopup::Copy() for comments, follows the same procedure
233     const char *removeChar = RemoveT->GetText();
234     Int_t runMin, runMax, nTest;
235     Int_t runNumber[10];
236     if (strcmp(removeChar, "all") == 0 ||
237         strcmp(removeChar, "All") == 0 ||
238         strcmp(removeChar, "ALL") == 0) {
239         sprintf(Command, "sshpi@%s'rm-f%s'", mtsMain->
240                 ipAddressString,
241                 mtsMain->filename);
242         returnCode = system(Command);
243     } else if (strchr(removeChar, '-') != NULL) {
244         nTest = sscanf(removeChar, "%d%s%d", &runMin, buffer, &
245                         runMax);
246         if (nTest == 3) {
247             for (Int_t i = 0; i < (runMax - runMin + 1); i++) {
248                 sprintf(Command, "sshpi@%s'rm-f%s%d.*'", mtsMain->
249                         ipAddressString,
250                         mtsMain->filename, runMin + i);
251             }
252         }
253     } else {
254         new MtsPopup(gClient->GetRoot(), PopupFrame, 5, 5,
255                     "No run numbers found. Check your input.\n"
256                     "Possibilities:\n-all to delete all runs\n"
257                     "-lowest-run-highest-run to delete a range of runs\n"
258                     "-run numbers separated by spaces (max 10)");
259     }
260     else {
261         nTest = sscanf(removeChar, "%d%d%d%d%d%d%d%d%d%d",
262                         &runNumber[0], &runNumber[1], &runNumber[2],
263                         &runNumber[3], &runNumber[4], &runNumber[5],
264                         &runNumber[6], &runNumber[7], &runNumber[8],
265                         &runNumber[9], &runNumber[10]);
266         if (nTest <= 0) {
267             new MtsPopup(gClient->GetRoot(), PopupFrame, 5, 5,
268                         "No run numbers found. Check your input.\n"
269                         "Possibilities:\n-all to delete all runs\n"
270                         "lowest-run-highest-run to delete a range of runs\n"
271                         "run numbers separated by spaces (max 10)");
272         }
273     else if (nTest > 10)
274         new MtsPopup(gClient->GetRoot(), PopupFrame, 5, 5,
275                     "10 is the maximum number of runs, that can be deleted."
276                     "\nFirst 10 will be deleted.\n"
277                     "If you want to delete more than that, write all"
278                     "\nor lowest-run-highest-run");

```



```

328
329 //!Calculates the slope of muon tracks from the measurement data
330 void MtsPopup::RunAnalysis()
331 {
332     //first check for run on laptop, then on raspberry,
333     //error if both empty, copy it to laptop if only on raspberry
334     mtsMain->runToAnalyze = (Int_t) mtsMain->ProcessRunNumberT->
335         GetIntNumber();
336     sprintf(Command, "ls Measurements/Mts4Run%d.ebe>>/dev/null",
337             mtsMain->runToAnalyze);
338     returnCode = system(Command);
339     if (returnCode != 0) {
340         sprintf(Command, "ssh pi@%s'ls %s%d.ebe>>/dev/null'<",
341                 mtsMain->ipAddressString, mtsMain->filename, mtsMain->
342                     runToAnalyze);
343     returnCode = system(Command);
344     if (returnCode != 0) {
345         new MtsPopup(gClient->GetRoot(), mtsMain->MainFrame, 5, 5,
346                         "Run does not exist.");
347         return;
348     }
349     else {
350         sprintf(Command, "scp pi@%s:Measurements/Mts4Run%d.*<
351                         Measurements/>>/dev/null", mtsMain->ipAddressString, mtsMain->
352                             runToAnalyze);
353     }
354 }
355
356
357 //!First runs RunAnalysis(), then PolarAnalysis()
358 void MtsPopup::FullAnalysis()
359 {
360     RunAnalysis();
361     PolarAnalysis();
362 }
363
364 //Deconstructor and functions to close popup windows
365 void MtsPopup::CloseWindow()
366 {
367     delete this;
368 }
369
370 MtsPopup::~MtsPopup()
371 {
372     PopupFrame->DeleteWindow();
373 }
374
375 //~ void MtsPopup::CloseApp()
376 //~ {
377     //~ gApplication->Terminate();

```

```

378 //~ }
379
380
381 //! Popup window to handle the Other Rotation Checkbox
382 RotationPopup::RotationPopup(const TGWindow *p, const TGWindow *
383 main,
384 UInt_t w, UInt_t h, UInt_t options)
385 {
386     TGLayoutHints* layoutFrame = new TGLayoutHints(kLHintsTop |
387         kLHintsExpandX |
388             kLHintsExpandY);
389     TGLayoutHints* layoutGroup = new TGLayoutHints(kLHintsCenterX,
390         10, 10, 2, 2);
391     TGLayoutHints* layoutRadio = new TGLayoutHints(kLHintsCenterX |
392         kLHintsExpandX
393             | kLHintsExpandY,
394                 2, 2, 2, 2);
395     TGLayoutHints* layoutText = new TGLayoutHints(kLHintsLeft |
396         kLHintsCenterY,
397             2, 2, 2, 2);
398     //Pop up for custom user rotation, if checkbox is checked
399     RotationFrame = new TGTransientFrame(p, main, w, h, options);
400     RotationFrame->SetName("RotationFrame");
401     //RotationFrame->SetLayoutBroken(kTRUE);
402     RotationFrame->SetWindowName("Mts4GUI");
403     RotationFrame->CenterOnParent();
404     RotationFrame->SetCleanup(kDeepCleanup);
405     TGVerticalFrame *VFrame1 = new TGVerticalFrame(RotationFrame, 1,
406         1);
407
408     //radio boxes to determine axis of rotation
409     TGHButtonGroup *radio1 = new TGHButtonGroup(HFrame1, "First\u2022
410         Rotation");
411     x1B = new TGRadioButton(radio1, "x");
412     y1B = new TGRadioButton(radio1, "y");
413     z1B = new TGRadioButton(radio1, "z");
414     radio1->SetExclusive();
415     radio1->SetLayoutHints(layoutRadio);
416     radio1->>Show();
417     HFrame1->AddFrame(radio1, layoutFrame);
418     //numberentry for input of rotation angle
419     FirstAngleT = new TGNumberEntry(HFrame1, 0, 6, -1,
420         TGNumberFormat::kNESReal,
421             TGNumberFormat::kNEAAnyNumber);
422     HFrame1->AddFrame(FirstAngleT, layoutText);
423     VFrame1->AddFrame(HFrame1, layoutFrame);
424
425     TGHorizontalFrame *HFrame2 = new TGHorizontalFrame(VFrame1, 1,
426         1);
427
428     //same for the second rotation
429     TGHButtonGroup *radio2 = new TGHButtonGroup(HFrame2, "Second\u2022

```

```

    Rotation");
422 x2B = new TGRadioButton(radio2, "x");
423 y2B = new TGRadioButton(radio2, "y");
424 z2B = new TGRadioButton(radio2, "z");
425 radio2->SetExclusive();
426 radio2->SetLayoutHints(layoutRadio);
427 radio2->Show();
428 HFrame2->AddFrame(radio2, layoutText);
429 SecondAngleT = new TGNumberEntry(HFrame2, 0, 6, -1, TGNumberFormat
    ::kNESReal,
430                                     TGNumberFormat::kNEAAnyNumber);
431 HFrame2->AddFrame(SecondAngleT, layoutText);
432 HFrame2->Resize(radio2->GetWidth() + SecondAngleT->GetWidth() +
    80,
        SecondAngleT->GetHeight());
433 VFrame1->AddFrame(HFrame2, layoutFrame);
435
436 //buttons for start of analysis or closing without doing the
   analysis
437 TGHButtonGroup *fButtonGroup = new TGHButtonGroup(VFrame1, "");
438 OkRotationB = new TGTextButton(fButtonGroup, "Ok");
439 CloseRotationB = new TGTextButton(fButtonGroup, "Close");
440 fButtonGroup->SetLayoutHints(layoutGroup);
441 fButtonGroup->Show();
442 VFrame1->AddFrame(fButtonGroup, new TGLayoutHints(kLHintsTop |
    kLHintsCenterX
443
   |
    kLHintsExpandX
    , 0, 0, 0, 0))
;
444 VFrame1->Resize(200, 200);
445
446 RotationFrame->AddFrame(VFrame1, layoutFrame);
447 RotationFrame->Resize(VFrame1->GetWidth() + 4, VFrame1->
    GetHeight() + 6);
448
449 //connect functions to buttons
450 CloseRotationB->Connect("Clicked()", "RotationPopup", this,
    "CloseWindow()");
451 OkRotationB->Connect("Clicked()", "RotationPopup", this, "Ok()")
    ;
452 RotationFrame->Connect("CloseWindow()", "RotationPopup", this,
    "CloseWindow()");
453 RotationFrame->MapSubwindows();
455
456 RotationFrame->MapWindow();
457
458 Int_t returnCode;
459 int scanInt;
460 double scanFloat;
461 Char_t buffer[100];
462 FILE* RotationFile = fopen("temp/OtherRotation.temp", "r");
463 if (RotationFile == NULL) {
464     return;
465 }

```

### C. Quellcode

```
466     returnCode = fscanf(RotationFile, "%s%d", buffer, &scanInt);
467     if (returnCode == 2) {
468         if (scanInt == 0) x1B->SetState(kButtonDown);
469         if (scanInt == 1) y1B->SetState(kButtonDown);
470         if (scanInt == 2) z1B->SetState(kButtonDown);
471     }
472     returnCode = fscanf(RotationFile, "%s%lf", buffer, &scanFloat);
473     FirstAngleT->SetNumber((Double_t) scanFloat);
474     returnCode = fscanf(RotationFile, "%s%d", buffer, &scanInt);
475     if (returnCode == 2) {
476         if (scanInt == 0) x2B->SetState(kButtonDown);
477         if (scanInt == 1) y2B->SetState(kButtonDown);
478         if (scanInt == 2) z2B->SetState(kButtonDown);
479     }
480     returnCode = fscanf(RotationFile, "%s%lf", buffer, &scanFloat);
481     SecondAngleT->SetNumber((Double_t) scanFloat);
482     fclose(RotationFile);
483 }
484
485
486 //!passes the newly specified rotation angles and axes to
487 void RotationPopup::Ok()
488 {
489     //get angles and rotations axes
490     mtsMain->polarAngleDegree = FirstAngleT->GetNumber();
491     mtsMain->azimuthalAngleDegree = SecondAngleT->GetNumber();
492     if (x1B->IsOn()) mtsMain->polarRotation = X_ROT;
493     if (y1B->IsOn()) mtsMain->polarRotation = Y_ROT;
494     if (z1B->IsOn()) mtsMain->polarRotation = Z_ROT;
495     if (x2B->IsOn()) mtsMain->azimuthalRotation = X_ROT;
496     if (y2B->IsOn()) mtsMain->azimuthalRotation = Y_ROT;
497     if (z2B->IsOn()) mtsMain->azimuthalRotation = Z_ROT;
498
499     //start analysis
500     mtsMain->AnalyzePolar();
501     delete this;
502 }
503
504 void RotationPopup::CloseWindow()
505 {
506     delete this;
507 }
508
509 RotationPopup::~RotationPopup()
510 {
511     ofstream rotation("temp/OtherRotation.temp");
512     if (!rotation.good()) {
513         return;
514     }
515     if (x1B->IsOn()) rotation << "FirstRotationAxis" << 0 << endl;
516     if (y1B->IsOn()) rotation << "FirstRotationAxis" << 1 << endl;
517     if (z1B->IsOn()) rotation << "FirstRotationAxis" << 2 << endl;
518     rotation << "FirstAngle" << FirstAngleT->GetNumber() << endl;
519     if (x2B->IsOn()) rotation << "SecondRotationAxis" << 0 << endl;
520     if (y2B->IsOn()) rotation << "SecondRotationAxis" << 1 << endl;
```

```

521     if (z2B->IsOn()) rotation << "SecondRotationAxis" << 2 << endl;
522     rotation << "SecondAngle" << SecondAngleT->GetNumber() << endl;
523     rotation.close();
524     RotationFrame->DeleteWindow();
525 }
526
527
528
529 // ! Starts the measurement on the raspberry pi
530 /*!Creates all necessary files (run settings, run number, ...),
   copies them to
531 the raspberry and executes the measurement program on it
532 */
533 void MtsMain::StartRun()
534 {
535     //Create ini and settings files
536     // - RunNumber
537     sprintf(Command, "echo %d>ini/RunNumber.ini",
538             (Int_t) RunNumberT->GetIntNumber());
539     returnCode = system(Command);
540     // - Ini file
541     FILE * IniFile = fopen("ini/ReadoutSettings.ini", "w");
542     if(IniFile == NULL){
543         new MtsPopup(gClient->GetRoot(), MainFrame, 5, 5,
544                         "Cannot write into the file 'ini/ReadoutSettings.
545                         ini '\n"
546                         "Check attributes\nExit");
547         return;
548     }
549     nUsedChambers = 0;
550     for(Int_t N = 0; N < N_CHAMBERS_MAX; N++)
551         if (usedChambers[N] == true)
552             nUsedChambers++;
553     fprintf(IniFile, "NChambers%d\n", nUsedChambers);
554     fprintf(IniFile, "Channels");
555     for(Int_t N = 0; N < N_CHAMBERS_MAX; N++) {
556         if (usedChambers[N] == true)
557             fprintf(IniFile, "%d", N);
558     }
559     fprintf(IniFile, "\n");
560     fprintf(IniFile, "ChamberSize%d%d\n", chamberSizeX,
561             chamberSizeY);
562     fprintf(IniFile, "Statistics%d\n", (Int_t) StatisticsT->
563             GetIntNumber());
564     fprintf(IniFile, "NAdcVAlues%d\n", nAdcChannels);
565     if(reorderBitsForMt == true)
566         fprintf(IniFile, "ReorderBitsYes\n");
567     else
568         fprintf(IniFile, "ReorderBitsNo\n");
569     fprintf(IniFile, "Prevalence%d\n", prevalence);
570     if(wtsBreakLine > 0)
571         fprintf(IniFile, "WtsBreakLine%d\n", wtsBreakLine);
572     fclose(IniFile);
573
574     // - Sett file

```

```

572 FILE* SettFile = fopen("ini/SettFile.ini", "w");
573 if (SettFile == NULL) {
574     new MtsPopup(gClient->GetRoot(), MainFrame, 5, 5,
575                 "Cannot write into the file 'ini/SettFile.ini'\n"
576                 "Check attributes\nExit");
577     return;
578 }
579 fprintf(SettFile, "IpAddress %s\n", ipAddressString);
580 for (Int_t i = 0; i < nUsedChambers; i++) {
581     fprintf(SettFile, "Chamber %d PositionZ %d\n", ChamberNumber[i],
582             chamberPosition[i]);
583     //read from file
584 }
585 fprintf(SettFile, "Gas %s\n", UsedGasT->GetText());
586 fprintf(SettFile, "HV %d %d\n", (Int_t) HV_SenseWireT->
587         GetIntNumber(),
588         (Int_t) HV_SW_CurrentT->GetIntNumber());
589 fprintf(SettFile, "Notes\n");
590 mtsMain->AdditionalInformationT->SaveFile("temp/
591     additionalinformation.temp");
592 FILE* AdditionalInfo = fopen("temp/additionalinformation.temp",
593     "r");
594 if (AdditionalInfo == NULL) {
595     new MtsPopup(gClient->GetRoot(), MainFrame, 5, 5,
596                 "Cannot read the file 'temp/additionalinformation
597                 .temp '\n"
598                 "Check attributes\nExit");
599     return;
600 }
601 fclose(AdditionalInfo);
602 fclose(SettFile);
603
604 // Start measurement
605 sprintf(Command, "scp ini/*.ini pi@%s:MrPiDaq/.>/dev/null",
606         mtsMain->ipAddressString);
607 returnCode = system(Command);
608 sprintf(Command, "ssh pi@%s 'cd MrPiDaq;"
609             "nohup sudo ./MrPiDaq.run -f &> StdDump &'", 
610         mtsMain->ipAddressString);
611 returnCode = system(Command);
612 Update();
613
614
615 //!Restart Update Timer after the interval in the GUI got changed
616 void MtsMain::UpdateIntervalEdit(Long_t val)
617 {
618     //change update interval, when it is changed in the ui and
619     //restart update timer with new interval
620     timer->Stop();
621     if (UpdateIntervalT->GetIntNumber() > 0)

```

```

622     timer->Start(UpdateIntervalT->GetIntNumber() * 60 * 1000);
623 }
624
625
626 //!Load old Settings and Parameters on Startup
627 void MtsMain::Startup()
628 {
629     //things to do on starting the app
630     // Check IpAddress
631     sprintf(Command, "ssh pi@%s 'ls &> /dev/null'", ipAddressString);
632     returnCode = system(Command);
633     //error message if there's no connection to the pi
634     if (returnCode != 0) {
635         new MtsPopup(gClient->GetRoot(), MainFrame, 5, 5, "RPi cannot be reached\n"
636                     "Check internet connection on both devices\n"
637                     "\nonly analysis options available");
638         LoadFormerSettings();
639         Update();
640         return;
641     }
642     else {
643         isConnected = true;
644         // Check existance of the directory: ../Measurements
645         sprintf(Command, "ls Measurements &> /dev/null");
646         returnCode = system(Command);
647         if (returnCode != 0) {
648             sprintf(Command, "mkdir Measurements");
649             returnCode = system(Command);
650             if (returnCode != 0) {
651                 new MtsPopup(gClient->GetRoot(), MainFrame, 5, 5,
652                             "Directory Measurements couldn't be created\n"
653                             "Check attributes or create the necessary directory");
654             }
655         }
656     }
657     LoadFormerSettings();
658     Update();
659 }
660
661
662 //! Start measurement
663 /*!Verifies connection to the raspberry and non-existence of the
   specified run.
664 * After that the measurement is started with the StartRun()
   function
665 */
666 void MtsMain::Start()
667 {
668     if (!isConnected) {
669         new MtsPopup(gClient->GetRoot(), MainFrame, 5, 5, "Please fix connection to"
670                     "\nthe Muon Tomograph first.");

```

```

671     }
672     else {
673         // Check status
674         sprintf(Command, "ssh_pi@%s'cat MtRpidaq/Running > /dev/null",
675                 ipAddressString);
676         returnCode = system(Command);
677         if (returnCode == 0) {
678             new MtsPopup(gClient->GetRoot(), MainFrame, 5, 5, "MT is "
679                         "running!\n"
680                         "Stop it before starting a new run");
681             return;
682         }
683         // Check RUN existance
684         sprintf(Command, "ssh_pi@%s'head -n 1 %s%d.ebe > /dev/null' "
685                 ,
686                 ipAddressString, filename, runNumberInt);
687         returnCode = system(Command);
688         if (returnCode == 0)
689             new MtsPopup(gClient->GetRoot(), MainFrame, 5, 5, "Run "
690                         "already exists\n"
691                         "Would you like to overwrite it?", 2);
692         else
693             StartRun();
694     }
695 //! Stops the measurement
696 void MtsMain::Stop()
697 {
698     if (!isConnected) {
699         new MtsPopup(gClient->GetRoot(), MainFrame, 5, 5, "Please fix "
700                         "connection to"
701                         "the Muon Tomograph first.");
702     }
703     else {
704         //stop the run and update the status labels, also increase the
705         //runNumber
706         sprintf(Command, "ssh_pi@%s'sudo rm -f MtRpidaq/Running 2> /"
707                 "dev/null";
708         "sudo killall MtRpidaq.run 2> /dev/null', "
709                 ipAddressString);
710         returnCode = system(Command);
711         Update();
712         RunNumberT->IncreaseNumber();
713         runNumberInt = RunNumberT->GetIntNumber();
714     }
715 }
716 //! Update run status labels with current measurement status
717 void MtsMain::Update()
718 {
719     ipAddressString = IpAddressT->GetText();

```

```

718 //TString ip = IpAddressT->GetDisplayText();
719 //IpAddressString = (const char*) ip;
720 cerr << ipAddressString << endl;
721 sprintf(Command, "ssh pi@%s 'ls &> /dev/null'", ipAddressString);
722 returnCode = system(Command);
723 //error message if there's no connection to the pi
724 if (returnCode == 0) {
725     isConnected = true;
726 }
727 else {
728     StatusL->SetText("The MuonTomograph is not connected.");
729     EventsL->SetText("Press Update after fixing connection.");
730 }
731 if (isConnected) {
732     sprintf(Command, "ssh pi@%s 'cat MtRpidaq/Running &> /dev/null",
733             ipAddressString);
734     returnCode = system(Command);
735     //update status label with current status
736     if (returnCode != 0) StatusL->SetText("The MT is ready to take
737         data");
738     else StatusL->SetText("The MuonTomography setup is running");
739     //StatusL->DoRedraw();
740
741     sprintf(Command, "ssh pi@%s 'tail -n 4 %s.ebe > /dev/null' "
742             "| cat > temp/Status.temp", ipAddressString, filename
743             ,
744             runNumberInt);
745     returnCode = system(Command);
746     FILE * TempFile = fopen("temp/Status.temp", "r");
747     if (TempFile == NULL) {
748         new MtsPopup(gClient->GetRoot(), MainFrame, 5, 5,
749                     "temp/Status.temp file cannot be opened!");
750         return;
751     }
752     Int_t CollectedEvents = 0;
753     //update event label with number of collected events
754     if (fscanf(TempFile, "%d", &CollectedEvents) == 1) {
755         CollectedEvents += 4;
756         sprintf(buffer, "There are %d events in Run%d",
757                 CollectedEvents,
758                 runNumberInt);
759         EventsL->SetText(buffer);
760         //EventsL->DoRedraw();
761         sprintf(Command, "head -n 3 temp/Status.temp | awk -f display
762             .awk");
763         returnCode = system(Command);
764     }
765     else {
766         sprintf(buffer, "Run%d does not exist", runNumberInt);
767         EventsL->SetText(buffer);
768         //EventsL->DoRedraw();
769     }
770     fclose(TempFile);
771     //restart timer

```

### C. Quellcode

```
768     timer->TurnOff();
769     timer->Start(UpdateIntervalT->GetIntNumber() * 60 * 1000);
770 }
771 }
772
773
774 //!Change IP address, if changed in the GUI
775 void MtsMain::TextEdit(char *val){
776     //change ipaddress, when it is changed in the user interface
777     ipAddressString = val;
778 }
779
780
781 //!Load former settings from .ini files
782 void MtsMain::LoadFormerSettings()
783 {
784     //copy old ini files from pi
785     if (isConnected) {
786         sprintf(Command, "scp\u00d7pi@%s:MrRpidaq/*.ini\u00d7ini/\u2192\u00d7/dev/null",
787                 ipAddressString);
788         returnCode = system(Command);
789     }
790
791     Int_t Value1, Value2, oldUsedChamber[N_CHAMBERS_MAX];
792     for (Int_t i = 0; i < N_CHAMBERS_MAX; i++)
793         usedChambers[i] = false;
794
795     // Get the current run number
796     FILE* RunNumberFile = fopen("ini/RunNumber.ini", "r");
797     if (RunNumberFile != NULL) {
798         returnCode = fscanf(RunNumberFile, "%d", &runNumberInt);
799         fclose(RunNumberFile);
800         RunNumberT->SetIntNumber(runNumberInt);
801     }
802
803     // Load former readout settings
804     // maybe easier?
805     FILE* IniFile = fopen("ini/ReadoutSettings.ini", "r");
806     if (IniFile == NULL)
807         return;
808     while (!feof(IniFile)) {
809         if (fgets(Line, 198, IniFile) == NULL) {
810             continue;
811         }
812         sscanf(Line, "%s", ValueName);
813         if (strcmp(ValueName, "NChambers") == 0) {
814             sscanf(Line, "%s\u00d7%d", ValueName, &nChamber);
815         }
816         else if (strcmp(ValueName, "Statistics") == 0) {
817             sscanf(Line, "%s\u00d7%d", ValueName, &Value1);
818             StatisticsT->SetIntNumber(Value1);
819         }
820         else if (strcmp(ValueName, "NAdcValues") == 0) {
821             sscanf(Line, "%s\u00d7%d", ValueName, &Value1); nAdcChannels =
822             Value1;
```

```

822     }
823     else if (strcmp(ValueName, "Prevalence") == 0) {
824         sscanf(Line, "%s%d", ValueName, &prevalence);
825     }
826     else if (strcmp(ValueName, "WtsBreakLine") == 0) {
827         sscanf(Line, "%s%d", ValueName, &wtsBreakLine);
828     }
829     else if (strcmp(ValueName, "ReorderBits") == 0) {
830         sscanf(Line, "%s%s", ValueName, ValueName);
831         if (strcmp(ValueName, "Y") == 0 || strcmp(ValueName, "y") ==
832             0 ||
833             strcmp(ValueName, "yes") == 0 || strcmp(ValueName, "Yes"
834                 ) == 0 ||
835             strcmp(ValueName, "YES") == 0 || strcmp(ValueName, "1")
836             == 0 )
837             reorderBitsForMt = true;
838         else reorderBitsForMt = false;
839     }
840     else if (strcmp(ValueName, "ChamberSize") == 0) {
841         sscanf(Line, "%s%d%d", ValueName, &Value1, &Value2);
842         chamberSizeX = Value1;
843         chamberSizeY = Value2;
844     }
845     else if (strcmp(ValueName, "Channels") == 0) {
846         nUsedChambers = sscanf(Line, "%s%d%d%d%d%d%d%d%d%d%d"
847             ,
848             ValueName, &oldUsedChamber[0], &
849             oldUsedChamber[1],
850             &oldUsedChamber[2], &oldUsedChamber
851             [3],
852             &oldUsedChamber[4], &oldUsedChamber
853             [5],
854             &oldUsedChamber[6], &oldUsedChamber
855             [7],
856             &oldUsedChamber[8], &oldUsedChamber
857             [9]);
858         if (nChamber != nUsedChambers - 1) {
859             new MtsPopup(gClient->GetRoot(), MainFrame, 5, 5,
860                         "Minor inconsistency in the GUI settings file
861                         .");
862         }
863         for (Int_t i = 0; i < nChamber; i++) {
864             if (oldUsedChamber[i] < N_CHAMBERS_MAX)
865                 usedChambers[oldUsedChamber[i]] = true;
866         }
867     }
868 }
869 fclose(IniFile);
870
871 // Get the filenames settings
872 FILE* FilenamingFile = fopen("ini/Filenaming.ini", "r");
873 if (FilenamingFile == NULL) {
874     strcpy(filename, "/home/pi/Measurements/Mts4Run");
875     return;
876 }

```

```

867     returnCode = fscanf(FilenamingFile, "%s", buffer);
868     if (returnCode != 1) {
869         strcpy(filename, "/home/pi/Measurements/Mts4Run");
870         return;
871     }
872
873     fclose(FilenamingFile);
874     if (buffer[0] == '/')
875         strcpy(filename, buffer);
876     else {
877         strcpy(filename, "/home/pi/");
878         strcat(filename, buffer);
879     }
880
881 // Check the former run's settings
882 FILE* SettFile = fopen("ini/SettFile.ini", "r");
883 FILE* AddInfos = fopen("temp/additionalinformation.temp", "w");
884 if (SettFile == NULL)
885     return;
886 nUsedChambers = 0;
887 while (fgets(Line, 198, SettFile)) {
888     sscanf(Line, "%s", ValueName);
889     if (strcmp(ValueName, "Chamber") == 0) {
890         sscanf(Line, "%s%d%s%d", ValueName, &Value1, ValueName, &
891                 Value2);
892         if (nUsedChambers < nChamber) {
893             ChamberNumber[nUsedChambers] = Value1;
894             chamberPosition[nUsedChambers] = Value2;
895         }
896         nUsedChambers++;
897     } else if (strcmp(ValueName, "HV") == 0) {
898         sscanf(Line, "%s%d%d", ValueName, &Value1, &Value2);
899         HV_SenseWireT->SetIntNumber(Value1);
900         HV_SW_CurrentT->SetIntNumber(Value2);
901     } else if (strcmp(ValueName, "Gas") == 0) {
902         Line[strlen(Line)-1] = '\0';
903         UsedGasT->SetText(&Line[4]);
904     } else if (strcmp(ValueName, "Notes") == 0);
905     else if (strcmp(ValueName, "IpAddress") == 0);
906     else
907         fputs(Line, AddInfos);
908     }
909 }
910 fclose(SettFile);
911 fclose(AddInfos);
912 AdditionalInformationT->LoadFile("temp/additionalinformation.
913                                         temp");
914
915 FILE* OldSettings = fopen("temp/OldSettings.temp", "r");
916 if (OldSettings == NULL) {
917     return;
918 }
919 int scanInt;

```

### C. Quellcode

```

920     float scanFloat;
921     returnCode = fscanf(OldSettings, "%s%d", buffer, &scanInt);
922     UpdateIntervalT->SetIntNumber(scanInt);
923     returnCode = fscanf(OldSettings, "%s%d", buffer, &scanInt);
924     ProcessRunNumberT->SetIntNumber(scanInt);
925     returnCode = fscanf(OldSettings, "%s%f", buffer, &scanFloat);
926     BinsizeThetaT->SetNumber(scanFloat);
927     returnCode = fscanf(OldSettings, "%s%f", buffer, &scanFloat);
928     BinsizePhiT->SetNumber(scanFloat);
929     returnCode = fscanf(OldSettings, "%s%d", buffer, &scanInt);
930     TimebinT->SetIntNumber(scanInt);
931     returnCode = fscanf(OldSettings, "%s%f", buffer, &scanFloat);
932     PolarAngleT->SetNumber(scanFloat);
933     returnCode = fscanf(OldSettings, "%s%f", buffer, &scanFloat);
934     AzimuthalAngleT->SetNumber(scanFloat);
935     returnCode = fscanf(OldSettings, "%s%d", buffer, &scanInt);
936     if (scanInt == 1) OtherRotationB->SetState(kButtonDown);
937     if (scanInt == 0) OtherRotationB->SetState(kButtonUp);
938     char runNumbers[100];
939     while (fgets(runNumbers, 98, OldSettings)) {
940         runNumbers[strlen(runNumbers)-1] = '\0';
941         RunNumbersT->SetText(&runNumbers[11]);
942     }
943     fclose(OldSettings);
944 }
945
946
947 //!Popup window for copy dialog
948 void MtsMain::CopyData()
949 {
950     if (!isConnected) {
951         new MtsPopup(gClient->GetRoot(), MainFrame, 5, 5,
952                     "Please fix connection to the Muon Tomograph
953                     first.");
954     }
955     else
956         new MtsPopup(gClient->GetRoot(), MainFrame, 5, 5,
957                     "Which runs do you want to copy?\n"
958                     "Type all, if you want to copy all runs.", 4);
959
960
961 //!Popup window for remove dialog
962 void MtsMain::RemoveData()
963 {
964     if (!isConnected) {
965         new MtsPopup(gClient->GetRoot(), MainFrame, 5, 5,
966                     "Please fix connection to the Muon Tomograph
967                     first.");
968     }
969     else
970         new MtsPopup(gClient->GetRoot(), MainFrame, 5, 5,
971                     "Which runs do you want to delete?\n"
972                     "Type all, if you want to delete all runs.", 3);

```

```

973
974
975 //! Popup window for analysis dialog
976 void MtsMain::Analyze()
977 {
978     dPhi = BinsizePhiT->GetNumber();
979     nBinPhi = (Int_t) ((phiMax - phiMin) / dPhi);
980     dTheta = BinsizeThetaT->GetNumber();
981     nBinTheta = (Int_t) ((thetaMax - thetaMin) / dTheta);
982     //cerr << dTheta << "\t" << nBinTheta << endl;
983     new MtsPopup(gClient->GetRoot(), MainFrame, 5, 5,
984                 "Choose the type of analysis, that you want to
985                 perform.", 5);
986 }
987
988 //! Show output of single file analysis
989 void MtsMain::SinglePlot()
990 {
991     sprintf(Command, "xpdf Results/histRun%d.pdf",
992             (Int_t) ProcessRunNumberT->GetIntNumber());
993     returnCode = system(Command);
994 }
995
996
997 //! Weighted mean of polar histograms
998 */
999 * Takes the polar histograms calculated in PolarAnalysis() and
1000 * performs a
1001 * weighted arithmetic mean of each bin. The result gets saved as
1002 * .pdf
1003 */
1004 void MtsMain::GetWeightedHistogramMean()
1005 {
1006     const Int_t nMax = 10;
1007     Int_t runNumber[nMax+1];
1008     Int_t runMin, runMax;
1009     Int_t nHist;
1010     const char *runs_char = RunNumbersT->GetText();
1011     //get run numbers
1012     if (strchr(runs_char, '-') == NULL) {
1013         nHist = sscanf(runs_char, "%d%d%d%d%d%d%d%d%d%d",
1014                         &runNumber[0], &runNumber[1], &runNumber[2], &
1015                         runNumber[3],
1016                         &runNumber[4], &runNumber[5], &runNumber[6], &
1017                         runNumber[7],
1018                         &runNumber[8], &runNumber[9], &runNumber[10]);
1019     if (nHist > nMax) {
1020         sprintf(buffer, "too many runs, merge only first %d", nMax);
1021         new MtsPopup(gClient->GetRoot(), MainFrame, 5, 5, buffer);
1022     }
1023     else {
1024         sscanf(runs_char, "%d%s%d", &runMin, buffer, &runMax);
1025         nHist = runMax - runMin + 1;

```

```

1023     if ((runMax - runMin + 1) > nMax) {
1024         sprintf(buffer, "too many runs, only runs %d to %d will be merged",
1025                 runMin, runMin + nMax - 1);
1026         new MtsPopup(gClient->GetRoot(), MainFrame, 5, 5, buffer);
1027     }
1028     for (Int_t i = 0; i < nHist; i++)
1029         runNumber[i] = runMin + i;
1030 }
1031
1032 Int_t nBinPhiAddition = -1;
1033 Int_t nBinThetaAddition = -1;
1034
1035 //Get bin setting from first run
1036 ostringstream txtStream;
1037 txtStream << "Results/Mts4Run" << runNumber[0] << ".txt";
1038 FILE* TxtFile = fopen(txtStream.str().c_str(), "r");
1039 if (TxtFile == NULL) {
1040     sprintf(buffer, "Mts4Run%d wasn't analyzed before or does not exist.",
1041             runNumber[0]);
1042     new MtsPopup(gClient->GetRoot(), MainFrame, 5, 5, buffer);
1043     return;
1044 }
1045 while (fgets(Line, 198, TxtFile)) {
1046     sscanf(Line, "%s", ValueName);
1047     if (strcmp(ValueName, "nBinPhi") == 0) {
1048         returnCode = sscanf(Line, "%s%d", buffer, &nBinPhiAddition);
1049     }
1050     if (strcmp(ValueName, "nBinTheta") == 0) {
1051         returnCode = sscanf(Line, "%s%d", buffer, &nBinThetaAddition);
1052     }
1053 }
1054 if (nBinPhiAddition < 1 || nBinThetaAddition < 1) {
1055     sprintf(buffer, "Check File %s for binning setting",
1056             txtStream.str().c_str());
1057     new MtsPopup(gClient->GetRoot(), MainFrame, 5, 5, buffer);
1058     return;
1059 }
1060 fclose(TxtFile);
1061
1062 cerr << nBinPhiAddition << " " << nBinThetaAddition << endl;
1063
1064 //array for theta bin edges, so theta = 0 is plotted
1065 Double_t* array = new Double_t[nBinThetaAddition+2];
1066
1067 array[0] = 0;
1068 array[1] = 0.000000001;
1069 for (Int_t i = 2; i < nBinThetaAddition+2; i++) {
1070     array[i] = (i - 1) * (thetaMax - thetaMin) / nBinThetaAddition
1071     ;
1072 }
```

```

1073
1074 //histogram initialization
1075 TH2F *MergedHist = new TH2F("Flux_Histogram", "Flux_Histogram",
1076                             nBinPhiAddition, phiMin,
1077                                         phiMax, nBinThetaAddition+1, array);
1077 TH2F *dMergedHist = new TH2F("Flux_error", "Flux_error",
1078                             nBinPhiAddition,
1079                                         phiMin, phiMax, nBinThetaAddition
1080                                         +1, array);
1080
1081 TH2F *abc = new TH2F("Flux_Histogram", "Flux_Histogram",
1082                         nBinPhiAddition, phiMin,
1083                                         phiMax, nBinThetaAddition+1, array);
1083
1084 delete array;
1085 TH2F *Hists[nHist];
1086 TH2F *dHists[nHist];
1087 //get filenames for runs
1088 for (Int_t j = 0; j < nHist; j++) {
1089     ostringstream histogramNameStream;
1090     ostringstream histogramTxtStream;
1091     histogramNameStream << "Results/Mts4Run" << runNumber[j] << ".root";
1092     histogramTxtStream << "Results/Mts4Run" << runNumber[j] << ".txt";
1093
1094 //after the first run, check if binning is consistent
1095 //throughout the runs
1095 if (j > 0) {
1096     Int_t nBinPhiTest, nBinThetaTest;
1097     TxtFile = fopen(histogramTxtStream.str().c_str(), "r");
1098     if (TxtFile == NULL) {
1099         sprintf(buffer, "Mts4Run%d wasn't analyzed before or does not exist.",
1100                 runNumber[0]);
1101         new MtsPopup(gClient->GetRoot(), MainFrame, 5, 5, buffer);
1102         return;
1103     }
1104     while (fgets(Line, 198, TxtFile)) {
1105         sscanf(Line, "%s", ValueName);
1106         if (strcmp(ValueName, "nBinPhi") == 0) {
1107             returnCode = sscanf(Line, "%s%d", buffer, &nBinPhiTest);
1108         }
1109         if (strcmp(ValueName, "nBinTheta") == 0) {
1110             returnCode = sscanf(Line, "%s%d", buffer, &nBinThetaTest);
1111         }
1112     }
1113     if (nBinPhiAddition != nBinPhiTest ||
1114         nBinThetaAddition != nBinThetaTest)
1115     {
1116         sprintf(buffer, "Reanalyze Run %d with Binsize Theta=%d and"

```

```

1117         "Binsize Phi=%d", runNumber[j],
1118         (Int_t) ((thetaMax - thetaMin) / nBinThetaAddition
1119             ),
1120             ((Int_t) ((phiMax - phiMin) / nBinPhiAddition));
1121             new MtsPopup(gClient->GetRoot(), MainFrame, 5, 5, buffer);
1122             return;
1123         }
1124         fclose(TxtFile);
1125     }
1126     //Read-In
1127     /////////////////
1128     //check if file exists
1129     TFile h(histogramNameStream.str().c_str());
1130     if (h.IsZombie() == true) {
1131         sprintf(buffer, "File %s does not exist, please analyze this
1132             run first.",
1133                 histogramNameStream.str().c_str());
1134         new MtsPopup(gClient->GetRoot(), MainFrame, 5, 5, buffer);
1135         return;
1136     }
1137     //get flux and error histogram
1138     TH2F* TempHist = (TH2F*) h.Get(Form("hist%d", runNumber[j]));
1139     TH2F* dTempHist = (TH2F*) h.Get(Form("error%d", runNumber[j]))
1140         );
1141     //change directory so TFile can be closed without deleting the
1142         histograms
1143     TempHist->SetDirectory(0);
1144     dTempHist->SetDirectory(0);
1145     h.Close();
1146     //put them into an array
1147     Hists[j] = TempHist;
1148     dHists[j] = dTempHist;
1149 }
1150 ofstream gnu("gnuplot.txt");
1151 //loop over ...
1152
1153 for (Int_t Ny = 1; Ny < nBinThetaAddition + 2; Ny++) { //...
1154     theta-bins
1155     for (Int_t Nx = 1; Nx < nBinPhiAddition + 1; Nx++) { //...phi
1156         -bins
1157         Double_t add = 0, dAdd = -1.;
1158         for (Int_t j = 0; j < nHist; j++) { //...histograms
1159             //if (Ny == 1) cerr << Nx << "\t" << Ny << "\t";
1160             if (dAdd < 0) {
1161                 //first step: loop till there's a histogram with a hit
1162                 in this bin
1163                 if (dHists[j]->GetBinContent(Nx,Ny) > pow(10,5));
1164                     //if there is no entry in this bin skip the addition
1165                 else {
1166                     //else set add and dAdd to the respective bincontents
1167                     add = Hists[j]->GetBinContent(Nx,Ny);
1168                     dAdd = dHists[j]->GetBinContent(Nx,Ny);
1169                     //cerr << Ny << " " << Nx << " " << j << " ";
1170                     //cerr << add << " " << dAdd << " first" << endl;

```

```

1165         }
1166     }
1167     else {
1168         //now weighted addition of the histograms ,
1169         //calculate new content of current bin and the relative
1170         //error
1171         //cerr << Ny << " " << Nx << " " << j << " " << Hists[j]
1172         //->GetBinContent(Nx,Ny) << " ";
1173         add = ( (add / pow(dAdd, 2) + (Hists[j]->GetBinContent(
1174             Nx,Ny) /
1175                 pow(dHists[j]->GetBinContent(Nx,Ny),2) ) /
1176                 (1. / pow(dAdd,2) +
1177                     1. / pow(dHists[j]->GetBinContent(Nx,Ny),2) )
1178                 );
1179         dAdd = sqrt(1. / (1. / pow(dAdd, 2) + 1. /
1180                         pow(dHists[j]->GetBinContent(Nx,Ny), 2) ) );
1181         //cerr << "\t" << "\t" << add << " " << dAdd << endl;
1182     }
1183     if (j == nHist - 1) {
1184         //when on the last histogram, fill the result into a new
1185         //histogram
1186         MergedHist->SetBinContent(Nx, Ny, add);
1187         //cerr << (Nx-1) * 360./nBinPhiAddition << " " << add <<
1188         // " " << dAdd << endl;
1189         if (Nx == 8 && add > 0) gnu << (Ny-2) * 90./
1190             nBinThetaAddition + dTheta/2. << "\t" << add << "\t"
1191             << dAdd * add << "\t" << dAdd << endl;
1192         else if (Nx == 17 && add > 0) gnu << -(Ny-2) * 90./
1193             nBinThetaAddition - dTheta/2. << "\t" << add << "\t"
1194             << dAdd * add << "\t" << dAdd << endl;
1195         cerr << (Ny-2) * 90./nBinThetaAddition << "\t" << (Nx-1)
1196             * 360./nBinPhiAddition << "\t" << add << "\t" <<
1197             dAdd << "\t" << MergedHist->GetBinContent(Nx, Ny) <<
1198             endl;
1199         if (dAdd > 0.0 && dAdd < 0.1)
1200             dMergedHist->SetBinContent(Nx, Ny, dAdd);
1201         else dMergedHist->SetBinContent(Nx, Ny, 0);
1202     }
1203 }
1204 }
1205
1206 Double_t chi;
1207 Bool_t isDone[nHist];
1208 for (Int_t i = 0; i < nHist; i++)
1209     isDone[i] = false;
1210 TH1F* test = new TH1F("", "", 40, -5, 5);
1211
1212 for (Int_t i = 0; i < nHist; i++) {
1213     for (Int_t j = 0; j < nHist; j++) {
1214         if (dHists[i]->GetBinContent(2,2) < 10000 && dHists[j]->
1215             GetBinContent(2,2) < 10000 && i != j) {
1216             chi = (Hists[i]->GetBinContent(2,2) - Hists[j]->
1217                 GetBinContent(2,2))/

```

```

1206     sqrt(pow(dHists[i]->GetBinContent(2,2) * Hists[i]->
1207           GetBinContent(2,2),2) + pow(Hists[j]->
1208             GetBinContent(2,2) * dHists[j]->GetBinContent
1209               (2,2),2));
1210     test->Fill(chi);
1211     if (chi > 1.4) {
1212       abc->Fill(5.0,2);
1213       //cerr << 0 << " " << 0 << endl;
1214     }
1215     //cerr << i << " " << j << " " << 2 << " " << 2 << " " <<
1216       Hists[i]->GetBinContent(2,2) << " " << sqrt(pow(dHists[i]->
1217         GetBinContent(2,2) * Hists[i]->GetBinContent(2,2),2) +
1218           pow(Hists[j]->GetBinContent(2,2) * dHists[j]->
1219             GetBinContent(2,2),2)) << " " << dHists[i]->
1220               GetBinContent(2,2) << " " << dHists[j]->GetBinContent
1221                 (2,2) << endl;
1222   }
1223   for (Int_t Ny = 3; Ny < nBinThetaAddition + 2; Ny++) { //...
1224     theta-bins
1225     for (Int_t Nx = 1; Nx < nBinPhiAddition + 1; Nx++) { ///
1226       ...phi-bins
1227       if (isDone[j] == true)
1228         continue;
1229       if (dHists[i]->GetBinContent(Nx,Ny) < 10000 && dHists[j]
1230           ->GetBinContent(Nx,Ny) < 10000 && i != j) {
1231         chi = (Hists[i]->GetBinContent(Nx,Ny) - Hists[j]->
1232           GetBinContent(Nx,Ny))/
1233             sqrt(pow(dHists[i]->GetBinContent(Nx,Ny) * Hists
1234               [i]->GetBinContent(Nx,Ny),2) + pow(Hists[j]->
1235                 GetBinContent(Nx,Ny) * dHists[j]->
1236                   GetBinContent(Nx,Ny),2));
1237         test->Fill(chi);
1238         // cerr << i << " " << j << " " << Ny << " " << Nx << "
1239           " << Hists[i]->GetBinContent(Nx,Ny) << " " << Hists
1240             [j]->GetBinContent(Nx,Ny) << " " << sqrt(pow(dHists[
1241               i]->GetBinContent(Nx,Ny) * Hists[i]->GetBinContent(
1242                 Nx,Ny),2) + pow(Hists[j]->GetBinContent(Nx,Ny) *
1243                   dHists[j]->GetBinContent(Nx,Ny),2)) << " " <<
1244                     dHists[i]->GetBinContent(Nx,Ny) << " " << dHists[j]
1245                       ->GetBinContent(Nx,Ny) << endl;
1246       if (chi > 1.4 || chi < -1.4) {
1247         abc->Fill((Nx-1)*360.0/nBinPhiAddition,(Ny-2)*90.0/
1248           nBinThetaAddition);
1249         //cerr << (Nx-1)*360.0/nBinPhiAddition << " " << (Ny
1250           -2)*90.0/nBinThetaAddition<< endl;
1251       }
1252     }
1253   }
1254   isDone[i] = true;
1255 }
1256 gStyle->SetOptStat(1);
1257 TCanvas* c5 = new TCanvas("cb", "PolarUFlux", 0, 10, 1000, 1000)

```

```

        ;
1235 c5->Update();
1236 test->Draw("HIST");
1237 TF1* myfit = new TF1("myfit", "[0]*exp(-0.5*x*x/([1]*[1]))", 50,
1238           1);
1239 test->Fit("gaus");
1240 TCanvas* c6 = new TCanvas("ca", "PolarUFlux", 0, 10, 1000, 1000)
1241   ;
1242 abc->Draw("SURF1UPOLUZ");
1243 ///////////////////////////////////////////////////////////////////
1244 ///////////////////////////////////////////////////////////////////
1245 ///////////////////////////////////////////////////////////////////
1246 ///////////////////////////////////////////////////////////////////
1247 gStyle->SetHatchesSpacing(1000);
1248 gStyle->SetStripDecimals(kFALSE);
1249 gStyle->SetPadRightMargin(0.14);
1250 gStyle->SetPadLeftMargin(0.06);
1251 gStyle->SetPadTopMargin(0.12);
1252 gStyle->SetPadBottomMargin(0.10);
1253 gStyle->SetOptTitle(0);
1254 gStyle->SetOptStat(1);
1255 TLatex Tl;
1256 Double_t red[9] = {0./255., 61./255., 89./255., 122./255.,
1257           143./255.,
1258           160./255., 185./255., 204./255., 231./255.};
1259 Double_t green[9] = {0./255., 0./255., 0./255., 0./255.,
1260           14./255., 37./255.,
1261           72./255., 132./255., 235./255.};
1262 Double_t blue[9] = {0./255., 140./255., 224./255., 144./255.,
1263           4./255.,
1264           5./255., 6./255., 9./255., 13./255.};
1265 Double_t stops[9] = {0.0000, 0.1250, 0.2500, 0.3750, 0.5000,
1266           0.6250,
1267           0.7500, 0.8750, 1.0000};
1268 MergedHist->SetContour(99);
1269 dMergedHist->SetContour(99);
1270 TColor::CreateGradientColorTable(9, stops, red, green, blue,
1271           255);
1272 //plot of relative flux error
1273 TCanvas* c1 = new TCanvas("c1", "PolarUFlux", 0, 10, 1000, 1000)
1274   ;
1275 c1->SetFillStyle(3305);
1276 c1->SetFillColor(kBlack);
1277 c1->SetTheta(90);
1278 c1->SetPhi(0);
1279 dMergedHist->Draw("SURF1UPOLUZ");
1280 c1->Update();
1281 TPaletteAxis* palette = (TPaletteAxis*)dMergedHist->
1282   GetListOfFunctions()->FindObject("palette");
1283 //dMergedHist->GetZaxis()->SetTickSize(0.025);
1284 palette->SetLabelSize(0.03);
1285 palette->SetX1NDC(0.92);

```

```

1280 palette->SetX2NDC(0.943);
1281 Tl.SetTextFont(43); Tl.SetTextSize(24); //font
1282 Tl.SetNDC(); //use ndc coordinates
1283 //36bins
1284 if (nBinPhiAddition == 36) {
1285     Tl.DrawLatex(0.561, 0.895, "15#circ");
1286     Tl.DrawLatex(0.761, 0.785, "45#circ");
1287     Tl.DrawLatex(0.872, 0.59, "75#circ");
1288     Tl.DrawLatex(0.872, 0.369, "105#circ");
1289     Tl.DrawLatex(0.754, 0.177, "135#circ");
1290     Tl.DrawLatex(0.561, 0.064, "165#circ");
1291     Tl.DrawLatex(0.323, 0.064, "195#circ");
1292     Tl.DrawLatex(0.121, 0.177, "225#circ");
1293     Tl.DrawLatex(0.007, 0.369, "255#circ");
1294     Tl.DrawLatex(0.007, 0.59, "285#circ");
1295     Tl.DrawLatex(0.121, 0.785, "315#circ");
1296     Tl.DrawLatex(0.323, 0.895, "345#circ");
1297 }
1298
1299 //18bins
1300 if (nBinPhiAddition == 18) {
1301     Tl.DrawLatex(0.595, 0.884, "20#circ");
1302     Tl.DrawLatex(0.826, 0.698, "60#circ");
1303     Tl.DrawLatex(0.878, 0.404, "100#circ");
1304     Tl.DrawLatex(0.725, 0.153, "140#circ");
1305     Tl.DrawLatex(0.153, 0.153, "220#circ");
1306     Tl.DrawLatex(0., 0.404, "260#circ");
1307     Tl.DrawLatex(0.049, 0.698, "300#circ");
1308     Tl.DrawLatex(0.290, 0.884, "340#circ");
1309 }
1310
1311
1312 //theta axis labels
1313 if (nBinThetaAddition == 9) {
1314     Tl.SetTextColor(kGray+1);
1315     Tl.DrawLatex(.446, 0.59, "25#circ");
1316     Tl.DrawLatex(.446, 0.677, "45#circ");
1317     Tl.DrawLatex(.446, 0.763, "65#circ");
1318     Tl.DrawLatex(.446, 0.851, "85#circ");
1319 }
1320
1321
1322 //~ gPad->Modified();
1323 //~ //gPad->Update();
1324
1325 //headline as latex text
1326 Tl.SetTextColor(kBlack);
1327 Tl.SetTextSize(40);
1328 Tl.DrawLatex(.326, 0.957, "Relativer\u2297Fehler");
1329
1330 Tl.SetTextSize(32);
1331 //~ Tl.DrawLatex(0.451, 0.907, "N");
1332 //~ Tl.DrawLatex(0.449, 0.049, "S");
1333 //~ Tl.DrawLatex(0.887, 0.48, "E");
1334 //~ Tl.DrawLatex(0.007, 0.48, "W");

```

```

1335
1336
1337 //plot of flux
1338 TCanvas* c2 = new TCanvas("c2", "Polar Flux", 0, 10, 1000, 1000)
1339 ;
1340 //MergedHist ->GetZaxis() ->SetRangeUser(0, 4);
1341 c2->SetFillStyle(3305);
1342 c2->SetFillColor(kBlack);
1343 c2->SetTheta(90);
1344 c2->SetPhi(0);
1345 MergedHist->Draw("SURF1POLZ");
1346 c2->Update();
1347 palette = (TPaletteAxis*)MergedHist->GetListOfFunctions() ->
1348     FindObject("palette");
1349 palette->SetX1NDC(0.925);
1350 palette->SetX2NDC(0.951);
1351 Tl.SetTextFont(43); Tl.SetTextSize(24); //font
1352 Tl.SetNDC(); //use ndc coordinates
1353 //36bins
1354 if (nBinPhiAddition == 36) {
1355     Tl.DrawLatex(0.561, 0.895, "15#circ");
1356     Tl.DrawLatex(0.761, 0.785, "45#circ");
1357     Tl.DrawLatex(0.872, 0.59, "75#circ");
1358     Tl.DrawLatex(0.872, 0.369, "105#circ");
1359     Tl.DrawLatex(0.754, 0.177, "135#circ");
1360     Tl.DrawLatex(0.561, 0.064, "165#circ");
1361     Tl.DrawLatex(0.323, 0.064, "195#circ");
1362     Tl.DrawLatex(0.121, 0.177, "225#circ");
1363     Tl.DrawLatex(0.007, 0.369, "255#circ");
1364     Tl.DrawLatex(0.007, 0.59, "285#circ");
1365     Tl.DrawLatex(0.121, 0.785, "315#circ");
1366     Tl.DrawLatex(0.323, 0.895, "345#circ");
1367 }
1368 //18bins
1369 if (nBinPhiAddition == 18) {
1370     Tl.DrawLatex(0.595, 0.884, "20#circ");
1371     Tl.DrawLatex(0.826, 0.698, "60#circ");
1372     Tl.DrawLatex(0.878, 0.404, "100#circ");
1373     Tl.DrawLatex(0.725, 0.153, "140#circ");
1374     Tl.DrawLatex(0.153, 0.153, "220#circ");
1375     Tl.DrawLatex(0., 0.404, "260#circ");
1376     Tl.DrawLatex(0.049, 0.698, "300#circ");
1377     Tl.DrawLatex(0.290, 0.884, "340#circ");
1378 }
1379 //theta axis labels
1380 if (nBinThetaAddition == 9) {
1381     Tl.SetTextColor(kGray+1);
1382     Tl.DrawLatex(.446, 0.59, "25#circ");
1383     Tl.DrawLatex(.446, 0.677, "45#circ");
1384     Tl.DrawLatex(.446, 0.763, "65#circ");
1385     Tl.DrawLatex(.446, 0.851, "85#circ");
1386 }
1387

```

```

1388
1389
1390 //~ gPad->Modified();
1391 //~ //gPad->Update();
1392
1393 //headline as latex text
1394 Tl.SetTextColor(kBlack);
1395 Tl.SetTextSize(40);
1396 Tl.DrawLatex(.326, 0.957, "Fluxin1/(m2#upoints#upointsr)
1397 ");
1398 Tl.SetTextSize(32);
1399 //~ Tl.DrawLatex(0.451, 0.907, "N");
1400 //~ Tl.DrawLatex(0.449, 0.049, "S");
1401 //~ Tl.DrawLatex(0.887, 0.48, "E");
1402 //~ Tl.DrawLatex(0.007, 0.48, "W");
1403
1404 //-----
1405 //
1406 // output file - save added histograms to .root file
1407 //-----
1408
1409 ostringstream filenamestream;
1410 filenamestream << "Results/Mts4Runs";
1411 for (Int_t j = 0; j < nHist; j++)
1412     filenamestream << runNumber[j] << "_";
1413 filenamestream << "added" ;
1414 string rootoutput = filenamestream.str();
1415 rootoutput.append(".root");
1416 TFile outfile (rootoutput.c_str(), "RECREATE");
1417 if (outfile.IsZombie() == true) {
1418     sprintf(buffer, "Output File could not be created");
1419     new MtsPopup(gClient->GetRoot(), MainFrame, 5, 5, buffer);
1420     return;
1421 }
1422 MergedHist->Write();
1423 dMergedHist->Write();
1424 outfile.Close();
1425
1426 //~ string pdfoutput = filenamestream.str();
1427 //~ pdfoutput.append(".png");
1428 //~ c2->SaveAs(pdfoutput.c_str());
1429 }
1430
1431 //!Calculate the integrated muon flux by multiplying the content
1432 // of each bin with the solid angle
1433 void MtsMain::CalculateIntegratedFlux()
1434 {
1435     const Int_t nMax = 10;
1436     Int_t runNumber[nMax+1];
1437     Int_t runMin, runMax;
1438     Int_t nHist;
1439     const char *runs_char = RunNumbersT->GetText();
1440     //get run numbers
1441     if (strchr(runs_char, '-') == NULL) {

```

```

1441     nHist = sscanf(runs_char, "%d%d%d%d%d%d%d%d%d",
1442                      &runNumber[0], &runNumber[1], &runNumber[2], &
1443                      runNumber[3],
1444                      &runNumber[4], &runNumber[5], &runNumber[6], &
1445                      runNumber[7],
1446                      &runNumber[8], &runNumber[9], &runNumber[10]);
1447     if (nHist > nMax) {
1448         sprintf(buffer, "too many runs, merge only first %d", nMax);
1449         new MtsPopup(gClient->GetRoot(), MainFrame, 5, 5, buffer);
1450     }
1451 } else {
1452     sscanf(runs_char, "%d%s%d", &runMin, buffer, &runMax);
1453     nHist = runMax - runMin + 1;
1454     if ((runMax - runMin + 1) > nMax) {
1455         sprintf(buffer, "too many runs, only runs %d to %d will be
1456                         merged",
1457                         runMin, runMin + nMax - 1);
1458         new MtsPopup(gClient->GetRoot(), MainFrame, 5, 5, buffer);
1459     }
1460     for (Int_t i = 0; i < nHist; i++)
1461         runNumber[i] = runMin + i;
1462 }
1463 ostringstream filenamestream;
1464 filenamestream << "Results/Mts4Runs";
1465 for (Int_t j = 0; j < nHist; j++)
1466     filenamestream << runNumber[j] << "_";
1467 filenamestream << "added" ;
1468 string rootinput = filenamestream.str();
1469 rootinput.append(".root");
1470 TFile rootFile (rootinput.c_str(), "READ");
1471 if (rootFile.IsZombie() == true) {
1472     new MtsPopup(gClient->GetRoot(), MainFrame, 5, 5, "Please
1473                         perform multiple
1474                         file analysis first.");
1475     return;
1476 }
1477 TH2F* MergedHist = (TH2F*) rootFile.Get("FluxHistogram");
1478 TH2F* dMergedHist = (TH2F*) rootFile.Get("Flux_error");
1479 Int_t nBinPhiIntegral = MergedHist->GetNbinsX();
1480 Int_t nBinThetaIntegral = MergedHist->GetNbinsY();
1481 Double_t actualTheta;
1482 dPhi = (phiMax - phiMin) / nBinPhiIntegral;
1483 dTheta = (thetaMax - thetaMin) / (nBinThetaIntegral - 1);
1484 Double_t omega = 2 * PI * (cos(0) - cos(dTheta * PI / 180.));
1485 Double_t integratedFlux = MergedHist->GetBinContent(1, 2) *
1486     omega;
1487 Double_t dIntegratedFlux = dMergedHist->GetBinContent(1, 2) *
1488     omega;
1489 for (Int_t Ny = 3; Ny < nBinThetaIntegral + 1; Ny++) {

```

```

1490     for (Int_t Nx = 1; Nx < nBinPhiIntegral + 1; Nx++) {
1491         actualTheta = (Ny - 2.) * dTheta;
1492         omega = dPhi * PI / 180. * (cos(actualTheta * PI / 180.)
1493                                         - cos((actualTheta + dTheta) *
1494                                               PI / 180.));
1495         integratedFlux += MergedHist->GetBinContent(Nx, Ny) * omega;
1496         dIntegratedFlux += dMergedHist->GetBinContent(Nx, Ny) *
1497             omega;
1498     }
1499 }
1500 sprintf(buffer, "Integrated Flux = (%lf +/- %lf) / m^2/s",
1501           integratedFlux,
1502           dIntegratedFlux);
1503 new MtsPopup(gClient->GetRoot(), MainFrame, 5, 5, buffer);
1504 rootFile.Close();
1505 }
1506 // Show output of multiple file analysis
1507 void MtsMain::MultiplePlot()
1508 {
1509     //get filename from textbox in ui
1510     const Int_t nMax = 10;
1511     Int_t runNumber[nMax+1];
1512     Int_t runMin, runMax;
1513     Int_t nHist;
1514     const char *runs_char = RunNumbersT->GetText();
1515     if (strchr(runs_char, '-') == NULL) {
1516         nHist = sscanf(runs_char, "%d%d%d%d%d%d%d%d%d%d",
1517                         &runNumber[0],
1518                         &runNumber[1], &runNumber[2], &runNumber[3], &
1519                         runNumber[4],
1520                         &runNumber[5], &runNumber[6], &runNumber[7], &
1521                         runNumber[8],
1522                         &runNumber[9], &runNumber[10]);
1523     if (nHist > nMax) {
1524         new MtsPopup(gClient->GetRoot(), MainFrame, 5, 5, "too many runs");
1525         return;
1526     }
1527     }
1528     else {
1529         sscanf(runs_char, "%d%s%d", &runMin, buffer, &runMax);
1530         nHist = runMax - runMin + 1;
1531         if (nHist > nMax) {
1532             new MtsPopup(gClient->GetRoot(), MainFrame, 5, 5, "too many runs");
1533         }
1534         for (Int_t i = 0; i < nHist; i++)
1535             runNumber[i] = runMin + i;
1536     }
1537     ostringstream filenamesstream;
1538     filenamesstream << "Results/Mts4Runs";
1539     for (Int_t j = 0; j < nHist; j++)
1540         filenamesstream << runNumber[j] << "_";

```

```

1537     filenamestream << "added" ;
1538
1539     string pdfoutput = filenamestream.str();
1540     pdfoutput.append(".pdf");
1541     sprintf(Command, "xpdf %s", pdfoutput.c_str());
1542     returnCode = system(Command);
1543 }
1544
1545
1546 //! Save settings
1547 void MtsMain::CloseWindow()
1548 {
1549     timer->TurnOff();
1550     ofstream oldSettings("temp/OldSettings.temp");
1551     if (!oldSettings.good()) {
1552         return;
1553     }
1554     oldSettings << "UpdateInterval" << UpdateIntervalT->
1555         GetIntNumber() << endl;
1556     oldSettings << "ProcessRunNo" << ProcessRunNumberT->
1557         GetIntNumber() << endl;
1558     oldSettings << "BinsizeTheta" << BinsizeThetaT->GetNumber() <<
1559         endl;
1560     oldSettings << "BinsizePhi" << BinsizePhiT->GetNumber() << endl
1561         ;
1562     oldSettings << "Timebin" << TimebinT->GetIntNumber() << endl;
1563     oldSettings << "PolarAngle" << PolarAngleT->GetNumber() << endl
1564         ;
1565     oldSettings << "AzimuthalAngle" << AzimuthalAngleT->GetNumber()
1566         << endl;
1567     if (OtherRotationB->IsOn())
1568         oldSettings << "OtherRotation" << 1 << endl;
1569     else
1570         oldSettings << "OtherRotation" << 0 << endl;
1571     oldSettings << "RunNumbers" << RunNumbersT->GetText() << endl;
1572     oldSettings.close();
1573
1574 MtsMain::~MtsMain()
1575 {
1576     phiMin = 0.;
1577     phiMax = 360.;
1578     thetaMin = 0.;
1579     thetaMax = 90.;
1580     isConnected = false;
1581
1582     //open GuiSettings.ini to get IpAddress
1583     FILE* GuiSettings = fopen("ini/GuiSettings.ini", "r");
1584     if (GuiSettings == NULL) {
1585         cerr << "File named 'ini/GuiSettings.ini' cannot be read. Exit

```

```

        " << endl;
1586     exit(1);
1587 }
1588 Char_t guiSetName[100], guiSetValue[100], address[100];
1589 while (!feof(GuiSettings)) {
1590     returnCode = fscanf(GuiSettings, "%s%s", guiSetName,
1591                         guiSetValue);
1592     if (strcmp(guiSetName, "NChambers") == 0)
1593         sscanf(guiSetValue, "%d", &nChamber);
1594     else if (strcmp(guiSetName, "IpAddress") == 0)
1595         strcpy(address, guiSetValue);
1596     ipAddressString = address;
1597     fclose(GuiSettings);
1598
1599 //GUI components
1600
1601 /////////////
1602 // main frame
1603 /////////////
1604 MainFrame = new TGMainFrame(gClient->GetRoot(), 10, 10,
1605                             kMainFrame | kVerticalFrame);
1606 MainFrame->SetName("MainFrame");
1607 MainFrame->SetLayoutBroken(kTRUE);
1608 MainFrame->SetWindowName("Mts4GUI");
1609 MainFrame->Connect("CloseWindow()", "MtsMain", this,
1610                      "CloseWindow()");
1611 /////////////
1612 // IP frame
1613 /////////////
1614 TGVerticalFrame *IpFrame = new TGVerticalFrame(MainFrame, 360,
1615                                                 32);
1616 IpFrame->SetName("IpFrame");
1617 IpFrame->SetLayoutBroken(kTRUE);
1618
1619 //IP label
1620 TLabel *IpAddressL = new TLabel(IpFrame, "IP address");
1621 IpFrame->AddFrame(IPAddressL);
1622 IPAddressL->Move(8, 9);
1623
1624 //IP text
1625 IPAddressT = new TGTextEntry(IpFrame);
1626 IPAddressT->SetAlignment(kTextRight);
1627 IPAddressT->SetText(address);
1628 IpFrame->AddFrame(IPAddressT);
1629 IPAddressT->MoveResize(204, 6, 126, 22);
1630 IPAddressT->Connect("TextChanged(char*)", "MtsMain",
1631                       this, "TextEdit(char*)");
1632 IPAddressT->SetToolTipText("Ip address of the muon telescopes
1633                               raspberry pi,\n
1634                               standard is 192.168.0.1");
1635 MainFrame->AddFrame(IpFrame);
1636 IpFrame->MoveResize(8, 8, 360, 32);

```

```

1636
1637 /////////////////
1638 // control run frame
1639 /////////////////
1640 TGGroupFrame *ControlRunF = new TGGroupFrame(MainFrame, "Control
1641 Run");
1642 ControlRunF->SetLayoutBroken(kTRUE);
1643
1644 //run number label
1645 TLabel *RunNumberL = new TLabel(ControlRunF, "RunNumber");
1646 ControlRunF->AddFrame(RunNumberL);
1647 RunNumberL->Move(8, 24);
1648
1649 //run number text
1650 RunNumberT = new TNumberEntry(ControlRunF, 50, 5, -1,
1651 TGNumberFormat::kNESInteger,
1652 TGNumberFormat::kNEANonNegative);
1653 ControlRunF->AddFrame(RunNumberT);
1654 RunNumberT->MoveResize(204, 24, 126, 18);
1655 runNumberInt = RunNumberT->GetIntNumber();
1656 RunNumberT->GetNumberEntry()->SetToolTipText("run number for
1657 current"
1658 "measurement");
1659
1660 //statistics label
1661 TLabel *StatisticsL = new TLabel(ControlRunF, "Statistics");
1662 ControlRunF->AddFrame(StatisticsL);
1663 StatisticsL->Move(8, 46);
1664
1665 //statistics text
1666 StatisticsT = new TNumberEntry(ControlRunF, -1, 6, -1,
1667 TGNumberFormat::kNESInteger);
1668 ControlRunF->AddFrame(StatisticsT);
1669 StatisticsT->MoveResize(204, 46, 126, 18);
1670 StatisticsT->GetNumberEntry()->SetToolTipText("number of events
1671 till the"
1672 "measurements stop
1673 ", \n"
1674 "-1 for infinite
1675 measuring"
1676 "until manual
1677 stopping");
1678
1679 //used gas label
1680 TLabel *UsedGasL = new TLabel(ControlRunF, "UsedGas");
1681 ControlRunF->AddFrame(UsedGasL);
1682 UsedGasL->Move(8, 68);
1683
1684 //used gas text
1685 UsedGasT = new TTextEntry(ControlRunF);
1686 UsedGasT->SetAlignment(kTextRight);
1687 UsedGasT->SetText("Ar:CO2:82:18");
1688 ControlRunF->AddFrame(UsedGasT);
1689 UsedGasT->MoveResize(204, 68, 126, 18);
1690 UsedGasT->SetToolTipText("information on used gas");

```

```

1685
1686 //high voltage sense wire label
1687 TLabel *HV_SenseWireL = new TLabel(ControlRunF, "HV: Sense"
1688     Wire[V] );
1689 ControlRunF->AddFrame(HV_SenseWireL);
1690 HV_SenseWireL->Move(8,90);
1691
1692 //high voltage sense wire text
1693 HV_SenseWireT = new TGNumberEntry(ControlRunF, 1060, 6, -1,
1694                                     TGNumerFormat::kNESInteger,
1695                                     TGNumerFormat::kNEAPositive);
1696 ControlRunF->AddFrame(HV_SenseWireT);
1697 HV_SenseWireT->MoveResize(204, 90, 126, 18);
1698 HV_SenseWireT->GetNumberEntry()->SetToolTipText("High Voltage on
1699     the sense"
1700                                         " wires in V");
1701
1702 //high voltage sense wire current label
1703 TLabel *HV_SW_CurrentL = new TLabel(ControlRunF, "HV: SW"
1704     Current[nA] );
1705 ControlRunF->AddFrame(HV_SW_CurrentL);
1706 HV_SW_CurrentL->Move(8, 112);
1707
1708 //high voltage sense wire current text
1709 HV_SW_CurrentT = new TGNumberEntry(ControlRunF, 2, 6, -1,
1710                                     TGNumerFormat::kNESInteger);
1711 ControlRunF->AddFrame(HV_SW_CurrentT);
1712 HV_SW_CurrentT->MoveResize(204, 112, 126, 18);
1713 HV_SW_CurrentT->GetNumberEntry()->SetToolTipText("Current on the
1714     sense wires"
1715                                         " in nA");
1716
1717 //additional information label
1718 TLabel *AdditionalInfoL = new TLabel(ControlRunF,
1719                                         "Additional Run
1720                                         Information");
1721 ControlRunF->AddFrame(AdditionalInfoL);
1722 AdditionalInfoL->Move(8, 134);
1723
1724 //additional information textbox
1725 AdditionalInformationT = new TGTextEdit(ControlRunF, 324, 80);
1726 ControlRunF->AddFrame(AdditionalInformationT);
1727 AdditionalInformationT->MoveResize(8, 156, 324, 80);
1728 Pixel_t pxl;
1729 gClient->GetColorByName("#3399ff", pxl);
1730 AdditionalInformationT->SetSelectBack(pxl);
1731 AdditionalInformationT->SetSelectFore(TGFrame::GetWhitePixel());
1732
1733 //status label
1734 StatusL = new TLabel(ControlRunF, "Status");
1735 StatusL->SetTextJustify(kTextLeft);
1736 ControlRunF->AddFrame(StatusL);
1737 StatusL->MoveResize(8, 240, 300, 18);
1738
1739 //events label

```

```

1735 EventsL = new TLabel(ControlRunF, "Events");
1736 EventsL->SetTextJustify(kTextLeft);
1737 ControlRunF->AddFrame(EventsL);
1738 EventsL->MoveResize(8, 262, 300, 18);
1739
1740 //Start, Update and Stop Buttons
1741 TGTextButton *StartB = new TGTextButton(ControlRunF, "Start");
1742 ControlRunF->AddFrame(StartB);
1743 StartB->MoveResize(8, 284, 80, 24);
1744 StartB->Connect("Clicked()", "MtsMain", this, "Start()");
1745 StartB->SetToolTipText("Verifies connection to the raspberry and
1746   "non-existence of the specified run. \
1747   nAfter that the "
1748   "measurement is started.");
1749
1750 TGTextButton *UpdateB = new TGTextButton(ControlRunF, "Update");
1751 ControlRunF->AddFrame(UpdateB);
1752 UpdateB->MoveResize(125, 284, 80, 24);
1753 UpdateB->Connect("Clicked()", "MtsMain", this, "Update()");
1754 UpdateB->SetToolTipText("Updates run status labels with current
1755   measurement"
1756   " status");
1757
1758 TGTextButton *StopB = new TGTextButton(ControlRunF, "Stop");
1759 ControlRunF->AddFrame(StopB);
1760 StopB->MoveResize(247, 284, 80, 24);
1761 StopB->Connect("Clicked()", "MtsMain", this, "Stop()");
1762 StopB->SetToolTipText("Stops the measurement");
1763
1764 //Update Interval label
1765 TLabel *UpdateIntervalL = new TLabel(ControlRunF, "Update\
1766   Interval[min]");
1767 ControlRunF->AddFrame(UpdateIntervalL);
1768 UpdateIntervalL->Move(8, 313);
1769
1770 //Update Interval text
1771 TGNumberEntry *UpdateIntervalT = new TGNumberEntry(ControlRunF, 30, 6, -1,
1772                                         TGNumberFormat::kNESInteger,
1773                                         TGNumberFormat::
1774                                         kNEANonNegative);
1775 ControlRunF->AddFrame(UpdateIntervalT);
1776 UpdateIntervalT->MoveResize(204, 313, 126, 18);
1777 UpdateIntervalT->Connect("ValueSet(Long_t)", "MtsMain",
1778                           this, "UpdateIntervalEdit(Long_t)");
1779 UpdateIntervalT->GetNumberEntry()->SetToolTipText("time in \
1780   minutes in between"
1781   " updates");
1782
1783 //ControlRunF->SetLayoutManager(new TGVerticalLayout(ControlRunF
1784   ));
1785 MainFrame->AddFrame(ControlRunF);
1786 ControlRunF->MoveResize(8, 48, 342, 344);
1787
1788 /////////////////////////////////

```

```

1783 //process data frame
1784 /////////////////////////////////
1785
1786 TGGroupFrame *ProcessDataF = new TGGroupFrame(MainFrame, "ProcessData");
1787 ProcessDataF->SetLayoutBroken(kTRUE);
1788
1789 //copy data and remove data button
1790 TGTextButton *CopyDataB = new TGTextButton(ProcessDataF, "CopyData");
1791 ProcessDataF->AddFrame(CopyDataB);
1792 CopyDataB->MoveResize(50, 24, 100, 24);
1793 CopyDataB->Connect("Clicked()", "MtsMain", this, "CopyData()");
1794 CopyDataB->SetToolTipText("Opens a popup window, that enables you to copy\n"
1795                                     "the measurement data from the raspberry to your device");
1796
1797
1798 TGTextButton *RemoveDataB = new TGTextButton(ProcessDataF, "RemoveData");
1799 ProcessDataF->AddFrame(RemoveDataB);
1800 RemoveDataB->MoveResize(192, 24, 100, 24);
1801 RemoveDataB->Connect("Clicked()", "MtsMain", this, "RemoveData()");
1802 RemoveDataB->SetToolTipText("Opens a popup window, that enables you to remove measurement data from the raspberry");
1803
1804
1805 //single file analysis label
1806 TLabel *SingleFileL = new TLabel(ProcessDataF, "SingleFileAnalysis");
1807 ProcessDataF->AddFrame(SingleFileL);
1808 SingleFileL->Move(12, 53);
1809
1810 //separator line
1811 TGHorizontal3DLine *SingleLine = new TGHorizontal3DLine(
1812     ProcessDataF, 209, 8);
1813 ProcessDataF->AddFrame(SingleLine);
1814 SingleLine->MoveResize(130, 62, 209, 7);
1815
1816 //run number for processing label
1817 TLabel *ProcessRunNumberL = new TLabel(ProcessDataF, "RunNumber");
1818 ProcessDataF->AddFrame(ProcessRunNumberL);
1819 ProcessRunNumberL->Move(8, 81);
1820
1821 //run number for processing text
1822 ProcessRunNumberT = new TGNumberEntry(ProcessDataF, 53, 6, -1,
1823                                         TNumberFormat::kNESInteger,
1824                                         TNumberFormat::kNEAPositive);
1825
1826 ProcessDataF->AddFrame(ProcessRunNumberT);

```

```

1825 ProcessRunNumberT->MoveResize(104, 81, 50, 18);
1826 ProcessRunNumberT->GetNumberEntry()->SetToolTipText("run number
1827           for analysing"
1828           " a single
1829           run");
1830 TLabel *BinsizeThetaL = new TLabel(ProcessDataF, "Binsize
1831           Theta");
1832 ProcessDataF->AddFrame(BinsizeThetaL);
1833 BinsizeThetaL->Move(8, 103);
1834 //theta binsize text
1835 BinsizeThetaT = new TGNumberEntry(ProcessDataF, 5.0, 6, -1,
1836                                     TGNFormat::kNESReal,
1837                                     TGNFormat::kNEAPositive,
1838                                     TGNFormat::
1839                                     kNELLimitMinMax,
1840                                     phiMin, phiMax);
1841 ProcessDataF->AddFrame(BinsizeThetaT);
1842 BinsizeThetaT->MoveResize(104, 103, 50, 18);
1843 BinsizeThetaT->GetNumberEntry()->SetToolTipText("size of one
1844           theta bin"
1845           " polar direction
1846           ) in degree")
1847           ;
1848 //phi binsize label
1849 TLabel *BinsizePhiL = new TLabel(ProcessDataF, "BinsizePhi");
1850 ProcessDataF->AddFrame(BinsizePhiL);
1851 BinsizePhiL->Move(8, 125);
1852 //phi binsize text
1853 BinsizePhiT = new TGNumberEntry(ProcessDataF, 10.0, 6, -1,
1854                                     TGNFormat::kNESReal,
1855                                     TGNFormat::kNEAPositive,
1856                                     TGNFormat::kNELLimitMinMax,
1857                                     thetaMin, thetaMax);
1858 ProcessDataF->AddFrame(BinsizePhiT);
1859 BinsizePhiT->MoveResize(104, 125, 50, 18);
1860 BinsizePhiT->GetNumberEntry()->SetToolTipText("size of one phi
1861           bin (azimuthal"
1862           " direction) in
1863           degree");
1864 //timebin label
1865 TLabel *TimebinL = new TLabel(ProcessDataF, "Timebins");
1866 ProcessDataF->AddFrame(TimebinL);
1867 TimebinL->Move(8, 147);
1868 //timebin text
1869 TimebinT = new TGNumberEntry(ProcessDataF, 25, 6, -1,
1870                                     TGNFormat::kNESInteger,
1871                                     TGNFormat::kNEAPositive);
1872 ProcessDataF->AddFrame(TimebinT);

```

```

1871 TimebinT->MoveResize(104, 147, 50, 18);
1872 TimebinT->GetNumberEntry()->SetToolTipText("number of timebins"
1873                                     "for the"
1874                                     "analysis");
1875 //polar angle label
1876 TLabel *PolarAngleL = new TLabel(ProcessDataF, "Polar angle");
1877 ProcessDataF->AddFrame(PolarAngleL);
1878 PolarAngleL->Move(172, 90);
1879
1880 //polar angle text
1881 PolarAngleT = new TGNumberEntry(ProcessDataF, 0, 6, -1,
1882                                 TNumberFormat::kNESReal,
1883                                 TNumberFormat::kNEAAnyNumber);
1884 ProcessDataF->AddFrame(PolarAngleT);
1885 PolarAngleT->MoveResize(266, 88, 50, 18);
1886 PolarAngleT->GetNumberEntry()->SetToolTipText("rotation angle"
1887                                     "for the polar"
1888                                     "angle theta in"
1889                                     "degree\n"
1890                                     "check"
1891                                     "documentation"
1892                                     "for more"
1893                                     "information on"
1894                                     "rotations");
1895
1896 //azimuthal angle label
1897 TLabel *AzimuthalAngleL = new TLabel(ProcessDataF, "Azimuthal angle");
1898 ProcessDataF->AddFrame(AzimuthalAngleL);
1899 AzimuthalAngleL->Move(172, 112);
1900
1901 //azimuthal angle text
1902 AzimuthalAngleT = new TGNumberEntry(ProcessDataF, 0, 6, -1,
1903                                 TNumberFormat::kNESReal,
1904                                 TNumberFormat::
1905                                 kNEAAnyNumber);
1906 ProcessDataF->AddFrame(AzimuthalAngleT);
1907 AzimuthalAngleT->MoveResize(266, 112, 50, 18);
1908 AzimuthalAngleT->GetNumberEntry()->SetToolTipText("rotation"
1909                                     "angle for the"
1910                                     "azimuthal"
1911                                     "angle phi"
1912                                     "in degree"
1913                                     "ncheck"
1914                                     "documentation"
1915                                     "for more"
1916                                     "information"
1917                                     "on"
1918                                     "rotations")
1919 ;
1920
1921 //other rotation label
1922 TLabel *OtherRotationL = new TLabel(ProcessDataF, "Other"
1923                                     "Rotation");

```

```

1910 ProcessDataF->AddFrame(OtherRotationL);
1911 OtherRotationL->Move(172, 134);
1912
1913 //other rotation check button
1914 OtherRotationB = new TGCheckButton(ProcessDataF, "");
1915 ProcessDataF->AddFrame(OtherRotationB);
1916 OtherRotationB->MoveResize(284, 134, 15, 18);
1917 OtherRotationB->SetToolTipText("check, if you want to rotate
1918 around different"
1919                                     " axes\ncheck documentation for
1920                                     more"
1921                                     " information on rotations");
1920
1921 //single analysis and show plots button
1922 TGTextButton *SingleAnalysisB = new TGTextButton(ProcessDataF, "Analyze");
1923 ProcessDataF->AddFrame(SingleAnalysisB);
1924 SingleAnalysisB->MoveResize(50, 169, 100, 24);
1925 SingleAnalysisB->Connect("Clicked()", "MtsMain", this, "Analyze
1926 ());
1926 SingleAnalysisB->SetToolTipText("Opens a popup, that provides
1927 different"
1928                                     " options for the analysis of a
1929                                     run.\n"
1930                                     "1. run analysis: calculates
1931                                     tracks from"
1932                                     " measurement data\n"
1933                                     "2. polar analysis: calculates a
1934                                     polar 2D"
1935                                     "plot\n"
1936                                     "3. full analysis: performs run
1937                                     analysis"
1938                                     "first and polar analysis second
1939                                     ");
1940
1941 TGTextButton *SingleShowPlotsB = new TGTextButton(ProcessDataF,
1942                                     "Show Plots");
1943 ProcessDataF->AddFrame(SingleShowPlotsB);
1944 SingleShowPlotsB->MoveResize(192, 169, 100, 24);
1945 SingleShowPlotsB->Connect("Clicked()", "MtsMain", this, "SinglePlot());
1946 SingleShowPlotsB->SetToolTipText("Opens the .pdf created during
1947 run analysis,"
1948                                     " which contains several plots
1949                                     for stability"
1950                                     " assessment, a cartesian
1951                                     bitmap of the"
1952                                     " muons and, after executing
1953                                     polar analysis, a
1954                                     polar 2D plot of the
1955                                     muonflux");
1956
1957 //multiple file analysis label
1958 TLabel *ManyFilesL = new TLabel(ProcessDataF, "Multiple File
1959 Analysis");

```

```

1947 ProcessDataF->AddFrame(ManyFilesL);
1948 ManyFilesL->Move(12, 198);
1949
1950 //separator
1951 TGHorizontal3DLine *ManyLine = new TGHorizontal3DLine(
1952     ProcessDataF, 201, 8);
1953 ProcessDataF->AddFrame(ManyLine);
1954 ManyLine->MoveResize(138, 207, 201, 8);
1955
1956 //run numbers label
1957 TLabel *RunNumbersL = new TLabel(ProcessDataF, "RunUNumbers");
1958 ProcessDataF->AddFrame(RunNumbersL);
1959 RunNumbersL->Move(7, 224);
1960
1961 //run numbers text
1962 RunNumbersT = new TGTextEntry(ProcessDataF);
1963 RunNumbersT->SetAlignment(kTextRight);
1964 ProcessDataF->AddFrame(RunNumbersT);
1965 RunNumbersT->MoveResize(156, 224, 174, 18);
1966 RunNumbersT->SetToolTipText("compilationUofUrunsUforUoneU
1967 telescopeUlocation,  

1968
1969 //multiple analysis and multiple show plots buttons
1970 TGTextButton *MultipleAnalyseB = new TGTextButton(ProcessDataF,
1971     "Analyze");
1972 ProcessDataF->AddFrame(MultipleAnalyseB);
1973 MultipleAnalyseB->MoveResize(8, 248, 80, 24);
1974 MultipleAnalyseB->Connect("Clicked()", "MtsMain", this,
1975     "GetWeightedHistogramMean()");
1976 MultipleAnalyseB->SetToolTipText("PerformsUtheUweightedUmeanU
1977     withUtheUpolarU  

1978
1979 TGTextButton *MultiplePlotsB = new TGTextButton(ProcessDataF, "ShowUPlots");
1980 ProcessDataF->AddFrame(MultiplePlotsB);
1981 MultiplePlotsB->MoveResize(125, 248, 80, 24);
1982 MultiplePlotsB->Connect("Clicked()", "MtsMain", this,
1983     "MultiplePlot()");
1984 MultiplePlotsB->SetToolTipText("OpensUtheU.pdf, thatUcontainsU
1985     theUresult  

1986
1987 TGTextButton *IntegratedFluxB = new TGTextButton(ProcessDataF,
1988     "IntegrateUFlux");
1989 ProcessDataF->AddFrame(IntegratedFluxB);
1990 IntegratedFluxB->MoveResize(246, 248, 82, 24);
1991 IntegratedFluxB->Connect("Clicked()", "MtsMain", this,
1992     "CalculateIntegratedFlux()");
```

### C. Quellcode

```
1991     IntegratedFluxB->SetToolTipText("Calculate the Integrated Flux  
1992         by adding up  
1993             " each bin multiplied with its  
1994                 solid angle.");
1995
1996
1997     timer = new TTimer();
1998     timer->Connect("Timeout()", "MtsMain", this, "Update()");
1999     timer->Start(UpdateIntervalT->GetIntNumber() * 60 * 1000);
2000     Startup();
2001
2002     MainFrame->SetCleanup(kDeepCleanup);
2003     MainFrame->SetMWMHints( kMWMDecorAll, kMWMFuncAll,
2004         kMWMInputModeless);
2005     MainFrame->MapSubwindows();
2006     MainFrame->MapWindow();
2007     MainFrame->Resize(356,681);
2008 }
2009 //! Calculates a polar plot starting from the slopes of the muon
2010 //! tracks
2011 /*!
2012     Takes all found tracks from the analysis, calculates the polar
2013         coordinates,
2014     * fills those into a 2D histogram and calculates the flux with
2015         its
2016     * respective error. The result is shown as a polar color plot
2017         and all
2018     * parameters are saved in a .txt file.
2019 */
2020 void MtsMain::AnalyzePolar()
2021 {
2022     Double_t Acceptance;
2023
2024     cerr << runToAnalyze << " " << time << " " << polarAngleDegree
2025         << " ";
2026     cerr << azimuthalAngleDegree << " " << nBinPhi << " " <<
2027         nBinTheta << " ";
2028     cerr << polarRotation << " " << azimuthalRotation << endl;
2029
2030     //height in channel units
2031     Double_t height = CHAMBER_DISTANCES[N_CHAMBER-1] -
2032         CHAMBER_DISTANCES[0];
2033
2034     //convert degree to radian
2035     Double_t polarAngle = polarAngleDegree * -1. * PI / 180.;
2036     Double_t azimuthalAngle = azimuthalAngleDegree * -1. * PI/180.;
```

```

2036 Double_t mFwEffTrack[N_CHAMBER];
2037 Double_t mPadEffTrigger[N_CHAMBER];
2038 Double_t mFwEffTrigger[N_CHAMBER];
2039
2040 //define output files
2041 ostringstream rn;
2042 rn << runToAnalyze;
2043 string run_number = rn.str();
2044 string rootout = "Results/Mts4Run";
2045 rootout.append(run_number);
2046 rootout.append(".root");
2047 cerr << rootout << endl;
2048
2049 ostringstream OutputStream;
2050 OutputStream << "Results/Mts4Run" << runToAnalyze;
2051 string pdfout = OutputStream.str();
2052 pdfout.append("_polar.pdf");
2053 string txtout = OutputStream.str();
2054 txtout.append(".txt");
2055
2056 //define dummy bin so theta = 0 is plotted, else there was only
2057 //a white
2058 //area for the bins in the middle
2059 Double_t *array = new Double_t[nBinTheta+2];
2060
2061 array[0] = 0;
2062 array[1] = 0.000000001;
2063 for (Int_t i = 2; i < nBinTheta+2; i++) {
2064     array[i] = (i - 1) * (thetaMax - thetaMin) / nBinTheta;
2065 }
2066
2067 //initializing histograms
2068 //acceptance corrected polar bitmap
2069 TH2F* PolarHist = new TH2F(Form("h2d%d", runToAnalyze), "polar",
2070                             nBinPhi, phiMin,
2071                             phiMax, nBinTheta+1, array);
2072 TH2F* FluxHist = new TH2F(Form("hist%d", runToAnalyze), "polar",
2073                            result,
2074                            nBinPhi, phiMin, phiMax, nBinTheta+1,
2075                            array);
2076 TH2F* dFluxHist = new TH2F(Form("error%d", runToAnalyze), "error",
2077                                nBinPhi,
2078                                phiMin, phiMax, nBinTheta+1,
2079                                array);
2080
2081 //polar bitmap without acceptance
2082 TH2I* tracksHist = new TH2I(Form("tracks%d", runToAnalyze), "bitmap",
2083                                nBinPhi,
2084                                phiMin, phiMax, nBinTheta+1, array);
2085
2086 /*TH1F* cutHist = new TH1F(Form("cut %d", runToAnalyze), "cut",
2087                           36, -90, 90);
2088 TH1F* cutHistError = new TH1F(Form("cut1 %d", runToAnalyze), "cut1",
2089                               36, -90, 90);
2090 TH1I* cutHistTracks = new TH1I("a", "cut2", 36, -90, 90);
```

```

2082 Double_t dAngle = 10.;
2083 for (Int_t i = 1; i < 37; i++) {
2084     cutHist->SetBinContent(i, 0);
2085     cutHistError->SetBinContent(i, 0);
2086     cutHistTracks->SetBinContent(i, 0);
2087 } */
2088
2089 delete array;
2090
2091 //initializing efficiency class
2092 TEfficiency* efficiency[N_CHAMBER];
2093 const TH1* passedEff[N_CHAMBER];
2094 const TH1* totalEff[N_CHAMBER];
2095
2096 for (Int_t j = 0; j < N_CHAMBER; j++) {
2097     efficiency[j] = new TEfficiency("eff", "", nBinPhi, phiMin,
2098                                     phiMax,
2099                                     nBinTheta, thetaMin, thetaMax)
2100                                     ;
2101     passedEff[j] = efficiency[j]->GetPassedHistogram();
2102     totalEff[j] = efficiency[j]->GetTotalHistogram();
2103 }
2104
2105 Int_t nTracks = 0;
2106
2107 //initialize TTree
2108 TFile rootFile(rootout.c_str(), "READ");
2109 if (rootFile.IsZombie() == true) {
2110     sprintf(buffer, "Input file could not be opened");
2111     new MtsPopup(gClient->GetRoot(), MainFrame, 5, 5, buffer);
2112     return;
2113 }
2114
2115 TTree* ResultsTree = (TTree*) rootFile.Get("resultsTree");
2116
2117 ResultsTree->SetBranchAddress("actualEvent", &actualEvent);
2118 ResultsTree->SetBranchAddress("mPad", &mPad);
2119 ResultsTree->SetBranchAddress("mFw", &mFw);
2120 ResultsTree->SetBranchAddress("mPadEffTrack", &mPadEffTrack);
2121 ResultsTree->SetBranchAddress("mFwEffTrack", &mFwEffTrack);
2122 ResultsTree->SetBranchAddress("mPadEffTrigger", &mPadEffTrigger)
2123         ;
2124 ResultsTree->SetBranchAddress("mFwEffTrigger", &mFwEffTrigger);
2125
2126 cerr << "test2" << endl;
2127 UInt_t nEntries = ResultsTree->GetEntries();
2128 cerr << "Entries:" << nEntries << endl;
2129 Coord coords;
2130
2131 //loop through all tree elements
2132 for (UInt_t i = 0; i < nEntries; i++) {
2133     ResultsTree->GetEntry(i);
2134     //neglect events with no 6pt track
2135     if (mPad != 1000 && mFw != 1000) {
2136         nTracks++;

```

```

2134     coords.x = mPad;
2135     coords.y = mFw;
2136     coords.z = 1.;
2137     coords.Rotation(polarAngle, polarRotation,
2138                     azimuthalAngle, azimuthalRotation);
2139     coords.CalculatePolarCoord();
2140     //calculate geometrical detector acceptance
2141     //(projection of slope on detector area)
2142     if (N_PAD - height * fabs(mPad) > 0 && N_FW - height * fabs(
2143         mFw) > 0) {
2144         Acceptance = pow(cos(atan(sqrt(mFw * mFw + mPad * mPad))) *
2145                         ,1.) *
2146                         (N_PAD - height * fabs(mPad)) / N_PAD *
2147                         (N_FW - height * fabs(mFw)) / N_FW;
2148     }
2149     else {
2150         Acceptance = 0;
2151     }
2152     //fill acceptance corrected tracks into histogram
2153     if (Acceptance > 0) {
2154         PolarHist->Fill(coords.phi, coords.theta, 1./Acceptance);
2155         tracksHist->Fill(coords.phi, coords.theta);
2156     }
2157     //efficiency calculation for each chamber
2158     for (Int_t j = 0; j < N_CHAMBER; j++) {
2159         Bool_t isTriggered = false;
2160         //check for 5point tracks, where the channel at the 6th
2161         //point was also hit
2162         if (mPadEffTrigger[j] != 1000 && mFwEffTrigger[j] != 1000) {
2163             coords.x = mPadEffTrigger[j];
2164             coords.y = mFwEffTrigger[j];
2165             coords.z = 1.;
2166             coords.Rotation(polarAngle, polarRotation,
2167                             azimuthalAngle, azimuthalRotation);
2168             coords.CalculatePolarCoord();
2169             isTriggered = true;
2170         }
2171         //only 5point tracks (always true, if previous if was true)
2172         if (mPadEffTrack[j] != 1000 && mFwEffTrack[j] != 1000) {
2173             coords.x = mPadEffTrack[j];
2174             coords.y = mFwEffTrack[j];
2175             coords.z = 1.;
2176             coords.Rotation(polarAngle, polarRotation,
2177                             azimuthalAngle, azimuthalRotation);
2178             coords.CalculatePolarCoord();
2179             //fill the polar coordinates into the two efficiency
2180             //histograms
2181             //isTriggered == true: both get filled
2182             //isTriggered == false: only the totalHistogram is filled
2183             efficiency[j]->Fill(isTriggered, coords.phi, coords.theta)
2184         ;
2185     }
2186 }
```

```

2184 }
2185
2186 cerr << "filling histograms finished" << endl;
2187 cerr << "TRACKS" << nTracks << endl;
2188
2189 Double_t omega; //solid angle
2190
2191 //bunch of variables for error calculation
2192 Double_t dChamberEff[N_CHAMBER] = {0.};
2193 Double_t ChamberEff[N_CHAMBER] = {0.};
2194 Double_t effErrorProduct[N_CHAMBER];
2195 Double_t effErrorSum[N_CHAMBER];
2196 Double_t trackingEff;
2197 Double_t dTracks = 0.;
2198 Double_t dFlux;
2199 Double_t dFluxRelative;
2200 Double_t dEffSquared;
2201 Double_t dEff;
2202
2203 //sum up all middle bins and fill dummy bins (Ny = 1)
2204 //and middle bins (Ny = 2) with it
2205 //telescope doesn't have the angular resolution, which would be
2206 //implied
2207 //by the small theta = 0 bins, therefore they're merged to one
2208 //circular bin
2209 Int_t a[N_CHAMBER] = {0}, b[N_CHAMBER] = {0};
2210 Int_t c = 0;
2211 Double_t d = 0;
2212
2213 for (Int_t Nx = 1; Nx < nBinPhi + 1; Nx++) {
2214     d += PolarHist->GetBinContent(Nx, 2);
2215     c += tracksHist->GetBinContent(Nx, 2);
2216     for (Int_t j = 0; j < N_CHAMBER; j++) {
2217         a[j] += totalEff[j]->GetBinContent(totalEff[j]->GetBin(Nx,
2218                                                 1));
2219         b[j] += passedEff[j]->GetBinContent(passedEff[j]->GetBin(Nx,
2220                                                 1));
2221     }
2222 }
2223
2224 for (Int_t Nx = 1; Nx < nBinPhi + 1; Nx++) {
2225     PolarHist->SetBinContent(Nx, 1, d);
2226     PolarHist->SetBinContent(Nx, 2, d);
2227     tracksHist->SetBinContent(Nx, 1, c);
2228     tracksHist->SetBinContent(Nx, 2, c);
2229     for (Int_t j = 0; j < N_CHAMBER; j++) {
2230         efficiency[j]->SetTotalEvents(totalEff[j]->GetBin(Nx, 1), a[
2231             j]);
2232         efficiency[j]->SetPassedEvents(passedEff[j]->GetBin(Nx, 1),
2233                                         b[j]);
2234     }
2235 }
2236
2237 Double_t actualTheta;
2238 Bool_t isMiddleBinCovered = true;

```

```

2233 //loop through all bins
2234 for (Int_t Ny = 2; Ny < nBinTheta + 2; Ny++) {
2235     for (Int_t Nx = 1; Nx < nBinPhi + 1; Nx++) {
2236         actualTheta = (Ny - 2.) * dTheta;
2237         Double_t actualPhi = (Nx - 1) * dPhi;
2238         Int_t currentBin = efficiency[0]->GetGlobalBin(Nx, Ny-1);
2239
2240         //check if bin can be fully filled due to detector geometry
2241         Bool_t isCovered = true;
2242         Double_t mPadTest[4];
2243         Double_t mFwTest[4];
2244
2245         //check at each corner of the bin
2246         mPadTest[0] = cos(actualPhi * PI / 180.) * tan(actualTheta *
2247             PI / 180.);
2248         mPadTest[1] = cos((actualPhi + dPhi) * PI / 180.) *
2249             tan(actualTheta * PI / 180.);
2250         mPadTest[2] = cos(actualPhi * PI / 180.) *
2251             tan((actualTheta + dTheta) * PI / 180.);
2252         mPadTest[3] = cos((actualPhi + dPhi) * PI / 180.)
2253             * tan((actualTheta + dTheta) * PI / 180.);
2254
2255         mFwTest[0] = sin(actualPhi * PI / 180.) * tan(actualTheta *
2256             PI / 180.);
2257         mFwTest[1] = sin((actualPhi + dPhi) * PI / 180.) *
2258             tan(actualTheta * PI / 180.);
2259         mFwTest[2] = sin(actualPhi * PI / 180.) *
2260             tan((actualTheta + dTheta) * PI / 180.);
2261         mFwTest[3] = sin((actualPhi + dPhi) * PI / 180.) *
2262             tan((actualTheta + dTheta) * PI / 180.);
2263
2264         for (Int_t i = 0; i < 4; i++) {
2265             Coord coords2;
2266             coords2.x = mPadTest[i];
2267             coords2.y = mFwTest[i];
2268             coords2.z = 1.;
2269             //rotate back to detector system
2270             coords2.Rotation(-azimuthalAngle, azimuthalRotation,
2271                             -polarAngle, polarRotation);
2272             Double_t mPadNew = coords2.x / coords2.z;
2273             Double_t mFwNew = coords2.y / coords2.z;
2274             //check if extreme slopes in this bin can be measured with
2275             //6 points
2276             //in detector volume
2277             if (N_PAD - height * fabs(mPadNew) <= 0 ||
2278                 N_FW - height * fabs(mFwNew) <= 0) {
2279                 isCovered = false;
2280                 //if one of the middle bins can't be filled, don't
2281                 //fill any of
2282                 //them later on
2283                 if (Ny == 2)
2284                     isMiddleBinCovered = false;
2285             }
2286         }
2287     }
2288 }
```



```

2325 //final efficiency = sum of 6 hits and 5 hits efficiencies
2326 trackingEff = trackingEff6 + trackingEff5;
2327 if (trackingEff == 0)
2328     trackingEff = 1;
2329 //calculate flux with corrections, acceptance is included in
2330 //PolarHist
2331 Double_t flux = PolarHist->GetBinContent(Nx, Ny) / time /
2332     omega / AREA
2333             / trackingEff;
2334 //if (tracksHist->GetBinContent(Nx,Ny) > 0) cerr << Ny << "
2335 " << Nx << " " << trackingEff6 << endl;//<< flux << "
2336 << trackingEff << " " << PolarHist->GetBinContent(Nx, Ny)
2337 << " " << tracksHist->GetBinContent(Nx,Ny) << endl;
2338
2339 FluxHist->SetBinContent(Nx, Ny, flux);
2340 if (Ny == 2) {
2341     if (isMiddleBinCovered)
2342         FluxHist->SetBinContent(Nx, 1, flux);
2343     else {
2344         FluxHist->SetBinContent(Nx, 1, 0);
2345         FluxHist->SetBinContent(Nx, 2, 0);
2346         dFluxHist->SetBinContent(Nx, 1,
2347             10000000000000000000000000000000.);
2348         dFluxHist->SetBinContent(Nx, 2,
2349             10000000000000000000000000000000.);
2350         continue;
2351     }
2352 }
2353
2354 //error calculation
2355 //calculate tracking efficiency error
2356 for (Int_t j = 0; j < N_CHAMBER; j++) {
2357     dChamberEff[j] = efficiency[j]->GetEfficiencyErrorLow(
2358         currentBin);
2359     //tracking error equals error of current chamber times
2360     //tracking efficiency of the other chambers
2361     if (ChamberEff[j] != 0) {
2362         effErrorProduct[j] = (1 - ChamberEff[(j+1)%(N_CHAMBER-1)
2363             ]) *
2364             ChamberEff[(j+2)%(N_CHAMBER-1)] *
2365             ChamberEff[(j+3)%(N_CHAMBER-1)] *
2366             ChamberEff[(j+4)%(N_CHAMBER-1)] *
2367             ChamberEff[(j+5)%(N_CHAMBER-1)];
2368     }
2369 }
2370
2371 for (Int_t l = 0; l < N_CHAMBER; l++) {
2372     effErrorSum[l] = 0;
2373     for (Int_t j = 0; j < N_CHAMBER; j++) {
2374         if (j != l)
2375             effErrorSum[l] += effErrorProduct[j];
2376     }
2377     effErrorSum[l] *= dChamberEff[l];
2378 }
2379 dEffSquared = 0;
2380 for (Int_t j = 0; j < N_CHAMBER; j++) {

```



```

2423 //custom colormap
2424 Double_t red[9] = {0./255., 61./255., 89./255., 122./255.,
2425           143./255.,
2426           160./255., 185./255., 204./255., 231./255.};
2427 Double_t green[9] = {0./255., 0./255., 0./255.,
2428           14./255., 37./255.,
2429           72./255., 132./255., 235./255.};
2430 Double_t blue[9] = {0./255., 140./255., 224./255., 144./255.,
2431           4./255.,
2432           5./255., 6./255., 9./255., 13./255.};
2433 Double_t stops[9] = {0.0000, 0.1250, 0.2500, 0.3750, 0.5000,
2434           0.6250, 0.7500,
2435           0.8750, 1.0000};
2436 TColor::CreateGradientColorTable(9, stops, red, green, blue, 99)
2437 ;
2438 FluxHist->SetContour(99);
2439 dFluxHist->SetContour(99);
2440
2441 c1->Divide(2,1);
2442 c1->cd(1);
2443 c1->cd(1)->SetTheta(90);
2444 c1->cd(1)->SetPhi(-10);
2445 dFluxHist->Draw("SURF1 POL Z");
2446 //cutHist->Draw();
2447 //FluxHist->Draw("SURF1 POL Z");
2448 c1->cd(2);
2449 c1->cd(2)->SetTheta(90);
2450 c1->cd(2)->SetPhi(-10);
2451 //~ c1->SetTheta(90);
2452 //~ c1->SetPhi(-5);
2453 //~ FluxHist->SetLineWidth(0.7);
2454
2455 //sometimes it doesn't fill outer bins with color, this fixes
2456 //this problem
2457 c1->SetFillStyle(3305);
2458 c1->SetFillColor(kBlack);
2459 //gStyle->SetHatchesLineWidth(0.01);
2460 gStyle->SetHatchesSpacing(1000);
2461 gPad->Modified();
2462 gPad->Update();
2463
2464 FluxHist->Draw("SURF1 POL Z");
2465 //tracksHist->Draw("Surf1 Pol Z");
2466 //save .pdf
2467 c1->SaveAs(pdfout.c_str());
2468 //combine the analysis pdf with the polar plot one
2469 sprintf(Command,
2470         "pdfunite Results/Mts4Run%d.pdf Results/Mts4Run%d_polar.
2471             pdf temp.pdf",
2472         runToAnalyze, runToAnalyze);
2473 returnCode = system(Command);
2474 sprintf(Command, "mv temp.pdf Results/Mts4Run%d_complete.pdf",
2475         runToAnalyze);
2476 returnCode = system(Command);

```

```

2470 sprintf(Command, "rm Results/Mts4Run%d_polar.pdf", runToAnalyze);
2471 returnCode = system(Command);
2472 if (returnCode != 0) {
2473     cerr << "temporary file Results/Mts4Run" << runToAnalyze;
2474     cerr << "_polar.pdf couldn't be removed." << endl;
2475 }
2476
2477 //save histograms to TFile
2478 TFile* outfile = new TFile(rootout.c_str(), "UPDATE");
2479 if (outfile->IsZombie() == true) {
2480     cerr << "ERROR OPENING OUTPUT FILE" << endl;
2481     return;
2482 }
2483
2484 FluxHist->Write();
2485 dFluxHist->Write();
2486 outfile->Close();
2487
2488 //~ ofstream cut("cut.txt");
2489 //~ for (Int_t i = 1; i < 37; i++) {
2490 //~ cut << (-87.5 + ((i-1)*5)) << "\t" << cutHist->
2491 //~ GetBinContent(i) << "\t" << cutHistError->GetBinContent(i)
2492 //~ << endl;
2493 //~ }
2494 //~ cut.close();
2495
2496 //save parameters to .txt file
2497 ofstream txt(txtout.c_str());
2498 txt << "Run" << "\t" << runToAnalyze << endl;
2499 txt << "Time" << "\t" << time << endl;
2500 if (polarRotation == 0) txt << "First Rotation Axis\tx" << endl
2501 ;
2502 if (polarRotation == 1) txt << "First Rotation Axis\ty" << endl
2503 ;
2504 if (polarRotation == 2) txt << "First Rotation Axis\tz" << endl;
2505 txt << "First Rotation Angle\t" << polarAngleDegree << endl;
2506 if (azimuthalRotation == 0) txt << "Second Rotation Axis\tx" << endl;
2507 if (azimuthalRotation == 1) txt << "Second Rotation Axis\ty" << endl;
2508 if (azimuthalRotation == 2) txt << "Second Rotation Axis\tz" << endl;
2509 txt << "Second Rotation Angle\t" << azimuthalAngleDegree << endl
2510 ;
2511 txt << "nBinPhi\t\t" << nBinPhi << endl;
2512 txt << "nBinTheta\t\t" << nBinTheta << endl;
2513 txt << "phimin\t\t" << phiMin << "\tphimax\t\t" << phiMax <<
2514 endl;
2515 txt << "thetaMin\t\t" << thetaMin << "\tthetaMax\t\t" << thetaMax <<
2516 endl;
2517 txt.close();
2518 }
2519
2520
2521 }
```

### C. Quellcode

```
2514 void GUI()
2515 //int main(Int_t argc, char *argv [])
2516 {
2517     //TApplication theApp("App", &argc, argv);
2518     mtsMain = new MtsMain();
2519     //theApp.Run();
2520     //return 0;
2521 }
```

## Abbildungsverzeichnis

1.	Lageplan des Felsenkellers . . . . .	4
2.	Abschirmung des Myonenflusses [3] . . . . .	6
3.	Teilchenschauer [4] . . . . .	6
4.	Abhangigkeit des Exponenten vom Impuls der Myonen [7] . . . . .	7
5.	Energieverlust eines $\mu^+$ [9] . . . . .	8
6.	Durchgang eines geladenen Teilchens bei verschiedenen Geschwindigkeiten [13] . . . . .	10
7.	a) Simulation des elektrischen Feldes in einem Gasdetektor b) Schematischer Aufbau einer Gasdetektorkammer [14] . . . . .	11
8.	Tscherenkow-Detektor fur Myonen [15] . . . . .	11
9.	Aufgebautes Myonenteleskop mit Gasflasche . . . . .	12
10.	Wires und Pads eines Layers [17] . . . . .	13
11.	Abstand der Wires von den Kathoden [17] . . . . .	13
12.	Verstarkung (Gain) in Abhangigkeit des Abstandes (d) zur unteren Cathode bei verschiedenen Spannungen [17] . . . . .	14
13.	Beispiel aus Mts4Run17.ebe fur Datenformat . . . . .	15
14.	Funktionen der Analyse . . . . .	17
15.	Hits der einzelnen Channels der MT30 Chamber bei Run 39 . . . . .	18
16.	Abweichung der Punkte vom Linearfit des MT30 und MT39 Chambers bei Run 39 . . . . .	18
17.	Beispiele fur Rotationen des Myonenteleskop . . . . .	19
18.	Acceptanz des Myonenteleskop . . . . .	20
19.	Effizienz des Myonenteleskops bei Run 95 . . . . .	21
20.	Flux aus verschiedenen Messungen zusammengefasst; oben von links nach rechts 0°, 45° und 90° Messungen; unten zusammengefasst . . . . .	22
21.	GUI . . . . .	23
22.	Myonenteleskop im Felsenkeller . . . . .	25
23.	Lageplan mit Kennzeichnung der Locations im Felsenkeller . . . . .	25
24.	Beispiel fur aktuelle Channelhits unseres Teleskops . . . . .	26
25.	Fluss in Abhangigkeit von $\theta$ ohne Korrektur . . . . .	26
26.	Fluss in Abhangigkeit von $\theta$ mit Korrektur . . . . .	27
27.	Abweichung der Messwerte vom Mittelwert (Messsatz: VKTA mk2) . . . . .	27
28.	Histogramm zur Abweichung zum Mittelwert (Messsatz: VKTA mk2) . . . . .	28
29.	Diagramm zur Verdeutlichung der $\cos^2$ -Abhangigkeit . . . . .	28
30.	Mehrere Messkurven des Myonenflusses (in $m^{-2} s^{-1} sr^{-1}$ ), ohne Einfluss des Eingangs Fitfunktion: $a \cdot \cos^b \theta$ . . . . .	30
31.	Lage der Location mit eingezeichnete Richtung des Maximums aus Richtung Abbruchkante . . . . .	31
32.	einzelne Runs . . . . .	35
33.	einzelne Runs . . . . .	35
34.	einzelne Runs . . . . .	36
35.	Run 83 . . . . .	36
36.	einzelne Runs . . . . .	37
37.	einzelne Runs . . . . .	37
38.	einzelne Runs . . . . .	38

## Abbildungsverzeichnis

39.	Run 87 . . . . .	38
40.	einzelne Runs . . . . .	39
41.	einzelne Runs . . . . .	39
42.	einzelne Runs . . . . .	40
43.	Run 77 . . . . .	40
44.	einzelne Runs . . . . .	41
45.	einzelne Runs . . . . .	41
46.	einzelne Runs . . . . .	42
47.	Run 73 . . . . .	42
48.	einzelne Runs . . . . .	43
49.	einzelne Runs . . . . .	43
50.	einzelne Runs . . . . .	44
51.	Run 94 . . . . .	44
52.	einzelne Runs . . . . .	45
53.	einzelne Runs . . . . .	45
54.	einzelne Runs . . . . .	46
55.	Run 101 . . . . .	46
56.	einzelne Runs . . . . .	47
57.	einzelne Runs . . . . .	47
58.	einzelne Runs . . . . .	48
59.	Run 108 . . . . .	48
60.	einzelne Runs . . . . .	49
61.	einzelne Runs . . . . .	49
62.	einzelne Runs . . . . .	50
63.	Run 115 . . . . .	50
64.	einzelne Runs . . . . .	51
65.	einzelne Runs . . . . .	51
66.	einzelne Runs . . . . .	52
67.	Run 59 . . . . .	52
68.	einzelne Runs . . . . .	53
69.	einzelne Runs . . . . .	53
70.	einzelne Runs . . . . .	54
71.	Run 122 . . . . .	54
72.	Fluss . . . . .	55
73.	relativer Fehler . . . . .	55
74.	Fluss . . . . .	56
75.	relativer Fehler . . . . .	56
76.	Fluss . . . . .	57
77.	relativer Fehler . . . . .	57
78.	Fluss . . . . .	58
79.	relativer Fehler . . . . .	58
80.	Fluss . . . . .	59
81.	relativer Fehler . . . . .	59
82.	Fluss . . . . .	60
83.	relativer Fehler . . . . .	60
84.	Fluss . . . . .	61
85.	relativer Fehler . . . . .	61
86.	Fluss . . . . .	62

## Tabellenverzeichnis

87.	relativer Fehler . . . . .	62
88.	Fluss . . . . .	63
89.	relativer Fehler . . . . .	63
90.	Fluss . . . . .	64
91.	relativer Fehler . . . . .	64

## Tabellenverzeichnis

1.	Übersicht wichtiger Befehle für das Teleskop . . . . .	16
2.	Integrierter Myonenfluss an verschiedenen Locations . . . . .	29
3.	Übersicht über die Runs im Felsenkeller . . . . .	33
4.	Übersicht über die Runs im VKTA . . . . .	34
5.	Übersicht über die oberirdischen Runs . . . . .	34

## Literatur

- [1] <https://iktp.tu-dresden.de> [Stand: 09.09.2016]
- [2] BÜCHNER, Adam: *Untersuchung der Richtungsabhängigkeit des Myonenflusses im Nierniveaumesslabor Felsenkeller*. 2015
- [3] GERGELY GÀBOR BARNAFÖLFI, Hunor Gergely Melegh Làszlò Olàh Gergely Surànyi Dezsö V. Gergö Hamar H. Gergö Hamar: *Cosmic Background Measurements at a Proposed Underground Laboratory by the REGARD Muontomograph*. 2012. – paper of muon-tomograph
- [4] <https://www.hephy.at> [Stand: 24.04.2016]
- [5] BRANDT, Matthias: *Aufbau und Test eines Wasser-Cherenkov-Detektors zur Demonstration kosmischer Strahlung*. 2010
- [6] SPERLING, Artur: *Aufbau und Test eines Plastiksintillatordetektors zur Demonstration kosmischer Strahlung*. 2010
- [7] ALLKOFER: *Cosmic Rays on Earth*. Fachinformationszentrum Karlsruhe, 1984
- [8] THIEL, Christopher: *Wechselwirkung von Strahlung mit Materie*. 2010
- [9] <http://physik.uibk.ac.at> [Stand: 20.06.2016]
- [10] <http://www.spektrum.de> [Stand: 17.09.2016]
- [11] <https://de.wikipedia.org> [Stand: 02.06.2016]
- [12] <https://web-docs.gsi.de> [Stand: 15.05.2016]
- [13] <http://images.slideplayer.org> [Stand: 07.07.2016]
- [14] LÁSZLÓ OLÁH, Gergy Hamar Hunor Gergely Melegh Gergely Surányi Dezsö V. Gergely Gábor Barnaföldi B. Gergely Gábor Barnaföldi: *Cosmic Muon Detection for Geophysical Applications*. In: *Hindawi Publishing Corporation* (2013)

## Literatur

- [15] <http://physik-begreifen-zeuthen.desy.de> [Stand: 17.09.2016]
- [16] GROUP, REGARD: *User's Manual for the Regard MuonTomograph MTS4*. 2015. – official User's Manual for the Teleskope
- [17] D. VARGA, G. K. G. Hamar H. G. Hamar: Asymmetric Multi-Wire Proportional Chamber with reduced requirements to mechanical precision. In: *ELSEVIER* (2011)
- [18] GERGELY GÀBOR BARNAFÖLFI, Hunor Gergely Melegh Làszlò Olàh Gergely Surànyi Dezsö V. Gergö Hamar H. Gergö Hamar: Portable cosmic muon telescope for environmental applications. In: *ELSEVIER* (2012)

## **Selbstständigkeitserklärung**

Der Verfasser erklärt, dass er die vorliegende Arbeit selbstständig, ohne fremde Hilfe und ohne Benutzung anderer als der angegebenen Hilfsmittel angefertigt hat. Die aus fremden Quellen (einschließlich elektronischer Quellen) direkt oder indirekt übernommenen Gedanken sind ausnahmslos als solche kenntlich gemacht. Die Arbeit ist in gleicher oder ähnlicher Form oder auszugsweise im Rahmen einer anderen Prüfung noch nicht vorgelegt worden.

---

Dresden, 12. Dezember 2016